

БИОЛОГИЧЕСКИЙ ЖУРНАЛ АРМЕНИИ

Издается с 1916 года Айастани кенсабанаман андек

հանրագրական կոլեզիա՝ Ծ. Մ. Ամագլան, Վ. Ե. Այլան, Հ. Գ. Բատիկյան, Ա. Շ. Գայատ ան (գլիւ, ը գրի տեղակալ) մ. Ի Հակորյան, Վ. Հ. Ղադարյան, Կ. Ս. Մարշանյան (պատ. բարտուդար), Ս. Գ. Մովսիսյան, Ս. Հ. Մովսիսյան։

հանրագրական խոսքնութը՝ Ն, Ն. — Մավակն, Վ. Շ. — արացրան, Հ. Ս. Ավետյան, Գ. — թան — բույս հարտագույ, Գ. և. Բարայան, Ա. և. Բականց, Գ. Ա. — հարտական, Ա. և. Կարայան, Ա. և. Կարապետ, Ա. և. Կարայան, Ա. և. Կարապետ, բան, և և հարարաբան, Ա. և. Կարայան, Ա. և. Հավանկիրան, Լ. Ս. Վասրաբան, Ա. և. Աարևապան, Ա. և. Չասախյան, Ա. Հ. Պուղասյան, Ա. և. Տեր-Արտաստան

WERUSTAPPSHI ZURADA

Dploob = 19. Parphpadnift and, 119. \$4. 55.01.97

Редавционная коллегия: П. М. Авакян, В. Е. Аветися , Ж. И. Аколян, Э. К. Африкяя (гланиын резактор), О. Г. Баклаваджян, Г. Г. Батикян, А. Ш. Галстян (зам. главного релактора), В. О. Казарян, К. С. Марджанян (ответ секретарь), С. Г. Мовессии, С. С. Мовессии.

Редакционный совет: А. С. Аветян, В. Ш. Агабабян, Н. Н. Акрамовский, Э. А. Асратян, Э. К. Афрякии (пред. совета), Д. Н. Бабаян, С. А. Бакуни, Г. С. Давтян, Л. С. Гамбарян, С. К. Карапетян, А. А. Матевосии, М. Г. Оганесин, Л. Л. Осилян, С. А. Погосян, А. Л. Гахгаджян, М. Е. Тер-Мин. сян, П. А. Хуршудям, М. Х. Чайлахян.

Надательство АН Армянской ССР, 1978 г.

XXXI, 7, 1978

УДК 577:462 + 612:744.23

БИОЛОГИЧЕСКОЕ ДЕЛСТВИЕ ГРАВИТАЦИОННОГО ПОЛЯ

C. C. OTAHECRIE

Рассмотрено илияние длительного и хратковременного воздействия гравитационцого поля и перегрузок на биологические объекты. Анализируются современные даиные о возможном действии гравитационных сил на эволюцию животного мира, формообразовательные процессы, а также внутрижлеточные явления. На основе даиных, полученных и условиях воздействия на животных пенесомости и хронических гравитационных перегрузок и течение лиух—трех недель, обсуждаются механизмы вдаитации мышечной системы и роль генетического анпарата клетох и регуляции белкивото состава жышечных волокои.

Среди абиогенных факторов биогеоценоза важную роль играет гравитационное поле земли. Будучи неотъемлемой составной частью среды обитания, гравитация осуществляет свое действие двояким образом, ибо является векторной силой. Следовательно, изменения се величины отражаются как на размере животных, так и на симметричности строения тела. Действие гравитационных сил исследуется в двух аспектах. Многочисленные работы посвящены физиологическому действию постоянной и кратковременной гравитационных перегрузок или невесомости [1—6]. Не меньше виимания приплекает изучение значения гравитации в формировании видов в эволюционном развитии животного мира [7—9]. Проблема возможного влияния гравитационных сил на микроуровие остается нерешенной.

Некоторые авторы полагают, что окружающие нас объекты условно можно разделить на два мира: «Ньютоновский мир» крупных тел. поведение которых определяется гравитационными силами, и «мир микросистем Джинса», где взаимоотношения объектов зависят в осповном от молекулярных сил и колебаний температуры. Такое разделение предложил Вент [10] на основе оценки подверженности макрои микрообъектов влиянию сил различной природы. Весьма привлекательно представление Вернадского [11], что жизнь проявляется в двух физически различных пространствах: в поле тяготения живем мы, а в поле молекулярных сил-мельчайшие организмы. Слабость гравитационных сил по сравнению с силами взаимодействия молекул, такими как электростатическое, ваи-дер-ваальсовое взаимодействие, позволяют исключить прямое воздействие гравитации на поведение и развитие микрообъектов и течение процессов жизнедеятельности на молекулярном уровне, однако вопрос об их влиянии на клеточном уровне еще не решен.

Современные представления о роли тяготения как фактора, определяющего размеры и форму тела животных, в свою очередь влияющих на интенсивность энергообмена и развитие отдельных органов-систем, основаны на теории геометрического подобия [5, 12, 13]. Еще Галилей [14] в своих трудах по механике установил зависимость между размером тела и ускорением его свободного падения.

$$X = ag^{-3}, \tag{1}$$

где а и β являются постоянными, а X—размером тела. Это уравнение легло в основу описания механического подобия, используемого также для живых и растительных объектон;

$$Y = ax^b, (2)$$

где а и b являются постоянными, у и х - морфо-физиологическими параметрами, определяемыми особенностями биологического объекта. Из уравнения (2) следует, что изменение масштаба животного приводит к изменению его линейных размеров не пропорционально увеличению масштаба, а по степенной зависимости от их численного значения. Интересно отметить, что зависимость интенсивности энергообмена от веса тела животного описывается подобным типом выражения:

$$Q = aW^{h}, (3)$$

где Q — мощность дыхания, W — вес тела, а и b - постоянные.

Высказыпание Галилея о невозможности бесконечного увеличения масштаба животных организмов в постоянном поле тяготения основыналось на вероятности разрушения тела под нагрузкой растущего веса Таким образом, чтобы сохранился данный вид при изменениях линейных размеров гела животного должна изменяться также физическая природа биологических тканей. Так, увеличение линейных размеров тела животного приводит к росту нагрузки пропорционально кубу увеличения размеров, в то же время прочность структур скелета (плоонально оприменения производительной выпуской опроизводительной оприменения оп квадрату линейных размеров [15] Развивая эти представления. Фейман [16] указынает, что масштаб тела животных не только ограничивается гравитацией сверху, но и синзу атомарио-молекулярной природой тканей. Такой вывод весьма существен, нбо мы являемся свидетелями нахождения в космическом пространстве и на метеоритах аминокислот, предшественников аденинов и других органических соединений, состоящих из легких элементов с простыми электронными орбитами. Не значит ли это, что существование на других планетах живых объектов, сильно отличающихся по размерам и физической природе от земных существ, малопероятно?

Уменьшение размеров тела животных чревато упрощением оргавизма, исчезновением некоторых органов, особенно тех, которые связаны с биомеханической функцией и обеспечением деятельности мыши, составляющих большую часть массы тела. Повышенная гравитация на больших планетах в таком случае должиз привести к изменению качества опорных и механохимических систем, участвующих в локомоции. С другой стороны, длительное пребывание в невесомости или на планетах с меньшей величиной поля тяготения может привести к противоположным результатам.

Рассмотрение проблемы геометрического подобия именно в этом аспекте привело к использованию понятия «критический размер» в биологии. Одним из первых приложений этого понятия к биологическим явлениям является работа Рашевского [17]. где предложена гипотеза, объясняющая деление клетки как результат достижения сю своего критического размера, когда нарушается оптимальное соотношение поверхности клетки и ее объема. Ввиду постоянства скорости диффузии веществ через мембрану уменьшение величины соотношения ее и объема клетки приводит к уменьшению потока энергии, что в свою очередь создает «голод» в области ядра и стимулирует деление клетки, заканчивающееся восстановлением нормального значения величины соотношения поверхность/объем.

В таких случаях используется размерный коэффициент пропорциональности, для учета значения изменений массы и илощади поверхности объекта. Физический смысл этого коэффициента, определяемого графически по І, кр., заключается в том, что у крупномасштабных объектов факторы, связанные с объемом, численно превосходят таковые, связанные с поверхностью при достижении объектов своего предельного размера. Иначе говоря, для тел, близких по масштабу к клеткам животных и растений, варнации объема имеют менее определяющее значение, чем поверхности. Именно с этой позиции использован метод геометрического подобия для оценки ряда явлений в животном и растительном мире. Так, Гюнтер [19-21], основываясь на л-теореме [18] и применив теорию геометрического подобия в биологии, нашел ряд зависимостей, сходных с аллометрическими представлениями Гексли [22]. В этих исследованиях оказалось полезным введение дополнительного числа основных единиц для характеристики поведения инертиой гравитационной массы, где совершаются химические процессы. Согласно Дюльдину [18], в поле тяготения ширина, высота и длина живых объектов приобретают различный физический смысл, что позволяет яместо скалирной ввести различные размерности. Тогда в гравитационном поле, в противоположность невесомости, все эти направления не будуу эквивалентны, и изменение масштаба организма будет сопрокождаться изменением его качества, т. с. нарушится физическое подобие при изменениях геометрического подобия тел. Смит [23], основываясь на законе Коупа, считает, что увеличение масштаба некоторых видов животных в процессе эволюции сделало невозможной их адацгацию к земным условням, в то же время консервативность их физической пряроды привела к вымиранию этих видов, лишь некоторые из них, вернувшись в водную среду, как, например голубые киты, могли продолжить свое существование.

В одном из последних обзоров [15] рассмотрены важнейшие вопросы гравитационной биологии, такие как образование специфических рецепторных органов у растений и животных, чувствительных к изменению величины гранитационного поля. Экспериментальный материал, полученный с помощью биоспутников земли [6], указывает на большую зависимость ряда биологических явлений (направление ростурастений, частота мутационных изменений хромосом, рост и деление клеток) от кратковременного влияния невесомости, хотя еще невозможно исключить действие других факторов космического полета.

В настоящей работе важно рассмотреть вопрос об опосредованном влиянии гравитационных сил на активность генетического аппарата и генный контроль над синтезом белков. Тут необходима оценка значення пепосредственного воздействия изменений в величине поля тяготения на состояние наследственного аппарата клеток. Предложены некоторые представления, рассматривающие действие гравитационных сил на субклеточном уровне, Поллард [24] и Кондо [25] теоретически рассмотрели возможность воздействия гравитации на статистическое распределение и теплоное движение внутриклеточных частиц. Енсаняном [26] проведены искоторые эксперименты для оценки действия невесомости на течение электрохимических процессов и показано большое значение фактора тепловой конвекции. Распределение дрий и других внутриклеточных частии, согласно Полларду 1241, может изменяться при умеренных колебаниях гравитационного поля, хотя в условиях невесомости внутриклегочное распределение частиц остается постоянным. Однако нельзя считать этот вопрос решенным даже в первом приближении, требуются специальные эксперименты и земных и космических условиях. При предварительном рассмотрении можно получить некоторую информацию, сравнивая величину гравитационных сил с электростатическими силами взаимодействия молекул. Учитывая, что величика гравитационных сил в этих масштабах явлений составляет около 10-ж часть электростатического взаимодействия, обычно отринают какое-либо ощутимое воздействие их на молекулярном уровне. Например, для частиц размером меньше 0,05 мк диффузнонные силы и тепловое движение превосходят по эначимости действне поля гяготення, равного 250,000 С. Влияние же механических сил и гранитационном ноле, равном земному, на статистическое распределение макромолекул в интоплазме оказалось значительно меньше, чем на клеточные органеллы, размер которых достигает нескольких микрон [24]. Естественно, нужно учитывать возможность направленного движения частиц и клетке в связи с наличием цитоплазматических сокращающихся трубочек и других структурированных систем, осуществляющих векторно-тензорное движение внутриклеточных органеля и частии. Однако в указанных работах не учтены эти моменты. Гаким образом, здесь цитоплазматическая сеть и структурированность цитоплазматического матрикса противодействуют случайному распределению п влиянию гравитации. Частичная оценка значения двух типов сил привела к выводу уравнения статистического распределения частиц внутри клетки в поле тяготения:

$$n/n_0 = e^{-\theta (e-1)} gh/kt,$$
 (4)

где п — число частиц в объеме, п — расстояние перемещения частиц в поле притяжения, n_0 — число частиц в единице объема при исходном уровие, ϑ — объем частицы, $(\rho-1)$ — разность илотности частицы и среды. Расчеты показали, что n/n_0 для митохондрий составляет 9×10^{-1} а для ядрышка — 7×10^{-6} . Отсюда следует, что для организмов днаметром более 1 мм гравитационное воздействие может иметь большое значение.

Еще в начале нашего века было предложено [28] разделить все организмы на две группы по влиянию на них поля притяжения. Вноследствии было показано, что изолированные клетки в культуре ткапи не реагируют на ускорения вплоть до 200 G [29]. Результаты наблюдений на кораблях типа «Союз» окончательно не отнетили на вопрос о прямом влиянии невесомости на частоту мутаний и аберраций хроматидного и хромосомного типа [6]. Они скорее подтвердили возможность действия комплекса факторов космического полета, среди которых нужно отметить высокозпергетические частицы—адроны, способные вызывать ланину вторичного излучения при сильных взаимодействиях с биологическими объектами [30]. Однако в этих исследованиях указывается, это невесомость способствует повышению частоты повреждений, вызванных облучением. Все же эти данные пока недостаточны для окончательной оценки роли поля тяготения в радиочувствительности клеток и тканей [31].

Особое значение имеет гравитационное поле в деятельности скелетных мышц и сердечно-сосудистой системы. Эксперименты в наземных условиях е использованием центрифуг до допустимых величин ускорений и наблюдения у космонавтов выявили изменения в мышечных волокнах; атрофию скелетных мышц, изменения в их ультраструктуре, усиление выброса солей Са. детренированность, которые предупреждаются специальным тренировочным режимом [6].

У животных, в течение 22-х дней пребывавших в состоянии невесомости на борту коробля «Космос-605», нами выявлено значительное возрастание активности мнофибриллярных катепсинов в разных группах скелетных мышц [32]. В табл. І приведены данные о протеолитической активности мнофибрилл белых крыс, находящихся в условиях невесомости, а также в идентичных условиях на земле, где исключалось влияние фактора невесомости. Было установлено, что по сравнению с контрольной группой животных, находящихся в вивариальных условиях на обычном режиме содержания, в опытной группе значительно повышается активность катепсинов, однако через месяц после приземления происходит восстановление их исходной активности. При этом в полетной группе животных активирование катепсинов значительно больше выражено, что указывает на особую роль фактора невесомости в развитии атрофических процессов.

Изменение кателеической активности миофибрилл при невесомости и ограничении движений белых крыс в период реадаптации, мки тирозина/ми белка.

60 мин. 37°, среднее 10-ти определений

		(полетны	омость ий экспе- пент)	Ограничение деджений (синхронный эксіјери- мент)		
мишим	Группы животных	через 2 дин после выхода на ощита	через 26 дней после выхода из опыта	через 2 лия после выхо- да на опыта	через 26 днен после выхо- да на опыти	
Трехглавая ыышпл	Опытцая Контрольная	24.6+1.1 9.0+1.6	16,1 ±0,4 10,2 ±0,5		5.8+0.36 2,3+0.1	
Длинный и общий раз- гибатели пальцей пе- редней конечности	Опытная Контрольная	35,5+1,7 13,3+0.6	21,9-0,3 14,4 4 -3,3		7.8+0.78 3.2+0.54	
Задняя группа мыши бедря	Опытияя Конгрольная			17.4±0.9 8,1±2,9	8.0±0.45 5.4±2.6	
Четырехглавая мышца	Опытная Контрольная	-	=	19.8+2.9 7,5+0,36	8,8+1,7 4.4+0.6	
Полуперепончатая ыыш- ца	Опытная Контрольная	=		17,3-1-0,84 8,8-1,2	7,57±0,38 1,8 ±0,1	

Таблица 2 Действие длительной гравитационной перегрузки на протеолитическую активность очищенных миофибрилл белых крыс, мист прозина, мс белка, 60 мнн. 37° средние длиные 10-ти опытов с квадратическими отклонениями

Группы животных	Миокарл	Бедренные мышцы
Контрольная группа	23,3+1,7	14,4+1,6
Гравитационная перегрузка 4 G, и течение 12-ти лией, по 20 мни ежедневно	37,1÷2,6	25,1+2,7
Гразитационная перегрузка 5 G, в гечение 14-лі дней, по 43 мин ежедневно	37,0±1.8	26.8-⊢2.0
Через месян после прекращения возлействий гравита- ционной перегрузкой	22.3±1.8	15,2±1,1

Из табл. 2 пидно, что не только невесомость, но и гравитационная перегрузка, вызванная двухпедельным вращением белых крыс на центрифуге с ротором, имсющим раднус 1,6 м, приводит к четкому повышению протеолитической активности мышечных элементов. Это и ясно, так как распад и синтез белков взаимно связаны, и, по-видимому, в мышечных волокнах они регулируются не частотой сокращения, а нагрузкой, приложенной на данную мышечную группу гравитационным полем. Характерно, что в разных типах мышц (белые и красные скелетные, сердечная мышца) интенсивность обновления белков неодинакова и зависит, как уже хорошо известно, от их антигравитационной функции. Прекращение ежедневных центрифугаций животных при ус-

корениях 4—5G в течение 20—40 мин приводит к постепенному восстановлению исходной катененческой активности во всех типах исследованных мышц (табл. 2). Интересно отметить, что уже при ускорении, равном 4 G, происходит полная активация катепсинов мышечных миофибрилл, дальпейшее новышение величины ускорения не вызывает дополнительного увеличения их активности. Таким образом, величина гравитационного поля является важным фактором, регулирующим ферментативный авпарат обновления мышечных белков через изменение напряжения мышечных волокон.

Не лишено основания предположение, что сиятие нагрузки на мышечные волокиа или их перегрузка при повышении величины гравитационного поля могут вызвать изменения в содержании белков, секвестрирующих новы Са, вымывающиеся из организма и при длительном постельном режиме, т. е. при гипокинезни [6]. Недавно обнаружены различного типа белки в мышечных мембранах, способные связывать и высвобождать Ca²⁺ [33]. В процессе возбуждения высвобождается из этих источников Ca 2- и его концентрация в цитозоле растет от 10-8 M до 10-1 M, т. е. почти в тысячу раз. Высвобожденный Са²⁺ запускает механохимический процесс и от его количества зависит величина развиваемого мышцей напряжения. Следовательно, здесь должна быть найдена прямая корреляция между мощностью. Са-транспортирующего аппарата мышечных мембран и антигравитационной функцией мышц. Поэтому один из возможных путей потери. Са² в мышпах — это уменьшение содержання Са-связывающих белков при уменьшенин нагрузки, падающей на мышцу. К лким белкам относится мнофибриллярный белок тропонии, открытый Эбаши в 1964 г. [34], состоящий из трех субъединиц, одна из которых специфически сиязывает поны Са. По аминокислотному составу и физико-химическим своиствам она сходна с Са-связывающими белками мышечных мембран-парвальбуминами [35].

Нами у белых крыс, приземлившихся после 22-дневного полета на корабле «Космос-605», обнаружено снижение содержания субъединным тропонина, связывающей ноны Са в скелетных мышпах. При гравитационных персгрузках, создаваемых центрифусированием в течение 2-х недель ежедневно по 20 и 40 мин при 4—5G, наблюдается возрастание содержания Са-связывающей субъединицы тропонина (табл. 3). Здесь необходимо уномянуть, что на ранних стадиях эволюции за синтез тропониноподобного белка был ответствен один ген, который амплифицировался, и образовались независимые гены для разных тинов Са-связывающих белков мембран и мнофибрилл [35]. Отсюла легко предположить, что изменения нагрузки, падающей на мышцу, могут избирательно ресулировать активность генетических участков, ответственных за контроль над синтезом отдельных. Са-связывающих белков.

Представление о генетической обусловлениости регуляции относительного количества отдельных специализированных мышечных белСубъединичный состав очищенного тропонина задней группы бедрешных мышц белых крые в условиях гравитационных перегрузок и в период рездаптации (разделение субъединии методом электрофореза на 10% ПААГ в присутствии 0.1% додецилсульфата натрия)

	Отпосительное содержание субъединиц гропонина, ото					
Группы животных	Тропонин—Т (белок, связы- вающий гропо- мнозин)	Тропоння— І (интибитор АТФазы)	Тропонии—С (белок, связы- вающий иони Са)			
Контрольная группа	20,2±8,9 n = 5	42,9 ±8.0 n = 5	36,8±10,5			
Гравитационная перегрузка 4 G по 20 мнн, и течение 12-ти дней	21,9±6.9	32,6±8,5 n 8	45,5±4,9 n 8			
Гравитанионная перегрузка 5 G по 40 мин, в гечение 11-ти дней	24,0±5,6 n=5	27.0 ± 4.2 $n = 5$	48,8±5,6 n=5			
Группа реадаптации. Через месяц после прекращения гравитационной перегрузки	18.0±3.2	47.2 <u>→-</u> 2,5 n 5	35,0±2,5 n 5			

ков и их изопротеннового состава в зависимости от биомеханического профиля работы мынц было выдвинуто нами в 1973 г. [36—38], ято в дальнейшем нашло подтверждение в ряде работ других авторов [39—41].

Таблица 4 Изменение активности Mg² *-АТФлы мнозина В мнокарда и скелетных мышц белых крыс под влиянием гравитационной перегрузки и в первод реадаптации (активность выражена в мкг Фи, мип = 1, мг = 1 белка, 25°, р11 7.4, средние данные с кнадратическими откловениями)

Группы животных	Миокард	Бедрениыс	Камбаловидная мышца
Контрольная группа	4.48±1,25	5,43±0,41	3.15 0,88 n=8
Подопытная группа. Гравитационная перегрупка 4 С. 12 цией, 20 мин	8,22+1,28 n-6	18,2+0,88	9,64±1.28 n 6
Достоверность разницы с контрольной группой	ր<0,0ặ	p < 0,001	p<0,01
Подонытная II группа. Гравитационная перегрузка 5 G, 14 диси, 40 мли	16.85±0.06 n=7	28, 2±0,36	17.4±0.12 n=6
Достопериость разницы с контрольной группой	p<0,001	p<0,00l	p < 0.001
Реадантационная группа Через месян после прекращения перегрузки 4 G. 30 дней, 20 мин	7,61÷0.10	23,5±0,49	10,65±0,18 n=7
Достоверность разшицы с контрольной группой	p<:0,05	p<0.001	p<0,001

В нашей лаборатории показано, что гравитационная перегрузка в течение 2-х недель вызывает сдвиги в количественном соотношении гласльных мнофибриллярных белков и изоферментов АТФазы мнозина в скелетных и сердечной мышцах. Из табл. 4 видно, что повышение АТФазной активности актомиозинового комплекса зависит от длительности и витенсивности гравитационной перегрузки. Одновременно наблюдаются изменения физико-химических свойств АТФазы, которые сопровождаются нарушениями в белковом составе актомиозинового комплекса. Уменьшается содержание именно субъединицы тропонина-1, ингибитора АТФазы актомиозина. Это обнаруживается и при электрофоретическом разделении тропонина на полнакриламидном геле (табл. 3). С другой стороны, значительно снижается степень активации АТФазы актомиозина катехоламинами, которые повышают АТФазную активность также в отсутствие нонов Са (рис.). Полученные данные

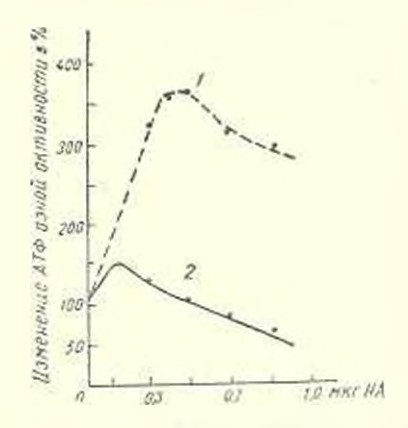


Рис. Действие порадреналика на Mg $^{2+}$ -ATФазаую активность пативно го актомиозина скелетных мышц в отсутствие нопов Са. Инкубационная смесь состоит из. 1 мг белка, 10^{-6} М ЭГТА (этиленеликоль бис-(аминоэтил-тетраацетат). $2\times10_{-3}$ М Mg- $^{+}$ -ATФ, 0.02 М трис-НС1 буфера, рП 7,4, 0.15 М КС1. 1—коитрольная группа животных, 2—группа животных, подвергнутая гравитационной перегрузке в течение 12-ти лисй.

подтверждают вывод о том, что изменения в белковом составе актомиозинового комплекса обусловливают сдвиги в его ферментативной активности. Иначе говоря, это связано с регулированием генетических участков, ответственных за синтез различных субъединиц мнофибриллярных белков в условиях гравитационных перегрузок или невесомости.

Так как мышечная система составляет большую часть массы тела животных, многочисленные биохимические реакция в других органах направлены на эпергетическое обеспечение их двигательной функции. Следовательно, изменение величины гравитационного поля в длительный период существования Земли в случае уменьшения массы мышц в процессе эволюции животных может ограничить потребность в энергосинтетических реакциях и функционировании ряда внутренних органов. Одним из примеров такого эффекта служит появление кроветворной функции скелета у позвоночных в силу изменения массы их тела в

процессе эволюции, т. с. в конечном итоге благодаря гравитационному полю земли [42, 43].

Гравитационное поле на Земле—постоянно действующий фактор среды и потому длительные драматические изменения его величины могут вызывать глубокие сдвиги в физико химических параметрах, обмене вещести и в молекулярной структуре тканей животного организма в результате нарушения принципов, основанных на необходимости сохранения геометрического подобия. Решение вопросов практического характера требует дальнейшего детального исследования действия длительных космических полетов, и частности фактора ненесомости и гравитационных перегрузок, на животный и растительный мир. И пока трудно предвидеть, к каким новым приспособительным изменениям приведет длительное изменение величины гравитационного поля и какие органы или функции живых организмов разовьются или атрофируются в этих условиях.

Институт кардислогии МЗ АрмССР, лаборатория молекулярной кардиологии

Поступило 19.IV 1978 г.

ՉԳՈՂԱԿԱՆ ԳԱՇՏԻ ԿԵՆՍԱՔԱՆԱԿԱՆ ԱԶԳԵՑՈՒԹՅՈՒՆԸ

ս. ս. ՀոգՀաներսձան

Աշխատանգը նվիրված է ձգողական ուժի և գերծանրարևոնվածության կենսարանական ազդեցությանը։ Քննվում են ժամանակակից պատկերացուժները և փորձնական տվյալները՝ ձգողական դաշտի դերի վերաբերյալ կենդանական աշխարհի էվոլյուցիայի ընթացքում ձևակաղմավորման, հատուկ ձդողական ուժերի զգայարանների առաջացման և ննրրջջային պրոցնաների կաղմակերովան գործում։ Հենվելով ստացված փորձնական տվյալների վրա, անկչոելիության («Կոսմոս—605») և գերծանրարհումման պայմաննակուն անամաններում առաջ է բաշվում մի նոր տեսակետ ձգողական դաշտի մեծության փոփոխ-ման նշանակության վերաբերյալ՝ մկանային համակարգի և մկանային բջիջ-ների ժառանդական ապարատի դործունեության կարգուվորման մեջ։

THE BIOLOGICAL EFFECT OF GRAVITATIONAL FIELD S. S. OGANESSIAN

Literature data on the effect of gravitation overloading and the role of gravitation in infero- and macroorganisms have been summarized. The importance of "critic size" in the observed effects of gravitation, as well as the effect of centrifugation and weightlessness on the molecular characteristics of the muscle and myocard in experimental conditions have been discussed.

ЛИТЕРАТУРА

- Васильев П. В., Котовская А. Р. Сб. Проблемы космической биологик 6, 93, М., 1967.
- 2. Газенко О. Г., Гюрджин А. А. Сб. Проблемы космической биологии. 6, 22, М., 1967.
- 3. Еремин А. В., Кисян И. И., Колосов И. А. 1438. АН СССР, сер. биол. 3, 37, 1967.
- 1 Котовская А. Р., Ешаков Н. Х. и др. Изв. АН СССР, сер. биол. 2, 337, 1966
- Основы космической биологии и медицины. Советско-Американское изд. под рет. О. Г. Газенко и М. Кольвина, 2, 1. М., 1975.
- 6. Проблемы космической биологии. 33, М., 1976.
- 7. Северцев А. Н. Главные направления эколюционного процесса. М., 1934
- 8. Циолковский К. Э. Путь к эвездам, М., 1961.
- 9. Шмальгаузен И. И. Происхождение наземных позноночных. М., 1964.
- 10. Went F. W. The Size of Man. Americ. Scient., 56, 400, 1968.
- 11. Вернадский В. И Биологические очерки. М., 1940,
- 12. Польмбах Л. Р. Проблемы космической биологии 33, 74, М., 1976.
- 13. Раздорский В. Ф. Архитектоника растений М., 1955.
- 14. Галилей Г. Избр. тр. 2, М., 1964.
- Смитт А. Основы космической биологии и мелициим. Под ред. О. Г. Газенко и М. Кальвина, М., 1975.
- 16. Фейижан Р. Характер физических законов. М., 1968.
- 17. Rascheusky N. Mathematical Biophysics, N. Y., 1960.
- 18. Дюльдин Л. А. Проблемы косынческой биологии. 33, 7, М., 1976.
- 19. Gunther B., Guerra E. Acta Physiol. Latino-Amer., 5, 169, 1955.
- 20. Ganther B. Pilug. Arch. Ges., Physiol., 331, 283, 1972.
- 21. Ganther B., Martinova C. J. Theoret. Biol., 20, 107, 1968.
- 22. Huxley J. On Problem of relative Grouth., Lond., 1932.
- 23. Smith A., Pace N. Environment. Physiol., 1, 122, 1972.
- 24. Pollard E. Theoret. Biol., 8, 113, 1965.
- 25. Kondo S. Japan. J. Genet., 43, 467. 1968.
- 26, Ensanian M. Proc. Aerospec. Med. Assoc., 1, 95, 1967.
- 27. Pickets F. In Biophysical Research Methods. Ed. Über F., N. 7. 1950.
- 28. Thompson D. A. On Growth and Form. Cambridge, 1917.
- 29. Haldone J. P. Possible Worlds and other papers. N. Y., 1928.
- 30 Акоев И. Г., Юров С. С. Нав. АН СССР, сер. опол., 1, 11, 1975
- 31. Акоев Н. Г., Юроз С. С. Природа, 12, 40, 1977.
- 32. Газенко О. Г., Оданесян С. С., Элонн М. 4. Космическая биология и явнакосмическая медицина, 1978. (в печати)
- 33. Melssner G., Fleischer I. Calcium Binding Proteins. Warsaw, 281, 1974.
- 34. Ebashi S., Ebashi F. J. Biochem. (Tokyo), 55, 604, 1964.
- 35. Pechere J., Capony L., Riden L., Europ J. Biochem., 23, 421, 1971.
- 36. Оганесян С. С., Заминян Т. С., Кошкарян А. О. и др. J. Molecul. and Celullar Cardiol., 5, 1, 1973.
- Оганесян С. С. Биофизические основы и регуляция процесса мышечного сокращеиня, 3. Пущино-на Охе. 1972.
- Осанести С. С., Заминян Т. С. и др. Метаболизм мнокарда. Мат-лы 2-го Советско-Америк. симп., 189, М., 1977.
- 39. Conway G., Hazalitt R. J. Molec. Cell. Cardiol., 7, 219, 1975.
- 40. Katagirt 1., Morkin E. Acia Biochem. Biophys., 342, 262, 1974.
- 41. Swinghedow B., Schwartz K. Leger J., Basic Res. Cardiol., 72, 254, 1977.
- 42. Коржува П. А. Эволюция, гранитация, невесомость. М., 1976.
- 43. Коржува П. А. Проблемы космической биологии. 33, 31, М., 1976.

XXXI, 7, 1978

VAK 577.3

ИСПОЛЬЗОВАНИЕ НРД В ЦИТОХИМИЧЕСКИХ ИССЛЕДОВА-НИЯХ БИОЛОГИЧЕСКИХ ОБЪЕКТОВ

11. М. АВАКЯН, И. Е. ВАСИНЮК, Ю. П. МОЖАРОВ, А. С. НАНАСЯН, Дж. О. ОГАНЕСЯН

Предложен новый метод обработки цитохимических пренаратов на основе намерительной установки для обработки снимков трековых камер (НРД). По сравнению градиционными методами идмерений, предложенный резко сокращает премя обработки, увеличивает точность намерения и дает объемную информацию о распределении уникальных клеточных структур.

Цитохимический анализ клеток является одним из важнейших экспериментальных методон биологических исследований. Обработанные соответствующим образом препараты, подлежащие исследованию, фотографируются; снимок в дальнейшем подвергается фотометрической обработке. Конечной целью этой обработки является определение количества уникальных клеточных структур (РНК, ДНК, белковых вещестя и т. п.), их распределение в пределах клетки, характер его. Указанные параметры характеризуются величиной и изменением оптической плотности этих вещести.

Принятая традиционная методика фотометрической обработки снимков биологических объектов не позволяет производить подобную обработку за короткий срок с желаемой точностью и не дает объемной информации. Измерительная установка для обработки снимков трековых камер в ядерной физике с помощью оптико-механического сканирующего устройства НДР [1] может быть с успехом применена также для обработки снимков биологических объектов, т. е. для микроденситометрических измерений при выполнении следующих условий: видеокапалы сканирующего устройства должны быть липейными (если измеряется коэффициент пропускания) или логарифмическими (если измеряется оптическая плотность): необходимо наличие фотометрического блока, наличие аппарата стробирования сканирующего луча по строке.

Первые два пункта очевидны и уже реализованы в электронике НРД вычислительного центра Ереванского физического института [2]. Выполнение третьего пункта обеспечивается с помощью авпарата динамических прецизионных масок [3], также входящих в состав оборудования НРД ЕФН.

Работа НРД в режиме микроденситометрических измерений реализуется следующим образом.

Сканирование производится не лучом, а узкой маской, последовательно перемещаемой по строке сканирования в заданных предслах, при этом функции электронных масок не ограничиваются только стробированием луча по строке (т. е. генерацией команды на цифрование видеосигнала через заданные расстояния по строке сканирования), они могут быть использованы также для формирования липейных размеров измерительной апертуры.

В пределах маски фотометрируется интегральный сигнал от сканирования лучем; координаты зон, где проводились измерения, определяются по положению маски на сканирующей строке; столик перемещается в новую позицию для измерений по следующей строке разложения и т. п.

Таким образом, производится дискретное фотометрирование на заданной площади с сеткой, определяемой в одном направлении шагом перемещения маски по строкс, в другом — величиной перемещения активной платформы столика от строки к строке, т. е. полностью сканирующих линий. Возможности НРД ЕФИ при работе в режиме микроденентометрических измерений рассмотрены в работе Васинюка и др. [4].

Цель данной работы — определить с номощью HPД распределение ДНК, РНК и SH-соединений и их концентрацию в клетках.

Материал и методика Объектом исследованая являлись меристематические клетки корешков ишеницы сорта Белостая 1. Для приготовления постоянных препаратов корешки обезноживались и пропитывались нарпфином. Толщина средов—7 мк. Для имявления SII-соединений корешки окраинавались методом Баркета и Зелигмана. ДНК клетки была окрашена по Фельгену. Часть принаратон окрашивалась метиловым зеленым и пироинном, при этом происходило днойное окрашивание. ДНК окрашивалась в синий цвет, а РНК—в зеленый. Обработваные препараты фотографировались на инкроскопе МБИ-6 (пленка Микрат-200). Полученные фотоиленки сканировались на ИРД шагом 32 мк. С кадра снималось порядка 1200 строк. Для снятия полной информации с кадра и записи на магинтную ленту было затрачено 3 минуты.

Результаты и обсуждение. Так как данные, полученные на НРД и спектрофотометре ИФО—451, измеряются условивыми слиницами, мы не можем их сравнивать. Но об однозначности этих данных свидстельствует тот факт, что соотношение оптических плотностей ДНК. РНК и SH-соединений, полученных на НРД и спектрофотометре, полностью совпадает. В обоих случаях оно равно 2:1:0,7. Однако НРД не голько позволнае определить среднюю оптическую плотность исследуемых веществ, но и дала возможность установить объемную форму их распределения и накопляемость в клетках.

SH-соединения. Средняя оптическая плотность SII-содержащих соединений в клетках при определении на установке HPД—15± 0.2 усл. ед. Но в клетке эти соединения распределены неравномерно. Навбольшая часть их накоплена в клетках с плотностью до 10 усл. ед.

Более значительное накопление SH-соединений (до 20 усл. ед.) отмечается в меньших количестнах точек, а начиная с оптической плотности 60 усл. ед. кривая накопления надает до нуля.

673

Картина распределения SH-соединений в клетках представлена следующим образом (рис. 1): под клеточной оболочкой они имеют не очень большую плотность накопления, потом она падает до минимума и находится на уровне оптической плотности этих соединений в ядре. Затем скачкообразно достигает максимума. Второй, но не столь значительный, пик накопления SH-соединений отмечается в ядрышке.

ДНК. В ядре средняя оптическая плотность ДНК составляет 46 ± 2 усл. ед. По распределена она перавномерно. Плотность накопления ДНК постепенно увеличивается от оболочки к центру ядра. Далее к ядрышку замечается некоторое уменьшение ее. В ядрышке количество ДНК резко падает, но в распределении ее выявляется обратная закономерность: от оболочки к центру плотность ДНК уменьшается 4 пс. 2). Больше псего в ядре имеется ДНК с плотностью от 20 до 50

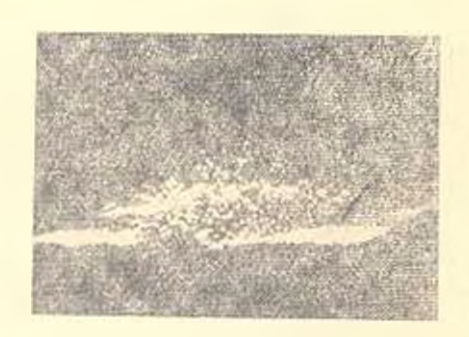




Рис. 1. Рис. 2. Рис. 2. Рис. 1. Риспределение SH-соединений в клетке. Рис. 2. Распределение ДНК в ядре.



Рис 3. Распределение РНК в клетке.

усл. ед. Число точек накопления ДНК уменьшается с увеличением плотности, а с оптической плотностью 170—190 усл. ед. их практически нет.

РНК. В клетке РНК имеет среднюю оптическую плотность $23\pm \pm 1$ усл. ед. Но наиболее распространенная форма плотности РНК в клетке—от 10 до 20 усл. ед. С увеличением плотности уменьшается число точек с РНК. Так как при окраске окрашивались и РНК и ДНК,

то при сканировании получилась суммарная картина распределения обонх веществ. В интоплазме плотность РНК увеличивается начиная с оболочки клетки Достигнув максимума, она вновь "меньшается к оболочке ядра (рис. 3). Самый высокий пик оптической плотности отмечается в ядрышке, что и соответствует самой высокой накопленности: РНК.

Таким образом, предварительные интохимические исследования на НРД указывают на целесообразность применения ее в биологических исследованиях, так как обеспечивает более точную, быструю и объемную информацию.

Цитохимический анализ меристематических клеток корешков ишенивы сорта Безостая 1 дает основание утперждать, что ДНК, РПК и SII соединения в клетках распределены неравномерно, каждое из этих веществ имеет свою определенную объемную форму распределения. Соотношение между количеством клеточных ДНК, РПК и SH-соединений постоянно и составляет 2:110,7.

Ереванский физический пиститут, ГКНАЭ НИП земледелия МСХ АрмССР

Поступило 28.11 1978 г

ՏՐԵԿԱՑԻՆ ԽՑԻԿԻ ՆԿԱՐՆԵՐԸ ՄՇԱԿՄԱՆ ՍԱՐՔԻ ՈԳՏԱԳՈՐԾՈՒՄԸ ԲՋՋԱՔԻՄԻԱԿԱՆ ՀԵՏԱԶՈՏՈՒԹՅԱՆ ՄԵՋ

Ե. Մ. ԱՎԱԳՅԱՆ, Ի, Ե. ՎԱՍԻՆՅՈՒՆ, Ֆու. Պ. ՄՈԺԱԲՈՎ, Ա. Ս. ՆԱՆԱՍՅԱՆ, Ջ. Օ. ՕՀԱՆԻՍՅԱՆ

Առաջարկված է ցիտոբիժիական պրեպարատների մշակման նոր մեքեող. որի չիմբում ընկած է տրեկային խցիկի նկարները, Հաշվարկային սարբի օդտագործումը։ Տրադիցիոն չափման մեքեղների Համեմատուքյամբ առաջարկվան մեքեոդը խիստ կրճատում է մշակման ժամանակը, ավնլացնում շափման Հշտունյունը և տայիս է հղակի ստրուկտուրաներ տարածական պատկերը։

THE USE OF NRD IN CYTOCHEMICAL RESEARCHES OF BIOLOGICAL OBJECTS

Ts. M. AVAKIAN, I. E. VASSINYUK, Y. B. MOZHAROV, A. S. NANASSIAN, J. O. OHANESSIAN

A new method of processing cytochemical preparations based on the use of equipment for track chamber pictures has been proposed.

As compared to traditional methods, the new approach markedly shortens the processing time, increases accuracy and produces spatial structure pictures.

ЛИТЕРАТУРА

- 1. Benof et al. The HPD Mark-2 Flying-Spot Digitizer et CERN, 68-4, 1908.
- 2 Висинюк И. Е. и др. Мат лы сем. по обработке физической информации. Аглерии. 235, 1975.
- 3. Васинюк Н. Е., Нинасян А. С. Преприиз ЕФП-80 (74)
- 4. Висинюк И. Е. и др. Мат-лы сем по обработке филмеской информации. Агнеран, 261, 1975.

XXXI, 7, 1978

УДК 5479

ОПРЕДЕЛЕНИЕ НУКЛЕОТИДНОГО СОСТАВА ДНК УФ-СПЕКТРОФОТОМЕТРИЧЕСКИМ МЕТОДОМ

В. М. АСЛАПЯН, ТО С. БАБАЯП, В. В. САГАТЕЛЯН, Мик. К. ПОГОСЯН

Разработан метод, позволяющий определить нуклеотидный состав ДНК на осноже апализа дифференциальных кривых иливления, полученных спектрофотометрически

Нуклеотидный состав ДНК определяется химическим методом посредством деградации ее молекул на отдельные нуклеотиды. Для: ДНК с квазислучайным распределением азотистых оснований нуклеотидный состав можно определить методом равновесного центрифугирования в градиенте плотности [1]. Этим же методом можно найти числе блоков, входящих в ДНК, и пуклеотидный состав каждого блока [2].

Материал и методика, Патинные ДПК тимуса тележка, печени крисы, Е. coli были пыделены по методу Георгиева, а ДНК фага 12—фенольным методом. Для веск ДПК А₂₆₀/А₂₃₀ лежало между 1.8—1.9. а А₂₆₀/А₂₃₀ между 2.2—2.4 следопательно, содержание белка в РНК в песледуемых ДПК меньше 0,1%. Молекулярный вес ДНК тимуса теленка, фага Т2, печени крысы и Е. coli порядка 107. Все образцы ДНК изучали и питратно-солевом растноре. Тепловую денатуранию ДНК проводили в буфере 0.1 SSC (1 SSC=0,13 M NaCl+0,015 M цитрат Na, рН 7,0). Кривые плавления получены на стектрофотеметре РУЕ UNICAM SP-8000 с пристанками, при испрерывного режиме нагрена растноров ДПК. Скорость нагрена была 0,25°/мин. Данные крипых плавления были взяты е инфрового вольтметра В7-16 и самописца самого прибора РУЕ UNICAM.

Пеходные кривые планления получены спектрофотометрически. Для пылсикаю особенностей и характере новедения кривых плавления был осуществлен переход к инфференциальным кривым плавления (ДКП). Известно, что молекулы ДПК состоят из блоков [3, 5]. Так как оптическая плотность а илитивная велична, то можно все кривую оптической плотности представить как сумму оптических плотностей всех блоков. Каждый блок вносит свой относительный вклад в кривую плавления и зависямости от размера и ГП-содержащия самого блока. Известно, что для квазислучайно распределениюй ДНК зависимость оптической плотности от температуры представляют собой Гауссовую кривую, а так как в блоках нуклеотидные пары распределения квазислучайно, то сложные ДКП гетерогенных ДНК представлены в виде совокущности Гауссовых кривых*

$$\sum_{i=1}^{N} \frac{B_{i}}{1} = \frac{(T-Ti)^{i}}{2\pi^{i}}$$

^{&#}x27; Примечание: Вычисление σ для нашей задачи спидетельствует о том, что эта величина связана с интервалом плавления ΔTi i-го блока, т. е. с кооперативностью данного блока | 2π эі ΔTi (тот же результат получен и в работе Берестецкой Л. В н. др.) [4]. Зная, что ΔT зависит от отпосительного содержания ГП пар, оценни среднее значение и границы измененяя σ . Так как ΔT изменяется от 2,5° до 3,2° для квазислучайно распределенных ДНК [3], то σ = 1,15° ±0,12°.

тае Ві. от и Ті—три параметря Гауссовой кривой: Ті—темисратура плавления 1-го блока.

Полагаем, что каждая на Гауссовых кривых соответствует определенному блоку ДНК. Каждый блок, харуктеризуемый величикой Ві вносит свой относительный вклад в оптическую илотность (Ві—статистический цее каждого блока).

Качестиенно было определено число блоков для каждой ДНК и Ті каждого блока, а потом при помощи ЭВМ БСМ-6 методом минимизации иминелилась величина [у—F(T)]² для каждой точки (взято приблизительно 50 точек). Здесь у— шачение ДКП для каждой температуры, а

$$F(T) = \sum_{i=1}^{N} \frac{1}{i} e^{-\frac{T-T}{2}}.$$

Принимая, что с возрастанием ГП-содержания линейно растет температура плавления блоков [3], можно ГЦ-содержание каждого блока вычислить по формуле

$$X_{I} = \frac{T_{TI} - T_{AT}}{T_{TII} - T_{AT}},$$

тде — температура плавления 1-го блока, которая соответствует максимуму данной Гауссовой крипой. XI—относительное ГП-содержание, T_{AT} и T_{rg} — температуры плавления чистых полидезокси-AT и полидезокси-ГП в соответствующем буфере (в случае 0,1 SSC $T_{AT}=50$. $T_{rg}=100$ ·) [5].

Зная ГЦ-содержание XI и статистический цес Ві каждого блока, можно подсчитать налоное ГЦ-содержание молекулы ДНК:

(Вычисление Ві смотри и разделе «Результаты и обсуждение»).

Результаты и обсуждение. Кривые плавления и ДКП (разложенные на Гауссовые кривые) для ДНК тимуса теленка печени крысы. E. coli. Т2 представлены на рис 1—4.

Как видно из рис. 4, даже для ДНК с довольно большим молекулярным весом, выделенных из простых организмов (например, фата Т2), распределение пуклеотидных пар нельзя считать квазислучайным: в молекулах имеются блоки с мало различающимся ГП-составом.

Вычислим статистические суммы Ві каждого блока.

Сумма площадей всех Гауссовых кривых равна площади, ограниченной ДКП и осью температуры. Поэтому статистический вес каждого блока можно определить как отношение площади данного блока к площади, ограниченной ДКП и осью температуры. Для значительного упрошения расчетов за статистический вес 1-го блока можно принять также отношение величины гипохромности в точке пересечения Гауссовой кривой данного блока со следующей (1-11) й Гауссовой кривой минус гипохромность в точке пересечения с (1-1)-й предыдущей Гауссовой кривой к величине общей гипохромности. Несмогря на то что найденный таким методом статистический вес не является истипным для валового ГЦ-состава, и в этом случае получаются довольно хорошие результаты. Отличие Ві от истинного статистического веса очевидно будет меньше для совокупности Гауссовых кривых с меньшим взаимным перекрыванием.

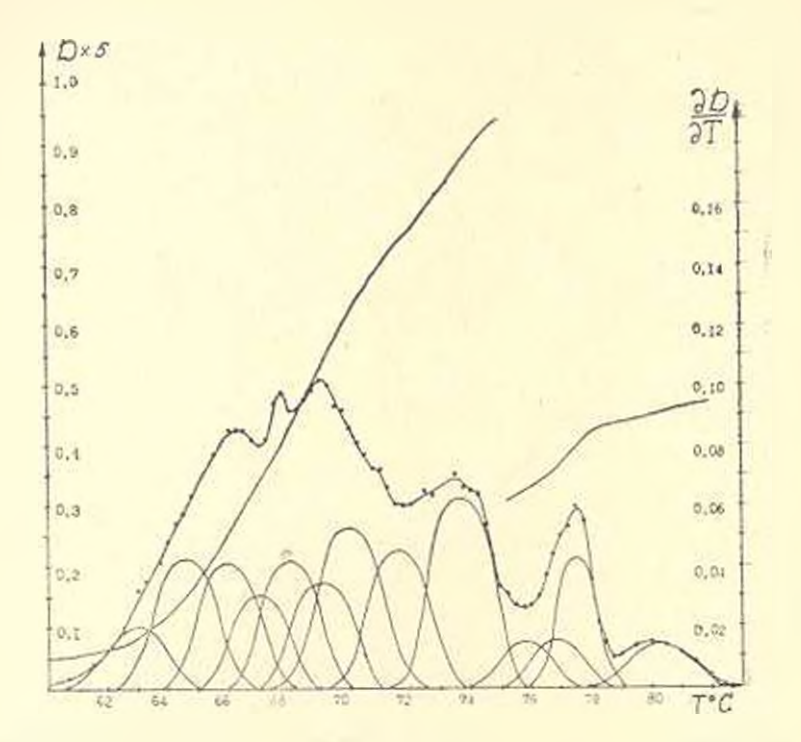


Рис. 1. Кривая плавления и ТКП для ДНК тимуса теленкя в 0.1 SSC.

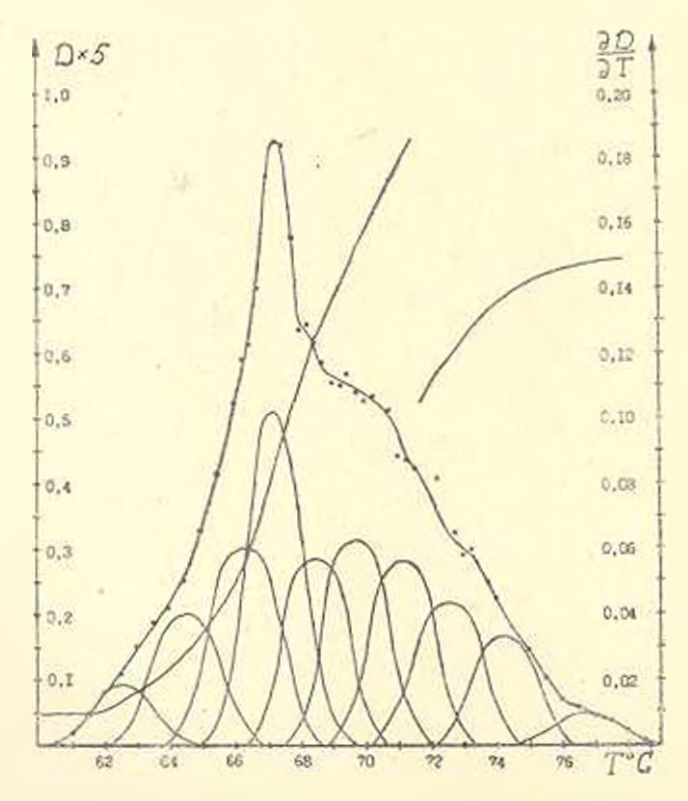


Рис. 2. Кривая плавления и ДКП для ДНК печени крысы в 0,1 SSC.

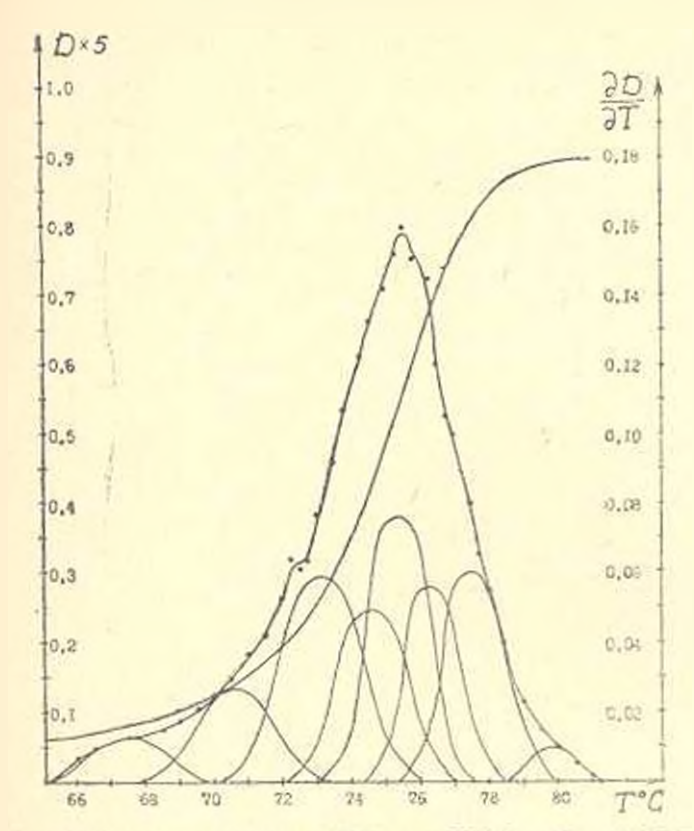


Рис. 3. Кривая плавления и ДКП для ДНК Е. coli в 0,1 SSC.

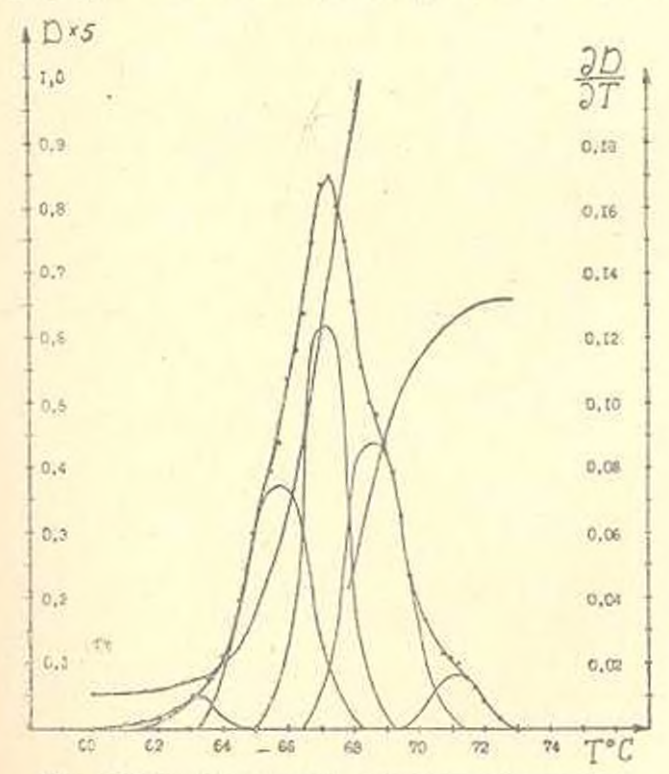


Рис. 4. Кривая плапления и ДКП фага Т2 в 0,1 SSC.

Результаты вычислений (Ві — вычислено первым способом) приведены в табл. 1—4, а консчные результаты—в табл. 5. Как видно из-

Таблица 1

	ALLIK III EN	муса теленка		
Уў (ілока	Температура плавления блока в буфере 0,1 SSC (Т _m)	Статистический вес блока (В)	% ГЦ содержания блока (X)	
1 2 3 4 5 6 7 8 9 10 11 12 13	63.0 64.6 66.0 67.05 68.05 69.15 70.0 71.6 73.65 75.75 76.9 77.5	0.370 0.0961 0.0986 0.0625 0.1017 0.0803 0.1336 0.0962 0.1512 0.0287 0.0342 0.0605 0.0373	26.0 29.2 32.0 34.1 36.1 36.1 38.3 40.0 43.2 47.3 51.5 53.6 55.0 60.6	

Табанна 2 ДНК фага Т2

.\ <u>1</u> 6лока	Температура плавления блока в буфере 0,1 SSC (T _m)	Статистический вес блока (Ві)	•: ГЦ содержання блока (Xi)	
1 2 3 4	65.75 67.1 68.6 71.2	0,2907 0,3408 0,3216 0,0468	31.5 34.2 37.2 42,4	

Таблина 3 ДИК на нечени крысы

№ блока	Температура илапления блока и буфере 0,1 SSC (Т _т)	Стятистический вес блока (В)	очоку (XI) сочержиния	
1 2 3 4 5 6 7 8	62,6 61,5 66,3 67,3 68,45 69,7 71,1 72,5 74,3 76,8	0,0420 0,0915 0,1390 0,1962 0,1278 0,1320 0,1207 0,0462 0,1723 0,0231	25,2 29,0 32,6 34,6 36,9 39,4 42,2 45,0 48,6 53,6	

№ блока	Температура плавления блока в буфере 0,1 SSC (T _m)	Статистический вес блока (Ві)	4, ГП содержання блока (X)
2345678	67.5 70.6 73 74.6 75.4 76.3 77.5 79.8	0.0402 0.0866 0.1999 0.1519 0.1995 0.1349 0.1651 0.0219	35.0 41.2 46.2 49.2 50.8 52.6 55.0 59.6

Таблица л Процентное валовое ГЦ содержание в молекулах ЛИК

	дик							
Метод	тимуса теленка	криста педени	E, coll	фага 72				
Сф Химическии	41,31+0,2 42 [6]	39,12±0,2 40 [2]	49,3-0,1 50 {2]	34.76±0,1 35 [7]				

табл. 5, значения валового содержания ГЦ нуклеотидных пар в молекулах, полученные нами и химическим методом тругими авторами, довольно хорошо совнадают для всех анализируемых ДНК. Незначительные отклонения, возможно, определяются различиями в методах выделения ДНК. Преимущества предложенного способа очевидны. Прежде всего, адекватная информация не требует химической деградации молекул ДНК. Этим методом, более доступным и менее трудоемким, можно найти число блоков, входящих в ДНК данного молекулярного веса, и относительное ГЦ-содержание отдельных блоков.

Ереванский государстиенный динверситет. явфелра молскулярной филики и биофизики

Поступпло 28.11 1978 г.

ԳՆԹ-ի ՆՈՒԿԼԵՌՏԻԳԱՅԻՆ ԿԱԶՄԻ ՈՐՈՇՈՒՄԸ ԳՄ-ՍՊԵԿՏՐԱՖՈՏՈՄԵՏՐԻԿ ԵՂԱՆԱԿՈՎ

վ, Մ. ԱՍԼԱՆՅԱՆ, Ցու. Ս. ԲԱԲԱՅԱՆ, վ. վ. ՍԱՂԱԲԵԼՑԱՆ, ՄԻԲ. Կ. ՊՈՂՈՍՏԱՆ

Մշակված է մեքիոց, որը թույլ է տալիս որոշել ԳևԹ-ի նուկլնոտիդային կազմը օպեկտրաֆոտոմետրիկ եղանակով ստացված հայման դիֆերենցիալ կորերի անալիզի հիման վրա։

DETERMINATION OF NUCLEOTIDE CONTENT IN DNA BY UV SPECTROPHOTOMETRIC METHOD

W. M. ASLANIAN, Y. S. BABAIAN, W. W. SAGATELIAN, Mik. K. POGOSSIAN

A method is worked out that allows to determine the content of nucleotide in DNA on the basis of differential melting curve analysis received by means of spectrophotometry.

ЛИТЕРАТУРА

- 1. Mandel M. et al. J. Bactetiology, 101, 333, 1970.
- 2. Wiesbahen Gary et al. Biopolymers, 15, 1591, 1976.
- 3. Lazurkin Yu. S. et al. Biopolymers, 9, 1253, 1970.
- 4. Berestetskaya et al. Biopolymers, 13, 193, 1974.
- 5. Huguet T., Jounin L. BAB, 262, 431, 1972.
- 6. Шугалия А. В., Фракк-Каменецкий М. Д. Молек. бнол. 5, 766, 1971.
- 7. Любченко Ю. Л., Трифонов Э. Н., Лазуркин Ю. С., Франк-Каменецкий М. Д. Мо-лекуляр, биология, 5, 772, 1971.
- 8. Lyubchenko Yu. L. et al. Biopolymers, 15, 1019, 1976.

XXX1, 7, 1978

YJIK 577.3:591.473;547.962

ОБ ОСОБЕННОСТЯХ ОРГАНИЗАЦИИ ТРОПОНИН ТРОПОМИОЗИНОВОГО КОМПЛЕКСА

В. М. АСЛАНЯН, Н. М. ГЕВОРКЯН, М. А. САРКИСЯН

Исследовано влияние температуры, мочевниы и понной силы раствора на стабильность тропонин-гропомиозинового комплекса и его компонентов. Обнаружено существенное повышение резистептности комплекса по сравнению с чистым тропомиозиком к действию 1 М мочевния. Делаются некоторые предположения относительно характера взаимодействия тропомиозиня с тропониями.

Известно, что процесс мышечного сокращения сопровождается конформационными перестройками в тропонин-тропомиозиновом комплексе (ТН—ТМ), стимулируемыми связыванием тропонином нонов кальция Однако ряд вопросов, имеющих существенное значение для понимания молекулярных основ обсуждаемого процесса, остается по сей день невыясненным, например, механизм передачи действия этих понов от места связывания на весь комплекс; факторы, способные влиять на характер взаимодействий, осуществляемых в системе ТН—ТМ; физическое воздействие гех или иных агентов, вызывающих перераспределение сил, стабилизирующих данный комплекс.

Для выяснения механизма работы комплекса ТН ТМ необходимо исследовать его физическую организацию, т. е., его пространственную структуру, с одной стороны, и взаимодействия, которые приводят непосредствению к образованию комплекса и стабилизируют его с другой Изменение конформации должно быть связано с изменением балянса этих взаимодействий. А попытка выявления характера сил, участвующих в формировании функционально важного комплекса ТН ТМ, является закономерным шагом на пути выяснения механизмов работы всей мышцы как целого и возможностей направленного воздействия на нее.

Митериал и методика Сократительные белки выделялись из переходных скелетных мышц кролика. Троповии выделялся согласно методике Грили и Гергели [1] в тропомнозии—Драбиковского и Гергели [2], после чего оба белка подвергались лиофильной сушке. Методом кругового оптического дикронима (КД) исследовалось влияние температуры, моченины и понной силы на стабильность комплекса, его компонентов и на характер враимодействий, реализуемых в этой белковой системе.

Результаты и обсуждение. В предыдущей работе [3] было показано наличие в структуре суперспирали тропомнозина крупных гидрофобных блоков, а также группировок, чувствительно обогащенных заряженными аминокислотными остатками. Подобная гетерогенность наблюдается и в структуре тропонина, глобулу которого можно представить я ниле существенно стабилизированного гидрофобными взаимодействиями ядра, окруженного оболочкой с явным превалированием заряженных групп. О такой организации тропониновой глобулы свидетельствуют системы кривых, представленные на рис. 1 и 2. Они характеризуют изменение абсолютного эффекта \triangle_{8220} КД при длине 220 им. Уменьшение этого эффекта под влиянием тех или иных дестабилизирующих агентов указывает на синжение степени регулярности макромолекулы, связанное со синжением солержания α-спиральности в белке. Так, на рис. 1 представлены кривые температурного плавления тропонина в присутствии различных концентраций нейтральных солей (в нашем случае КСІ). Почти 3/4 всех структурированных участков

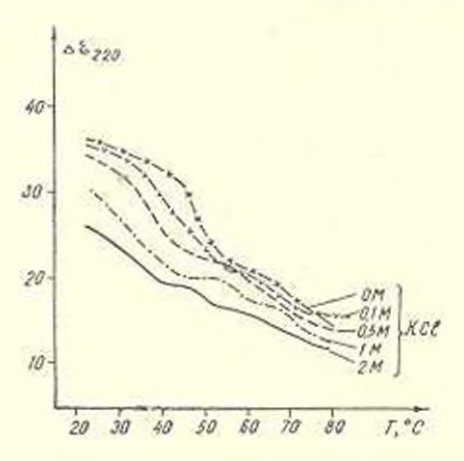


Рис. 1. Температурное изменение абсолютного эффекта КЛ в тависимости от концентрации КС1. $C_{\rm TH}=0.1$ мг/мл, 50 мМ трис-HCl, pf1 7.8, $10^{-1}{\rm M}$ ЭГТА.

разрушается при температурах ниже 55°, а последияя четверть начинает плавиться только при температуре выше 60°. Первая ступень чрезвычайно чувствительна к возрастанию концентрации соли уже 0,1—0,5М существенно дестабилизирует выплавляемые в этой области оспиральные участки. При этом интересно, что высокотемпературная ступень во всей этой серии кривых оказывается практически неуязвиниюй, что выражается в постоянстве се высоты. Эту особенность можно объяснить наличием в тропониие упомянутого выше гидрофобного ядра, содержащего ~25% а-спиральных участков. Таким образом, качественно независимо от концентрации соли в растворе (вплоть до IM КСІ) в перную очередь раскручиваются именно поверхностные а-спиральные участки, в стабилизации которых преобладающую роль играют электростатические взаимодействия.

Для дальнейшей проверки наших представлений было рассмотрено влияние второго агента — мочевины, являющейся, с одной стороны, антигидрофобным фактором, а с другой — фактором, поинжающим диэлектрическую проницаемость воды и тем самым несколько усиливающим электростатические взаимодействия. В конкуренции же за образование водородных связей с пентидной группой она незначительно отличается от воды, поэтому прямое действие на водородные связи, участвующие в стабилизации регулярной структуры белка, можно не рассматривать. При сравнении кривой температурного плавления свободного от мочевины раствора белка с раствором, солержащим ее в концентрации 0,5 М (рис. 2), бросаются в глаза четкое проявление

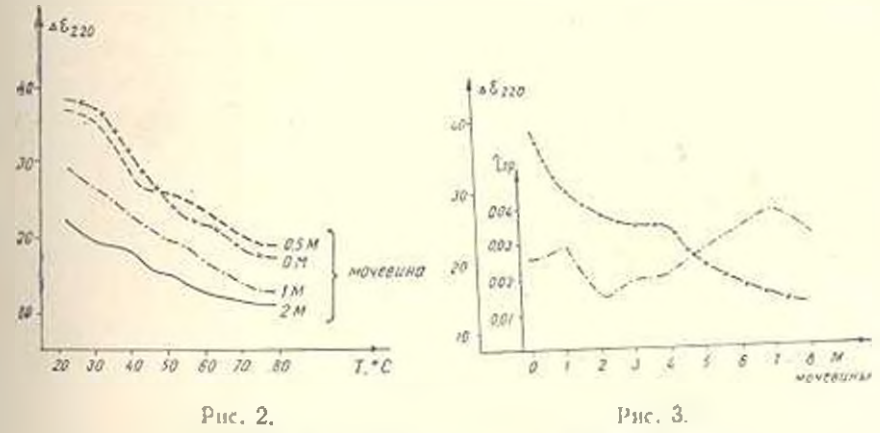


Рис. 2. Температурное наменение абсолютного эффекта КД в зависимости от концентрации моченины. $C_{\rm TH}=0.4$ мг/мл. 0.4 М КСі. 50 мМ трис-ПСІ, p11 7.8, 10^{-4} М ЭГТА

Рис. 3. Конформационные перестройки в тропониие при компатной температуре в зависимости от содержания мочевины в растворе белка с 50 м.М. трис-ПСІ, рН 7.45.

ступеней в последнем случае и явное смещение второй ступени вверх и влево. Это можно объяснить следующим образом. Паверняка с-спиральные участки на новерхности глобулы в определенной мерс поддерживаются и гидрофобными взаимодействиями. Таким образом, на участках, расположенных вблизи поверхности глобулы, гидрофобный фактор ослаблен. И если этот эффект не компенсируется достаточным усилением электростатики, поддерживающей с-сипральную структуру, будет иметь место общая дестабилизация этих и-спиральных участков. Но те из них, на которых электростатическое притяжение превышает гидрофобный фактор, окажутся в присутствии мочевины стабилизированными. Им соответствует начальная часть кривой плавления чистого белка, которая в 0,5М мочевине смещается влево. Дальнейшее повышение содержания мочеваны приводит к деструкции почти всех ж-спиральных участков, соответствующих первой ступени кривой илавления и 0,5М мочевине. Кривая зависимости эффекта КЛ от температуры из ступенчатой превращается и размытую волинстую, что связано с потерей кооперативности, свидетельствующей о дестабилизации всей молекулы в целом. Интересно, что в присутствии 0,7М КСІ даже в растворах с высокой концентрацией мочевины электростатические

взаимодействия достаточно сильны, чтобы при комнатиой температу ре стабилизировать компактную структуру глобулы. Так, существенноуменьшение степени сипральности белка при концентрациях мочевины до ЗМ сопровождается значительным уменьшением вязкости (рис.
3). Похоже, что такая, более компактная, но с пониженной степенью спиральности конформация более или менее стабильна в области от 2 до
4М мочевины. Дальнейшее повышение концентрации мочевины вызывае
ст набухание тропониновой глобулы, о чем свидетельствует рост вязкости более чем в два раза при переходе от 2 к 7 М раствору мочевины

Далее оказывается, что по-разному организованные участки молекул тропомиозниа и тропонина, обладая различной стабильностью, претерпевают интересные и весьма существенные конформационные перестройки в процессе формирования белкового комплекса, и вопрос в том как реализуются и коррелируют свойства обоих компонентов в этом процессе.

Обратимся к рис. 1. Здесь кривая плавления комплекса (в присутствии 0.7М КСІ) расположена левее двух его компонентов. Во всяком случае, плавление комплекса начинается при заметно более низких тем-

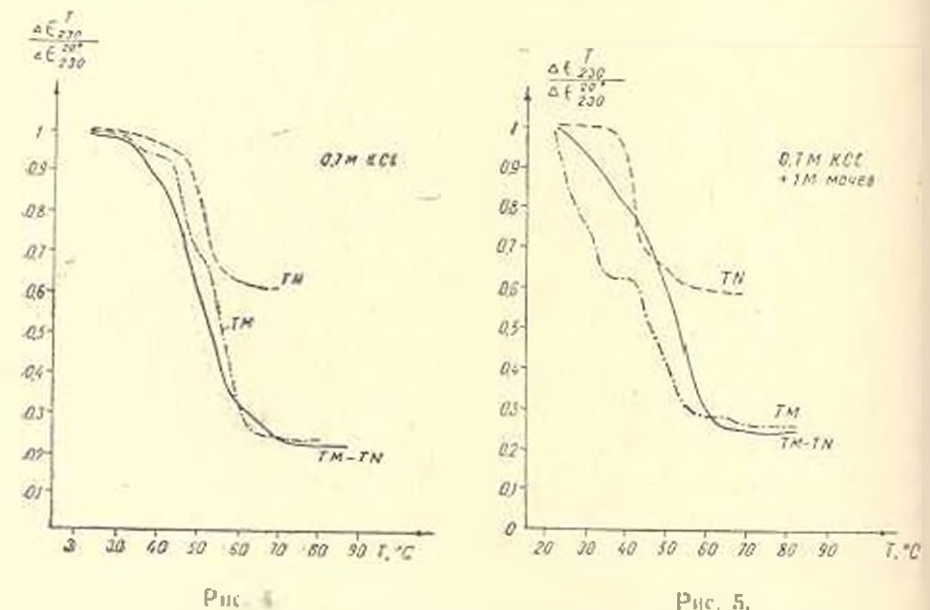


Рис. 4. Температурное изменение относительного эффекта КД (0,7 М КСІ, трис-НСІ, рН 7,45, 10-4 М ЭГТА).

Рис. 5. Температурное изменение относительного эффекта КД (1 М мочевина, 0,7 М КСІ, трис-ИСІ, рН 7,45, 10-4 М ЭГТА).

пературах, чем у тропомиозина. Температуры плавления комилекса тропомиозина и тропонина равны соответствению 49, 53 и 50°. Далее, на рис. 5 представлены кривые температурного плавления комплекса ТН—ТМ в присутствии IM мочевины. На фоне существенной чувствительности как тропомиозина, так и тропонина к мочевине поражает уди-

вительная инертность к ней комилекса. Об этом свидетельствует и температура плавления комплекса, которая не претерпевает изменении и остается равной 49°. Происходит лишь частичный сляні влево верхней части кривой илавления комплекса, что определяется дестабилизацией гидрофобных участков, но в значительно меньшей степени, чем у тропомнозина (с кривой илавления которого и имеет в основном смысл сравнивать ее, так как тропонии в степень спиральности комплекса вносит незначительный иклад).

Чем обусловлены столь существенные изменения в характере кривых плавления при нереходе от комплекса к его компонентам? С уверенностью можно сказать, что образование комплекса сопровождается общей дестабилизацией тропомнозина, т. с. повышением его лабильности. Кроме того, оно связано со значительными конформационными изменениями, трансформирусмыми вдоль всей молекулы гропомнозина, а не носит локального характера, как можно было бы ожидать исходя из компактности молекулы тропонина. В пользу этого говорит также тот факт, что взаимодействие ТН—ТМ влечет за собой агрегацию тропомиозиновых молекул [4, 5] за счет образования связи между его электростатически липкими концами [6, 7], в то время как связывание тропонина с тропомнозином происходит на значительном расстоянии от конца тропомнозиновой палки [8, 9].

Почему же комплекс столь инертен к действию мочевины? Очевилно, в результате того, что присутствие 0.7М КС1 по крайней мере дестабилнаирует структуру глобулярной оболочки, гидрофобное ядро тропонина становится более доступным. Это и приводит к прямому взаимолействию его с одним или несколькими участками, насыщенными гидрофобными остатками, на молекуле тропомнозина. Логично предположить,
что ядро тропонина взаимодействует с тем (или с теми) участком макромолекулы тропомнозина, который в отсутствие тропонина плавится
уже при комнатной температуре в растворе 1М мочевины,

Итак, образование связи тропомнозина с тропониюм сводится к взаимодействию гидрофобного ядра тропониновой глобулы с предполагаемым гидрофобным блоком на макромолекуле тропомнозина. В то же время раздвинутые в стороны от участка взаимодействия с тропомнозином электростатические аминокислотные остатки тропонина могут, с большой вероятностью, дополнительно укреплять эту связь за счет электростатического притяжения заряженных групп, расположенных на суперспирали тропомнозина. Это, по нашим представлениям, и приводит к суммарному эффекту, выражающемуся в повышении упорядоченности белкового комплекса.

Ереванский государственный университет. эфедра молекулярной физики и биофизики

Поступила 50.V 1978 г.

ՏՐՈՊՈՆԻՆ-ՏՐՈՊՈՐԻՈԶԻՆ ԿՈՄՊԼԵՔՍԻ ԿԱԶՄԱԿԵՐՊՄԱՆ ԱՌԱՆՉՆԱՀԱՏԿՈՒԹՅՈՒՆՆԵՐԻ ՄԱՍԻՆ

A. II. RIBERTARIA, L. II. SHERPSAUL, II. U. BILPSUSILL

Հետադոտված է չերմաստիճանի, միզանյունի և լուծույիի իոնային ուժի աղդեցությունը տրադոնին-արոպոմիոզին կոմպլերսի և նրա բաղադրիչների կայունացման վրա։ Հայտնաբերված է ժեկ միդանյունի աղդեցության նկատ-մամե կոմպլերսի դիմադրելիության դգալի մեծայում, մարուր տրոպոմիուդինի չամեմատությամբ։ Դա ձնարավորություն է տայիս որոշ ենթադրություններ անել տրոպոմիոգինի տրոպոնինի Հետ փոխազդեցության բնույնի մասին։

ON THE FEATURES OF TROPONIN-TROPOMYOSIN COMPLEX ORGANIZATION

W. M. ASLANIAN, N. M. GEVORKIAN, M. A. SARKISSIAN

In the present paper stability of tropomyosin-troponin complex and its components as a function of temperature in the presence of urea and at different ionic strength has been investigated.

These studies show the rise of resistance of the complex, as compared to tropomyosin alone, to the action of 1 M urea.

The results obtained give a chance to make some suppositions about the nature of tropomyosin-troponin interaction.

JHTEPATYPA

- 1. Greaser M. L., Gergely J. J. Biol. Chem., 248, 6, 1973.
- 2. Drabikowski W., Gergely J. JBC, 237, 4312, 1962.
- 3. Асланян В. М., Геворкян Н. М., Туманян В. А. Биофизика (в печати)
- 4. Hitchcock S. J. Mol. Biol., 81, 409-413, 1973.
- 5. Yamamoto K. et al. J. Bloch., 73. 1111-1114, 1972.
- 6. Асланяя В М. и др. Бвофизические основы и регуляция мышечного сокращения. Мат-лы Вессоюзи, симп., Пущино, 1972.
- 7. William D. et al. J. Bioch., 47, 1969.
- 8, Ebasht S. Cold Spring Harbour Symp. Quant. Biol., 37, New York, 1973.
- 9. Stewart M. Proc Roy. Soc., 190, 1099, 257-266, 1975.

XXX1, 7, 1978

ИДК 547.963.3

ПЛАВЛЕНИЕ КОМПЛЕКСОВ ДИК С ГОМОЛОГИЧНЫМИ И ГЕТЕРОЛОГИЧНЫМИ ГИСТОНАМИ

Г. А. ПАПОСЯН, Р. Р. ВАРДАПЕТЯН, П. О. ВАРДЕВАНЯН

Исследованы параметры планления комплексов ДПК ТТ и ЭК с гомологичными и гетерологичными гистонами. С увеличением количества гистонов наблюдается изменение общей скреночной активности и других параметров планления Показана зависимость ДНК-гистонового навимодействия от ГП-состава ДНК Частичная денатурация ДНК существенно отражается на характере плавления комплексов. Полученные результаты свидетельствуют о наличии определенной специфичности во влаимовействии гомологичного гистона с ДНК.

Одним из способов изучения структуры и функций нуклеогистонов является исследование методом планления взаимодействия комплексов ДНК как с тотальными гистонами, так и с отдельными гистоновыми фракциями. Исследование плавления этих комплексов может дать ответ на такие вопросы как скрепочная активность гистонов, термическая стабильность комплексов, распределение гистонов вдоль моленулы ДНК, избирательность взаимодействия их с определенными последовательностями ДНК и т. д.

Проведенные нами ранее эксперименты по плавлению комплексов ДНК с нефракционированными гистопами (НФГ) выявили существенную разницу в плавлении гомологичных и гетерологичных комплексов [1].

Настоящая работа посвящена исследованию некоторых особенностей взаимодействия гомологичного гистона с ДНК методом илавления.

Материал и методика. В экспериментах использовали ДНК ТГ (тимуса теленкаты ЭК (эритроцитов кур). СЛ (сперим лысухи) и ПС (печени сазвие). ПЦ-пет. вазы 0.44, 0.42, 0.49, 0.39, соответственно, виделенные фенольным методом. Сомержите-белка и препаратах определяли по Лоури, оно составляло менее.

Нефракционированные гистопы (НФГ) ТТ и ЭК получали выделением из соответствующих тканей кислотной экстракцией по Джонеу [2] с последующим отделением от негистонового белка хроматографированием из карбоксимети шеялюли с (КМЦ), «Reanal» (Венгрия) и СМ-32 «Watman» (Англия) Чистоту гистоповых препаратов определяли гель электрофорезом по молифицированному Баршавским метолу Джонеа [3]. Концентрацию гистопон в растворе определяли по Лоуря, также спектрофотометрически, принимая поглощение раствора гистопа 1 мг/мл ранным 1.25 ОІ, при 230 им [4], а концентрацию ЛНК спектрофотометрически, принимая конфициент молярного поглощения подел 6600

Последуемые пренараты растворялись в 5-108- М фосфатиом буфере, pH 7,0. Все препараты перед употреблением диализировались при 4° в течение 48 час. при соотношении диализат/буфер = 1/1000.

Комплексосбразование между гистопом и ДНК проводили медлечным добавлением гистопа соответствующей коннентрации к раствору ДНК, при интенсивном перемешивании и весовых сротношениях гистоп/ДНК, равных 0,23, 0,5, 0,75, и 1,00. Режонструпрованияе комплексы приготовлядись граднентным диализом из 2 M NaCl.

Плавление ДНК и ее комплексов с гистонами проводили в герметически закрытых кюветах спектрофотометра СФ-4А, помещаемых в термостатическую ичейку с точностью термостатирования = 0.1°. Температуру в кюветах определяли с помощью медь-константановон термопары.

В экспериментах по плавлению комплексов гистонов с предварительно частично денатурированными молекулами ДНК комплексирование проводили в кюветах добавлением гистона соответствующей концентрации, предварительно нагретого до той же температуры, а растворы неремешивали в кюветах специальной мешалкой

Кривые плавления, прияслениые на рисунках, строили по изменению поглощения образнов при 260 им в зависимости от температуры; они представляют собой усредненные данные 6 экспериментов. Памерение поглощения образцов проводили спустя 8—10 мин после установления теплоного равновесия в кюветях. Для исключения позможных систематических ошибок, плавление комплексов ДНК с гистонами проводили одновременно с плавлением образца чистой ДНК.

Общую екрепочную активность (ОСА) определяли как интегральную площадь межлу криными плавления чисто: ДНК и ее гистоповыми комплексами при выбранных масштабах графика. Этот параметр позволяет определять суммарные изменения по всем интервале плавления и довольно сильно увеличивает чувствительность метода.

Эксперименты проводням и гомологичных (ДНК и гистоны выделены из одного источника) и гетерологичных (ДНК и гистоны выделены из развых источников) комплексах.

Результаты и обсуждение. Установленная нами ранее разница в плавлении гомологических (гом.) и гетерологических (гет.). ДНК-гистоновых комплексов, практически не наблюдаемая при весовом соотношении гистон/ДНК = 0.25. достигает максимума в интервале весовых соотношений 0.50-0.75 и практически исчезает при весовом соотношении 1.00.

При сопоставлении кривых плавления пуклеогистонов е одинаковым соотношением гистон/АНК наблюдаются более высокие температуры плавления (Тм) гетерологичных пуклеогистонов по сравнению с гомологичными (рис. 1).

Поскольку соотношение гистон/ДНК одинаково для обеих систем, то разницу в плавлении этих систем можно, вероятно, объяснить только неодинаковым распределением гистонов влоль молекулы ДПК при комплексировании. Это предположение подтверждается экспериментами по ренатурации денатурированных комплексов [1] и при определении свободных от гистонов участков в комплексах [5].

Увеличение понной силы приводит к смещению участка кривой плавления до ступеньки, из чего следует, что на этих участках плавятся практически свободные от гистопов отрезки ДНК. При определении температуры плавления этих участков, выявилась их обогащенность ГЦ-па-

рами, что хорошо согласуется с данными о предпочтительном взаимодеяствин гистонов с AT-богатыми участками ДПК [6—12] и др

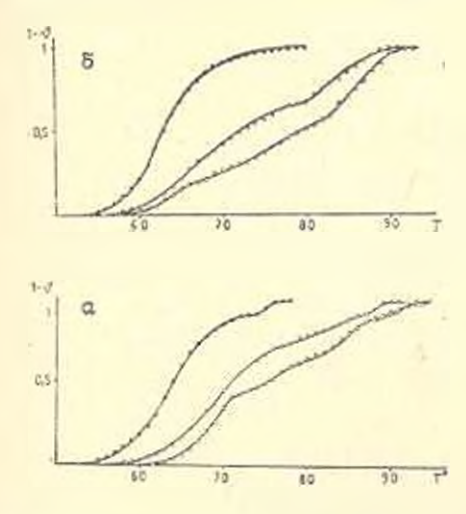


Рис. 1. Кривые пливления комплексов ДНК ТТ (а) и ЭК (б) с гистонами ГТ и ЭК при весовом соотношении гистон/ДПК=0,75. По оси абсинсс температура, по оси ординат относительный гиперхром. В—В—С —свободная ДПК. — Э—гомологичная системя. △—△— тетерологичная система.

Изменение ГЦ-состава плавящихся до ступеньки молекул ДНК в зависимости от соотношения гистоп/ДНК показано в габл. 1.

Таблица!
Записимость ГЦ-состава свободных от гистонов участков ДНК от соотношения гистон/ДНК

	дык тт				днк эк			
Соотношение гистон/ДНК	Тм		ГЦ-с	остав	TM		ГЦ-состав	
	гом.	гет,	rom.	rev.	rom.	гет	rom.	ret.
Своболная ДНК 0,25 0,50 0,75 1,00	64,0 64,5 65,5 69,0 73,0	64.0 65.5 67.0 70.0 73.5	0,44 0,45 0,47 0,54 0,62	0,44 0,47 0,50 0,56 0,63	63,0 63,5 65,0 67,0 70,0	63,0 64,5 65.0 70,5 71.0	0,42 0,13 0,46 0,50 0,68	0,42 0,14 0,48 0,56 0,60

Как видно из таблицы, максимальная разница меж ву ГП-составами свободных от гистонов участков гомологичных и гетерологичных комплексов наблюдается в интервале соотношений гистон/ДНК (0,50-0,75). Вероятно, это именно тот интервал, где избирательность взаимодействия проявляется максимально, поскольку количество листона относительно мало, и неспецифическое взаимодействие не маскирует специфическое. При низких соотношениях гистон/ДНК (0,25) общее количество гистонов недостаточно для выявления споцифичности, а при высоких (1.0) неспецифическое взаимодействие практически полностью маскирует специфическое. Аналогичная картина наблюдается при определении ОСА (табл. 2).

Таблица 2
Зависимость ОСА гистонов от ГП-состава ДНК (в условим единицах ОСА)

Гистон	ДНК ПС с ГЦ 0,39	дик э	K c I'Ll 0	,42	ДИК ТТ с ГЦ 0,44			ДНК СЛ с ГЦ 0,49
ДНК	rer. tuc- ton TT	тон ЭК	гет, гис- гои ТТ	7	гом. гис- тон ТТ	гет. гис- тон ЭК	7	rer, ruc- ton TT
0,25 0,50 0,75 1,00	20.4 41.5 77.1 59.3	14,3 24,7 45,1 66,7	17.6 40.6 65.5 77.9	3,3 15,9 20,4 9,2	10.9 13.7 38.0 70.8	15,8 30,9 55,2 73,0	4,9 17,2 17,3 2,2	9,5 17,0 30,6 45,2

Для исследования ОСА гистонов в зависимости от ГЦ-состава ДНК нами были проведены эксперименты по плавлению комплексов гетерологичных гистонов (гистон ТТ) с ДПК СЛ и ДНК ПС. Даниме этих экспериментов также приведены в табл. 2.

Пеуклонное повышение температуры плавления с увеличением соотношения гистон/ДНК и данные о предпочтительном взаимодействии гистонов с АТ-богатыми блоками ДНК приводят к выводу о главной роли АТ-последовательностей в специфическом взаимодействии.

В экспериментах с реконструированными днализом комплексами разность между кривыми плавления гомологичных и гетерологичных систем возрастает, что свидстельствует о более избирательном взаимолействии гистонов с ДНК.

Таким образом, эксперименты показали, что гистоны, комплексируясь с ДНК, оставляют свободными довольно большие участки, обогашенные ГЦ парами. Отсюда можно сделать естественный вывод, что разница, наблюдаемая в плавлении гомологичных и гетерологичных комплексов, обусловлена неодинаковым взаимодействием гистонов с АТ-богатыми участками ДНК.

Для исследования зависимости ОСА гистонов от ГЦ-состава ДНК нами были проделаны эксперименты по плавлению комилексов гистонов с частично денатурированными молекулами ДНК. Мы использовали факт линейного увеличения ГЦ-состава перасплавленных участков ДПК одновременно с увеличением гемпературы. Эксперименты были проведены с ДПК ТТ и ЭК, предварительно расплавленными до 60, 62, 64 и 66.

Как видно из результатов плавления, ОСА гисточов с повышением температуры предварительного расплавления ДНК уменьшается. Одновременно наблюдается резкое уменьшение разности между кривыми плавления гомологичных и гетерологичных комплексов. Если при 60° эта разница достигает значительной величниы, то при предварительном расплавлении до 66° она уменьшается или вовсе исчезает (табл. 3).

Записимость ОСА от температуры предпарительного расплавления ДНК (соотношение гистон/ДНК, 0,50)

7:		днк эк					дык тт				
	LII.	гом.	гет.	7	rer.	LIT.	гом.	гет.	7	rer.	
25 60 61 64 66	0,42 0,48 0,50 0,53 0,56	24,7 15,0 16,0 10,3 7,8	40.6 25.9 20.1 13.1 10.2	15,9 20,9 4,1 2,8 2,4	1,64 1,73 1,31 1,27 1,30	0,44 0,49 0,51 0,53 0,55	13,7 20,4 9,2 6,7 6,6	30,9 21,1 14,5 8,5 6,7	17,2 10,7 5,3 1,8 0,1	1,25 2,07 1,58 1,27 1,02	

Г' -температура предпарительного планления ДНК до добавления гистона ГЦ*—расчетный ГЦ состав перасплавленных участков.

Нами были проведены также эксперименты по плавлению комплексов истонов с ренатурированными до 0° из точки плавления молекулами ДНК. На рис. 2 видно, что несмотря на ренатурацию разница между томологичными и гетерологичными комплексами практически отсутствует, а плавление сходно с плавлением комплексов, приготовленных с предварительно расплавленной ДНК.

Полученные результаты дают основание полагать, что гомологичные и гетерологичные гистоны по-разному взаимодействуют с молекулами ДНК Одновременно наблюдается выраженная двухфазность плавления; первая фаза соответствует плавлению свободных, а вторая — комплексированных участков.

Гистоны, предпочтительно связываясь с АТ-богатыми участками, увеличивают средний ГЦ-состав свободных участков [6—12]. Труднее интерпретировать наблюдаемую разнипу в плавлении гомологичных и тетерологичных комплексов. Более высокий уровень ступеньки в гомологичной системе свидетельствует о большей кооперативности во взаимодействии гистонов с ДНК.

Вероятно, гомологичные гистоны при добавлении к ДНК предпочтивельно взаимодействуют с участками, уже заиятыми гистонами, оставляя большинство блоков ДНК свободными от гистонов до определенной концентрации, а гетерологичные гистоны взаимодействуют даже с АГ-последовательностями ГЦ богатых блоков, болсе равномерно распределяются по ДНК и тем самым увеличивают ГЦ-состав свободных участков на большую величину, чем гомологичные [7] (табл. 1).

Поскольку в настоящее время достаточно однозначно показано, что первая фаза плавления соответствует чистой ДПК [8, 11—13], то посредством определения ее Тм можно с достаточной точностью вычислить 1 Ц-состав свободных от гистонов участкое

При повышении понной силы первая фаза плавления смещается в область высоких температур, а разница между гомологичными и гетеромичными комплексами уменьшается. Возможно, в этом случае исчезает ряд факторов, ответственных за специфическое взаимодействие гистонов с ДНК. Вероятнее всего это изменение В-конформации ДНК пли

деформация молекулы на отдельных, возможно, АТ-богатых участках, или и то и другое.

Значительный интерес представляет зависимость ОСА от ГЦ-состава ДНК. Сравнивая полученные результаты по илавлению комплексов гистонов с ДНК различного ГЦ-состава в гетерологичных системах, можно обнаружить следующую закономерность: скрепочная активность гистонов линейно возрастает с уменьшением ГЦ содержания. Эта закономерность наблюдается при всех соотношениях гистон/ДНК и подтверждает предпочтительность во взаимодействии гистонов с АТ-богатыми участками ДНК. Труднее объяснить пересечение полученных для различных соотношений гистон/ДНК прямых в одной гочке, соотнетствующей ГЦ содержанию в 56—57% (рис. 2)

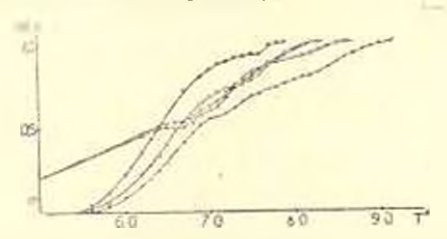


Рис. 2. Плавление комплексов гистонов ТТ и ЭК с репатурированными вточки Тм молекулами ДНК ТТ, при весовом соотношении гистон/ДНК = $0.50.^{\circ} - \bigcirc - \bigcirc - \Box$ -ДНК ТТ, $\bigcirc - \bigcirc - \bigcirc - \Box$ -ДНК ТТ+гис. ТТ, $\triangle - \triangle$ -ДНК ТТ + гис. ЭК $\bigcirc - \bigcirc - \Box$ -ДНК ТТ реп. — гис. ТТ. \triangle -ДНК ТТ реп. — гис. ЭК.

На наш взгляд, это указывает на то, что для комплексирования гистонов с ДНК необходимо минимум четыре АТ, из каждых десяти взаимодействующих с гистонами пар оснований. Результаты, полученные при плавлении комплексов гистонон с частично денатурированными молекулами ДНК, хорошо согласуются с полученными прямыми и подтверждают данное предположение.

Эксперименты по плавлению комплексов гистонов с ренатурированными молекулами ДПК показывают роль ренатурированных участков и специфическом взаимодействии.

Несмотря на ренатурацию, разница между плавлениями гомологичных и гетерологичных систем практически отсутствует. Поскольку разница в ОСА между системами в данном случае оказывается больше, чем лля неренатурированион. ДНК (2,4 вместо 1,8), то можно рассчитать вклад ренатурированных участков и увеличении ОСА.

Из экспериментой следует, что за основную долю специфичности (около 80%) ответственны участки ДНК с АТ содержанием 65—100% (уровень ренатурации из Тм — 64° — 20%, Тм репатурированных участков — 57,5, АТ содержание 65 — 100%), а на участки с АТ содержанием 47 — 65% приходится 20% специфического взаимолействия (2.4 сд. ОСА из 16).

Таким образом, особенности во взапмодействии гомологичных гистонов с ДНК являются не артефактом, а результатом специфического

взаимодействия. В реконструированных пуклеогистонах специфичность как и кооперативность взаимодействия гистонов выражена гораздо сильнее. Специфичность проявляется вследствие большей кооперативности при взаимодействии гомологичных гистонов с ДНК, что приводит к менее равномерному распределению гистонов в гомологичной системе и отражается на кривых плавления.

Ереванский госудирственный упиверситет, кафедра биофизики

Ноступило 27.IX 1977 г.

ՀՈՄՈԼՈԳ ԵՎ ՀԵՏԵՐՈԼՈԳ ԳԵԹ-ՀԻՍՏՈՆԱՅԻՆ ԿՈՄՊԷԵՔՍԵԵՐԻ ՀԱԼՄԱՆ ՀԵՏԱԶՈՏՈՒԹՅՈՒՆԵԵՐ

Գ. Հ. ՓԱՆՈՍՅԱՆ, Հ. Ռ. ՎԱՐԳԱՊԵՏՅԱՆ, Պ. Հ. ՎԱՐԳԵՎԱՆՅԱՆ

Ստացվել և ուսումնասիրվել է Հոմոլոց և հետերոլոգ սիստեմներում ԴՆԹ-հիստոնային կոմպլեբոների հայման կորերի տարբերությունը, որը թույլ է նշմարված հիստոն-ԴՆԹ 0,25 կշոային հարարերություններում, հասնում է մարսիմումի 0,50—0,75 հատվածում և գրեքն չի նկատվում 100 հարաբերություններում։

Քարդ հայման կորերի անալիզը դգալիորին հետադոտվում է մեր մշակած ընդհանուր ամրակային ակտիվություն որոշող պարաժետրի օգնությամբ (Է Ա Ա)։ Հիստոնների Է Ա Ա կախվածությունը ԳԵԹ-ի ԳՑ պարունակությունից ունի գծային ընույթ և արտացոլում է հիստոնների խնամակցությունը ԳԵԹ-ի ԱՏ հարուստ հատվածների նկատմամբ։

INVESTIGATION OF DNA MELTING WITH HOMOLOGIOUS AND HETEROLOGIOUS HISTONES

G. H. PANOSYAN, H. R. VASDAPETYAN, P. H. VARDEVANYAN

The parameters of DNA CT and CE melting with homologious and heterologious histones have been investigated. Change of total fastening activity and other parameters of melting may be observed with the increase of the amount of histones.

The dependence of DNA histone interaction on G-C composition of DNA and partial denaturation of DNA has also been shown.

The obtained results show that there is certain specifity in the interaction of homologious histone with DNA.

ЛИТЕРАТУРА

- Бардапетян Р. Р., Карапетян А. Т., Наносян Г. А. Биологический журнал Армении, 27, 8, 29, 1974.
- Johns E. W., Philips D. M. P., Simons P., Butler I. A. V. Biochem. J. 80, 189 1961.
- 3. Варшавский А. Я., Микельсаар У. И., Ильин Ю. В. Молек. бпол., 6, 4, 507, 1972.
- 4. Ohlenbubush H. H., Olivera B. M. J. Mol. Biol., 25, 229, 1967.
- Вардапетян Р. Р., Паносян Г. А., Хачатрян А. Г. Биологический журнал Армении, 30, 7, 39, 1977.

- 6. Leng M., Felsenfeld G. Proc. Nat. Acad Sci. USA, 56, 1325, 1966.
- 7. Gottesfeld J. M., Melvin C. R., David C. R., David M. R., Vivian M., Willam V. Biochemistry, 11, 8, 1422, 1972.
- 8. Shih T. Y., Bonner J. J. Mol. Biol., 48, 3, 469, 1970.
- 9. Renz M. Proc. Nat. Acad. Sci. USA, 72, 733, 1974.
- 10. Sponar J., Sormova Z. Eur. J. Blochem., 29, 99, 1972.
- 11. Li H. J. Biopolymers, 11, 4, 835, 1972.
- 12. Subtrana Y. A. J. Mol. Biol., 74, 363, 1972.
- 13. Leffak M., Hwan J. C., Shih T. Y. Blochemistry, 13, 6, 1116, 1974.

XXXI, 7, 1978

УДК 577.3

ПОГЛОЩЕНИЕ ИОНОВ КАЛИЯ КЛЕТКАМИ STREPTOCOCCUS FAECALIS И ESCHERICHIA COLI

С. С. ДУРГАРЬЯН, С. М. МАРТИРОСОВ, Л. С. ПЕТРОСЯН

Изучались особенности обмена новов волорода клетки на ноны калия среды у грамналожительных бактерий Streptococcus faecalis ВКМ В-602 и грамотрицательных бактерий Esherichia coli К-12 (д). Установлены зависимости величии в скоростей поглошения налия и секрещии протонов от свойсто висшией среды. Экспериментальные результаты находят наиболее полное объясиение, если допустить существование активной вккумулянии понов калия бактериями.

Транспорт протонов играет важную роль в трансформации энергии п секреции кислоты у микроорганизмов. Сейчас накопилось большое количество данных, доказывающих наличие протонных насосов в мембранах этих объектов [1]. Значительно хуже изучена природа поглощения калия у микроорганизмов, где эти ионы играют важную роль в регулявин осмотического давления клеток. Для грамположительных бактерий предполагается, что их протонный насос является электрогенным и в нервод своей деятельности генерирует разность потенциалов на мембране в (-200) мв. а ноны калия по градиенту этого поля втягиваются в клетку, распределяясь пассивно между бактериями и средон [2]. Для грамотрицательных организмов допускалось, что насос электронейтрально обменивает один протон клетки на один-пон калия среды с затратой энергии АТФ, что приводит к накоплению нонов калия [3]. Кроме того, в отношении E. coli установлено, что насос яключается и ответ на изменение осмотического давления среды [4, 5]. Более детальный анализ показал, что, по-видимому, у Е. coli через насос переносятся два нона волорода из клетки в среду и один ион калия в обратном направлении, следовательно, он в данном случае электрогенен [6]. Таким образом, ноиски доказательств в пользу активного поглощения нонов калия бактериями в настоящее время становится целесообразными. Экспериментальные данные настоящей работы легче интерпретируются с точки зрения внергозависимого поглощения калия.

Материал и метобика. В опытах использовались бактерии Streptococcus faecalis ВКМ В-602 и Esherichia coli К-12 (7). Культуры хранились на косяках рыбохостного агара под слоем вазелинового мясла при температуре 3—5° и ежемесячно пересевались. Ростовая среда, в которой ныращивались Е. coli до поздией стационарной фазы (46—52 час.) при 37° без авращия, представляет собой воляый раствор 2%-го пентона, 0,5%-го NaCl. 0,2%-го К₂НРО₄ и глюкозы.

Условия выращивания St. Постые описывались ранее [7].

Бактериальные клетки осяждались центрифугированием и течение 20 мин при $a=3\,600\,\mathrm{g}$, отмывались и вновь осаждались при тех же условиях центрифугирования, 2 мл сконцентрированиой бактериальной суспенани вносилось в 18 мл экспериментального растаора, основу которого составляли фосфатный буфер (H_3PO_4 и $C_4H_{11}NO_4$), элориды халия и натрия и сульфат магния. Источники питания—глюкоза или молочная кислота—добавлялись по мере необходимости. В течение всего опыта экспериментильная ячейка находилась в контролируемых термостатических условиях (12, 25 и 37°).

В качестве отмывочных растворов использовались дистиллированная пода и растворы сахарозы различных концентраций.

Если бактерии переносятся из одной среды в другую с той же товичностью, такой перенос является изотоническим, а осмотический шок, испытываемый клеткими, равен пулю. При переносе бактерий па среды с более инэким и среду с более высоким осмотическим давлением клетки подвергаются положительному осмотическому шоку. Если топичность второй среды меньше, чем первой, клетки испытывают отрицательным осмотический шок.

Осмотичность растворов определялась расчетами.

Концентрация бактерий и 1 мл жидкой среды определялась пысевом бактерий ил твердые питательные среды с последующим подсчетом колоний. В процессе подготовки концентрация бактериальной суспензии возрастала в 20 раз. Такля высокая концентрация бактерий, близкач к М-титру, исключает деление клеток и обеспечивает постоянство их числа, что подтверждалось специальными тестами [8]. Кроме того, было установлено, что в процессе центрифугирования и отмывок, ведущих к созданию различных осмотических шохов, клетки не погибают. Такого рода проверки исключают изиможность зависимости помещения активности понов во пневшей среде от изменения числа влеток в популяции.

Изменение активности И г. К п Ка + во внешней среде регистрировалось потенциометрическим метоком с помощью катконселективных электродов, как описано ранее [7].

Для клеток Е сой количество глюкозы в ростовой среде имело существенное значение. Концентрации глюкозы в ростовой среде 55 мМ ингибирует поглощение калия—скорость и общее его ксличество—по сраинению с 22 мМ глюкозы, когла калии не только быстрее поглощеется, но и удерживается клетками.

Так как целью нашей работы было исследование двухфилного поглошения калия у Е. сой, клетки выращивались в ростоной среде с 15 мМ глюкозы (рис 1). В некоторых опытах и качестве источника питания непользовалась молочная кислота При этом бактерии специально не адаптировались к новому виду источника вперсии.

Результаты и обсуждение. Поглощение калия и осмотичность среды. В присутствии глюкозы бактерии секретируют кислоту и поглощают коны калия. Характер поглощения нонов калия у клсток Е. coli определяется осмотическим шоком, которому они подвергались при переносе из отмывочного раствора в экспериментальный. Зависимость поглощения калия клетками Е. coli от времени при разных осмотических переносах представлена на рис. 2. На всех кривых можно выделить две фазы, из которых нервая имеет продолжительность 5—7 мия и опредсляется величиной осмотического шока. Характериым для этой фазы является постоянство скорости поглощения калия в первые минуты и постепенное удлинение се (смещение ников впрано) с увеличением осмотического шока. Две нижние кривые (—55 мосМ и—115 мосМ) соответствуют отрицательным осмотическим шокам. В этих двух случаях поглощение в первой фазе заменяется истечением калия из клеток. Кривые

«+80 мосМ» и «—180 мосМ» можно рассматривать как переходные случан.

С пятой по двадцатую минуту у анаэробно выращенных E. coli в щелочных средах наблюдается истечение калия [5].

Вторая фаза поглощення калня является более растянутой, не зависит от величины осмотического шока и наблюдается во всех описанных случаях. Создается впечатление, что общая кривая кинетики поглощения калня является суперпозицией двух кинетических процессов, а, возможно, и двух режимов работы мембранной транспортной системы у осмочувствительных бактерий. Шулыц, Эпштейн и Соломон предположили наличие у Е. coli двух систем, обеспечивающих протонно-калиевый и калий-натриевый обмен [9]. В наших же опытах не было зарегистрировано шикакого перемещения нонов натрия у Е. coli как при положительном, так и при отрицательном осмотических шоках.

Совершенно иной характер поглощения калия, сопровождающийся секрецией кислоты, наблюдается у осморезистентных клеток St. faecalis. Этот процесс происходит в одну фазу и может повторяться много часов нодряд при повторных добавках глюкозы в среду [7].

Источники энергии и рН среды. Кривые 1 и 2 (рис. 3) иллюстрируют случай, когда клетки Е. coli, подвергнутые одному и тому же положи-

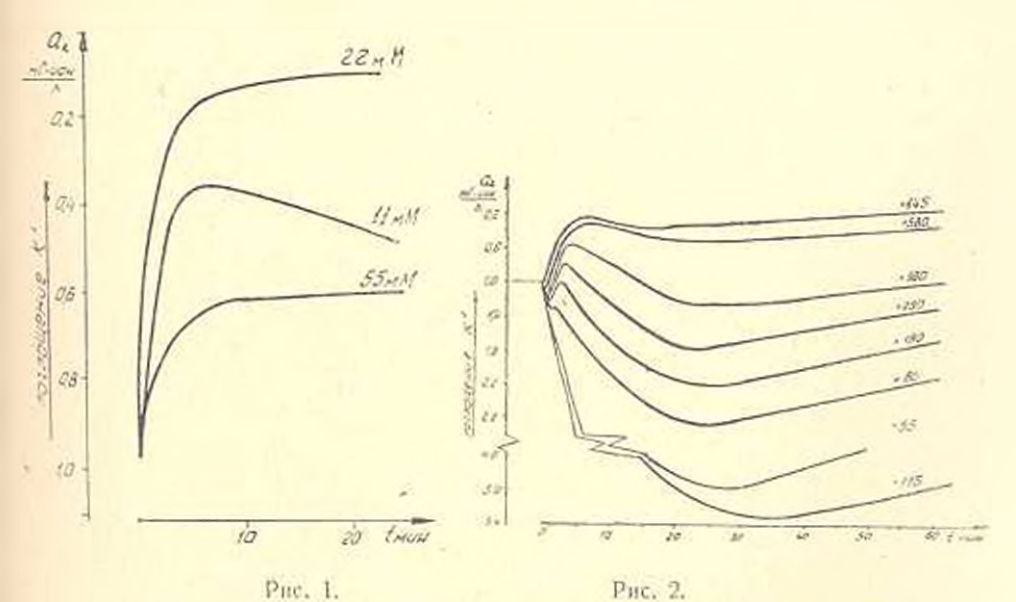


Рис. 1. Особенности кинетики энергознансимого поглощения калия клетками E. coli в зависимости от количества глюковы в ростовой среде; $a_{\rm g}$ — активность нонов калия в среде, pH 7,5.

Рис. 2. Изменения активности попов калия в экспериментальной среде для клеток Е. сой, подвергнутых различным осмотическим шохам. Начальная активность калия в экспериментальной среде 1 мг-нон/л, рН 8,0, содержание глюковы 50 мМ. Положительные значения нараметра Δ_{oc} , соответствуют положительному осмотическому шоку, отрицательные—отрицательному. Ростовая среда содержит 11 мМ глюковы.

тельному осмотическому шоку (+580 мосм), перепосятся в глюкозими среды, отличающиеся только рН. При более инэком рН (6.5) калий повлощается и удерживается клетками (кр. 1); при рН 7,5 различаются две фазы поглощения, разделенные фазой выхода калия из клеток (кр. 2) Однако начальные скорости энергозависимого поглощения калия пра разных рН равны. Если во внешней среде отсутствует источник энерги. то пассивное истечение кадия при одинаковых значениях рН определямся тоничностью экспериментального раствора (кр. 3 и 5). При осмотиченком давлении висшией среды, равном 425 мосМ (кр. 5), наблюдается довольно длительный выход калия, тогда как при тоничности 900 мосМ (кр. 3) почти меновенно изступает равновесне. В начальный период скорости пассивного истечения калия совпадают. Гораздо большую ролья: удержании клетками калия играет pll наружной среды, что хорошт видно при сравнении кр. 4 с кр. 3 и 5. Благодаря более низкому значеиню рН, равному 6,5, калий почти не покидает клетки, хотя величив тоничности экспериментального раствора занимает промежуточное положение. Во всех приведенных случаях бактерии отмывались в дистилированной воде, поэтому величина осмотического шока совпадает с тоничностью раствора. Добавка глюкозы вызывает секрению протона! я поглощение понов калия.

Если экспериментальная среда вместо глюкозы содержит молочиры кислоту, то у клеток Е. coli при положительном осмотическом шоке и рН 7.5 наблюдается периая фаза поглощения калия, хотя и сильно отличню ощаяся по величине от первой фазы при глюкозозависимом поглощении Наиболее существенным является полное отсутствие второй фазы (кр. 6 рис. 3).

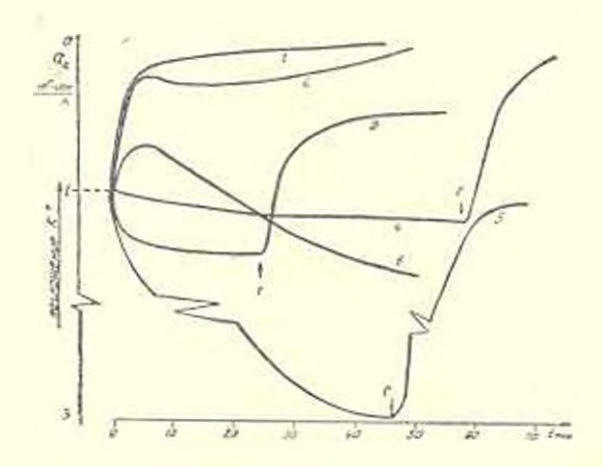


Рис. 3. Влияние рН среды и ее тоничности на удержание калня клетками E. coll в врисутствии глюкозы (кр. 1 и 2), молочной кислоты (кр. 6) и без источников питания в среде (кр. 3, 4 и 5). Начальная активность калня в среде—1 мг-ион/л. Кр. 1 и 2: начальное значение пП среды 6,5 и 7,5 соответственно, осмотический шок +585 мосМ. Кр. 3 и 5 начальное значение рН среды 7,5, осмотический шок +900 и +425 мосМ. Кр. 4: осмотический шок +650 мосМ, рН 6,5. Кр. 6: иместо глюкозы в эксперимеятальной среде содержится 30 мМ молочной кислоты, рН 7,0.

Из рис. З видно, что поглошение калия у Е. coli. так же как и у St-laecalis, может иметь место только при паличии в среде источника энергии [7]. Несмотря на различия в свойствах бактерий—осмочувствительных Е. coli и осморезистентных St. faecalis—общим является факт энергозависимого обмена протонов клетки на ноны калия среды.

Зависимость от (ак)_п. Характер зависимости скорости перекоса пона через мембрану от его активности в паружной среде может содержать в себе косвенную информацию о природе переноса. Эпштейн и Шульц на клетках Е. coli, подвергнутых гипертоническому шоку, показали, что начальная скорость поглощения калия в области концентраций калия во внешней среде от 0,16 до 8,0 мг-пон/л подчиняется кинетике Михаэли са-Метена, с максимальной скоростью 10 пМ/см²-сек [4]. Насыщение наступает в области 5—6 мг-кон/л калия во внешней среде.

Качественно похожие результаты получены нами при анализе днаграмм, приведенных на рис. 4а. Кинетика поглощения калия записывалась при содержании калия во внешней среде, равном 1, 3, 5 и 10 мгнон/л. Начальный поток калия, направленный и клетку, возрастает с увеличением концентрации его во внешней среде и достигает насыщения в области 5 6 мг-нон/л, что совпалает с данными Эпштейна и Шульца [4]. Однако в нашем случае величина потока насыщения составляет 4000 пМ/см²-сек.

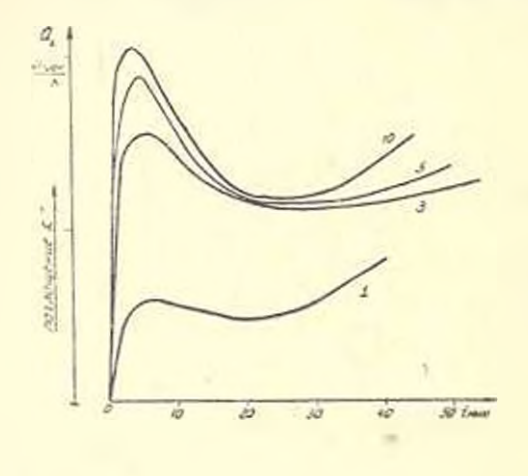
Если бы ноны калия поступали в клетку по градненту электрического поля, генерируемого на мембранах бактерий в присутствии глюкозы [10—12], например благодаря деятельности протонного насоса, то проводимость для калия g_{κ} была бы, согласно законам электродиффузии, пропорциональна активности этих нонов в среде

$$g_R = \frac{p_R F^3 \mathbb{E} \left(a_K\right)_\alpha}{R^2 T^2 \left(1 + e^{-F E_2 R T}\right)} \, , \label{eq:gradient}$$

где E — трансмембранный потенциал, $(a_K)_n$ — активность калия в наружной среде, p_K — проинцаемость мембран бактерий к нонам калия. R, T и F — газовая постоянная, абсолютная гемпература и число Фарадея. В этом случае увеличение концентрации калия во внешней среде должно было бы вызвать пропорциональное увеличение величины потока.

Насыщение может наблюдаться только в том случае, когда перенос калня через мембрану связан с некоторыми отдельными ее элементами, число которых, естественно, ограничено.

Для второй фазы поглощения у E. coli на 20—21-й минутах величина потока липейно возрастает с возрастанием концентрации калия во внешней среде от 0,2 до 4,0 мг-нон/л (рис. 4б). Эта область измерений недостаточна для определения характера зависимости потока калия от (ак)». Существенным является тот факт, что максимальная величина потока (100 пМ/см²-сск) во второй осмонечувствительной фазе во много раз меньше, чем в осмочувствительной фазе, согласно нашим результатам, но хорошо совпадает с данными Эпштенна и Шульна для осмочувствительной фазы у E. coli [4]. Возможно, в мембранах Е. coli имеются две системы для регуляции распределения ионов между клеткой и средой, выявляемые в эксперименте как две фазы: осмочувствительная и осмонечувствительная. Не исключена и другая возможность. Одна и та же система работает в раз-



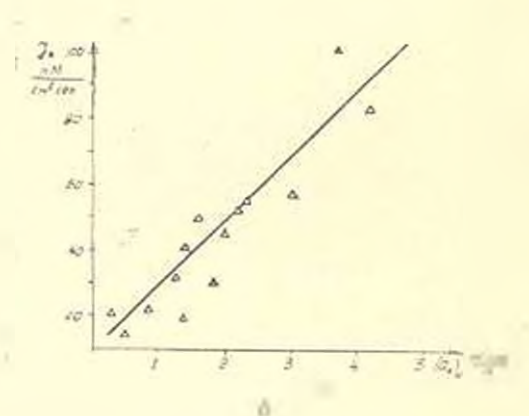


Рис. 4а. Поглощение ионов кажия клетками Е, сой при различных илчальных активностях калия в среде, равных соответственно 1, 3, 5 и 10 мг-ион/л; во всех случаях осмотический шок равен +485 мосм, начальное значение рН среды 7,5. Рис. 46. Зависимость направленного в клетку потока от его активности в паружной среде в период второй фазы поглощения калия у Е, сой; рН экспериментального раствора 7,5. Кяждый треугольник соответствует одному намерению.

ных режимах в зависимости от потребностей клетки. В стрессовом состоянии, когда клетка подвергается значительному перепаду осмотических давлений внешней среды, система работает с максимальной скоростью. А в состоянии равновесия та же система с меньшими затратами энергетических ресурсов клетки просто обеспечивает жизнедеятельность организма.

В отношении St. faccalis не наблюдалось какой-либо заметной разницы в скорости поглощения нонов калия в зависимости от их концентрации во внешней среде.

Действие валиномицина. Известно, что валиномиции увеличивает проинцаемость мембран для нонов калия. Нами проверялось его действие на характер поглощения калия как в отношении St. faecalis, так и E. coli. В ранее выполненных экспериментах изучалось влияние валиномицина на поглощение калия без учета возможного воздействия его на мембранный потенциал [2, 13]. В наших опытах действие валиномицина

проверялось на пассивном и активном перемещении нонов калия. И у St. faecalis, и у E. coli он увеличивает скорость пассивного истечения квлия (рис. 5а), создавая в бактериальных мембранах каналы проводи-

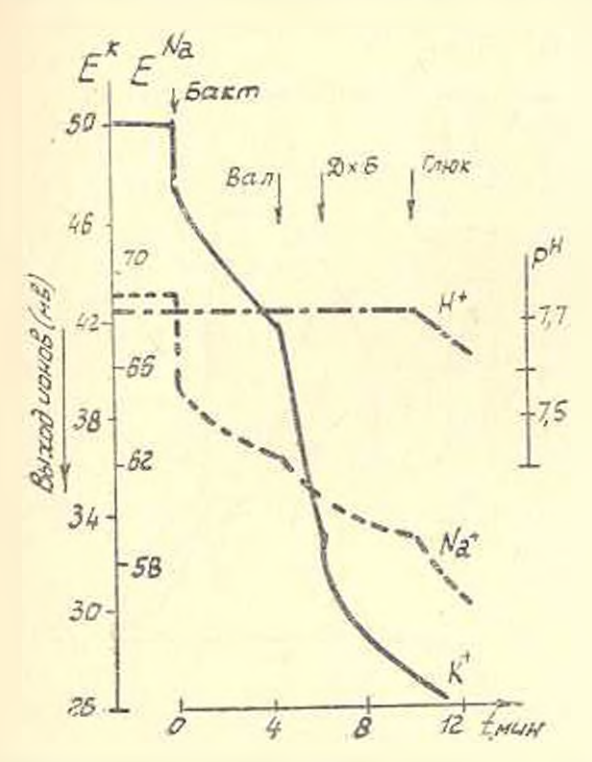


Рис. 53. Действие валиномицина на нассивное истечение калия на клеток St. faecalis, pH 7.7, начильняя активность калия в среде 1 мг-нон/л; конечные концентрации валиномицина 10⁻⁷ М. ДХБ (декахлор—о—харборан)—5×10⁻⁵ М. Приведены одновременно записанные изменения активности понов 11+ и Na⁺¹. Стрелками указаны добавки: бактерии, вазмномиции, ДХБ и глюкоза.

мости для калия. Действие валиномицина на активное поглощение калия клетками St. faecalis показано на рис. 56: поглощение калия сменя ется его истечением. На клетки E. coli действие его проявляется в некотором уменьшении скорости поглощения без изменения направления движения нонов. Действие валиномицина на клетки E. coli не во всех случаях проявляется однозначно, особенно при его апиликации после первой фазы [14]. Это может иметь место, если он не всегда способеи встраиваться в бакриальную мембрану и служить электрическим шунтом.

Волее подробно проанализируєм действие валиномицина на свойства мембраны, определяющие понный обмен между клеткой и средой.

Если при введении валиномиции величина мембранного потенциала Е не изменяется, то, благодаря увеличению пассивной проницаемости мембраны, скорость проникновения понов калия в клетку по градиенту электрического поля должиа возрастать [10—12]. Несколько более сложным представляется случай, когда валиномиции увеличивает проницаемость мембраны ρ_K , но при этом одновременно уменьшается мембранный потенциал E. Так как ρ_K и E не являются независимыми величинами, а связаны между собой следующим образом: E = I (fn ρ_K),

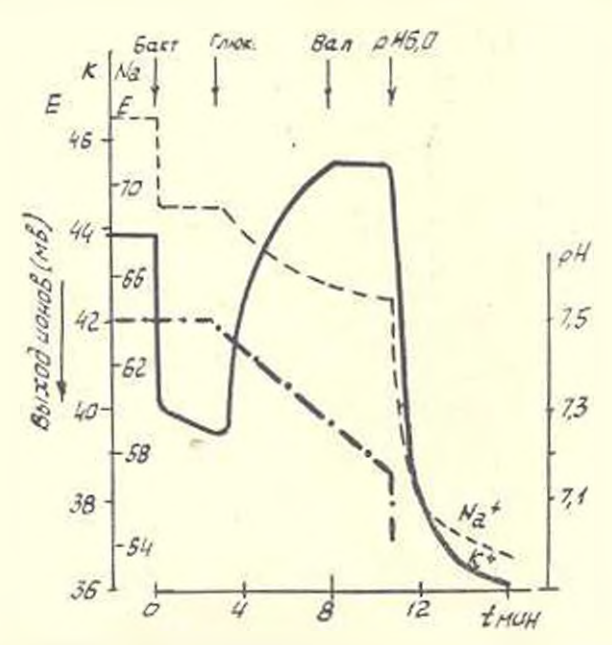


Рис. 56. Действие валиномицина на энергозависимое поглощение калия и присутствии глюкозы у St. Iaecalis, pH 7.5, начальная активность калия в среде 1 мг-ноп/л; консчиая концентрация валиномицина 10—7М. Одновременно записано наменение активности H+ и № + в наружной среде. Стрелками указаны добавки: бактерии, глюкоза, валиномиши и концентрировянная HCl.

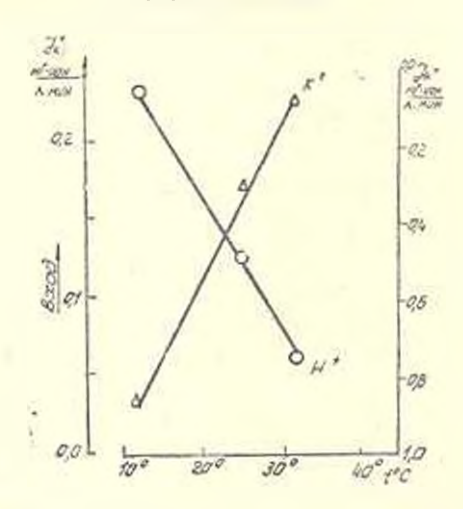


Рис. 6. Зависимость скорости секрении Нт и поглощения К+ у St. faecalis от температуры экспериментальной среды. Начальная активность калия—1 мг-нои/л, рН 7,1. Каждый знах—среднее значение пяти измерений. Ошибка не превышает размер знака.

то проводимость мембран в будет определяться ее проницаемостью в большей степени, чем изменение Е. Увеличение $p_{\rm K}$ скажется на потоке в большей степени, чем уменьшение Е. Таким образом, если калий поступает в клетку по градиенту электрического поля, то при одновременном уменьшении Е и увеличении $p_{\rm C}$ поток калия в клетку должен возрасти, что противоречит нашим опытам (см. [14], а также рис. 5).

Рассмотрим, наконец, энергозависимое поступление понов калия в клетку с помощью протопно-калиевого насоса [3, 6]. Ионы калия непрерывно и с постоянной скоростью, определяемой работой протонно-калиевого насоса, поступают в клетку. Покидают же клетку они нассивно, и скорость этого процесса определяется проинцаемостью мембраны. Регистрируемое в опыте поглощение калия является, таким образом, сумной двух противоположно направленных процессов. Накопление значительных концентраций калия в клетках бактерий возможно, если поступающий по электрическому полю калий почти весь связывается и становится неактивным, или если поны калия закачиваются в клетку с помощью понообменного протонно-калиевого насоса. В первом случае присутствие валиномицина должно ускорить пропесс поглощения калия по электрическому полю, а во втором — замедлить его из-за более ускоренного одновременного истечения его из клетох. Именно этот факт и отмечался в наших опытах.

Зависимость от температуры. Снижение температуры экспериментального раствора должно вести как к уменьшению скорости гликолиза, так и скорости секреции кислоты. Легко показать, основываясь на анализе потоков, что не болес 25% АТФ клетки затрачивается на активную секрецию Н + [6]. Следовательно, и при умеренных температурах (10—20°) клетки будут иметь возможность транспортировать поны Н через насос и генерировать разность электрических потенциалов на мембране. Если калий входит в клетку по градненту электрического поля, то скорость его поступления не должна изменяться. Однако из рис. 6 следует, что скорость поглощения калия в 5 раз падает. и, по-видимому, здесьимеет место не простая диффузия.

Ереванский физический институт ГКИАЭ

Поступнию 28.11 1978 г.

ԿԱԼԻՈՒՄԻ ԵՈՆՆԵՐԻ ԿԼԱՆՈՒՄԸ STREPTOCOCCUS FAECALIS ԵՎ ESCHERICHIA COLL ՔՋԻՋՆԵՐԻ ԿՈՎՄԻ8

Ս. Ս. ԳՈՒՐԳԱՐՑԱՆ, Մ. Մ. ՄԱՐՏԻՐՈՍՈՎ, Լ. Ս. ՊԵՏՐՈՍՅԱՆ

Ուսումնասիրվել են St. iaecalls BKM B-602 դրամգրական մանրէների և E. coll K-12 ().) դրամբացասական մանրէների մոտ բջջի ջրածնի իռնների՝ միջավայրի կալիումի իռններով փոխանակման առանձնահատկությունները։

մահատարատան են կալիումի կլանման և արտաղահակարական և արտաղատան և մահուկուննությունները արտագին մի և արտարան և արտագին միականան և արտագին միանանությունները արտագին միանագ

ջավայրի ճատկունյուններից՝ էներդիայի աղրյուրներից, օսմոտիկու<mark>նյունից,</mark> Քնվայնունյունից, կալիումի ակտիվունյունից, վալինո<mark>միցինի և պրոտոնո-</mark> Ֆորի առկայունլունից։

Փորձնական արդյունքները ստանում են առավել լրիվ բացատրություն, եթե ենքադրել մանըվների կողմից կալիումի իոնների ակտիվ ակումուլյացիայի դոյությունը։

POTASSIUM ION ACCUMULATION BY THE CELLS OF STREPTOCOCCUS FAECALIS AND ESCHERICHIA COLI

S. S. DURGARIAN, S. M. MARTIROSOV, L. S. PETROSYAN

Peculiarities of exchange of hydrogen ions from cells for external potassium ions by grampositive and gramnegative bacteria Strepto-coccus faecalis BKM-602 and Escherichia coli K-12 (1) have been investigated.

Dependence of the value and rate of potassium uptake and hydrogen secretion on the properties of external medium has been estimated

The experimental data obtain a most complete explanation it we issume the existence of active potassium accumulation by bacteria.

JIHTEPATYPA

- 1. Harold F. M. Bacterial. Rev., 36, 172, 1972.
- 2. Harold F. M., Buarda J. R., Pavlasova E. J. Bact., 101, 152, 1970.
- 3. Epstein W., Schultz S. G. In Microbial protoplasts, spheroplasts and L-form L. B. Guze (ed.) 186 The Williams and Wilkins Co., Baltimore, 1968.
- 4. Epstein W., Schultz S. G. Jour. Gen. Physiol., 49, 221, 1965.
- Ализанян М. А., Мартиросов С. М., Петросян Л. С. ДАН АрмССР, 57, 94, 1973.
- 6. Durgaryan S. S., Martirosov S. M. Bloelectrochemistry and Bloenergetics, 5, 561, 1978.
- 7. Алиханян М. А., Мартиросов С. М., Петросяч 7. С. Биологический журнал Аривин, 26, 27, 1973.
- 8. Мейнелл Дж., Мейнелл Э. Экспериментальная микробиология. М., 1967.
- 9. Schultz S. G., Epstein W., Solomon A. K. Jour. Gen. Physiol., 47, 329, 1963.
- 10. Hirata G., Altenendorf K., Harold F. M. Proc. Nat. Acad. Sci USA. 70, 1804, 1973.
- 11. Griniuolene B., Chmieliauskaite V., Teluvdas V., Dzheja P., Grinius L. Bioenes-getics, 7, 17, 1975.
- 12. Harold F. M., Papineau D. J. Tembrane Biol., 8, 27, 1972.
- 13. Горнева Г. А., Рябова И. Д., Фанзова Г. СБ.: Биофизика мембран, 1, 318, 1971.
- Durgaryan S. S., Martirosov S. M. Bioelectrochemistry and Bioenergetics, 5, 554, 1978.

XXXI, 7, 1978

УЛК 577.352.€

ОУАБАИН-НЕЧУВСТВИТЕЛЬНЫЕ ПОТОКИ НАТРИЯ

т. г. амбарцумян, с. я. адамян

На основании литературных данных об оуабани-нечувствительных потоках натрия состроева и рассчитана модель системы, осуществляющей этот транспорт. Получены качественные кривые, отражающие зависимость потоков натрия от внешиси и внутри-клегочной концентрации натрия и АТФ. Такой набор кривых позволит в дальнейшем кутем сопоставления их с экспериментальными данными найти пути усовершенствования схемы с целью более точного описания процессов, лежащих в основе оуабани-не-чувствительного транспортя нопов.

Исследование противоградиентного переноса понов представляет интерес для понимания механизма поддержания понного гетерогенитета клетки. Известно, что за противоградиентный сопряженный транспорт нонов натрия и калия ответственен натриевый насос, представляющий собой АТФазу, активируемую понами натрия и калия, потребляющий энергию гидролиза АТФ и угнетаемый специфическим ингибитором Na · K-АТФазы-оуабанном. Разработан ряд моделей, объясняющих пути работы оуабани-чувствительного насоса [1—4]. По данным Гаррахана с соавторами [5], одна и та же система ответственна за оуабани-чувствительные Na: К и Na: Na обмены, значимость каждого из которых зависит от отношения АТФ/АДФ · Р_и [6].

Помимо оуабани-чувствительного Na:Na обмена, существует и оуабани-нечувствительный Na:Na обмен, который подробно исследован на эритропитах [7—15]. Впервые он был обнаружен на эритроцитах человека Любовицем и Виттемом [16]. В присутствии оуабанна выход нонов натрия против электрохимического градиента оказался значительно выше расчетного диффузионного потока. Для объяснения этого явления пришлось предположить существование переносчика. Относительно механизма оуабани-нечувствительных потоков натрия есть две точки эрения, причем имеются доказательства как в пользу первой, так и второй гипотезы: оуабани-нечувствительный Na:Na обмен представляет собой обменную диффузию [13]; оуабани-нечувствительный выход нонов натрия осуществляется с затратой энергии помповым мехвиизмом, который может существовать наряду с обменной диффуэней [15, 17].

В пользу первой гипотезы свидстсльствуют следующие данные. Оуабаин-нечувствительный выход нонов натрия зависит не только от впутриклеточной концентрации натрия [Na] но и от наружной [Na] [17, 18]. Причем зависимости потоков натрия от внутриклеточной концентрации и от наружной подчиняются уравнению Михаэлиса-Ментен, это дает возможность считать, что поны натрия обмениваются в отнешении 1:1 [13]. Наблюдается строгий параллелизм между изменением входа и выхода нонов натрия под действием ингибиторов SH-групп, а также при изменении температуры и рН среды [12, 13]. Однако эти потоки нечувствительны к изменению концентрации АТФ, что указывает на независимость их от источников эпергии [13]. Все данные находятся и хорошем соответствии с основными критериями обменной диффузии, постулированными Юссингом [19]:

ноны проходят через мембрану в комплексе с переносчиком без траты энергии;

постоянная екорости гранслокации комплекса одинакова в противоположных направлениях;

наблюдается строгий парадлелизм между изменением входа и выхода понов при изменении внутренией и внешией концентрации понов; ингибирование-одного потока вызывает равной пеличины ингибирование противоположного потока;

кривая активации этого процесса подчиняется уравнению. Михаэлиса-Ментен.

В настоящее время имеются данные, указывающие на возможность существования наряду с механизмом обменной диффузии механизма оуабани-нечувствительного активного транспорта (номпа 11), работающего при низких концентрациях Na_n или в безнатриевых растворах.

Так Саксом [15] было показано, что в безнатриевом растворе в оуабание имеется выход понов натрия, который тормозится фуросемидом, по растет при повышении наружной концентрации натрия. По данным Реттори [14], этакриновая кислота уменьшает оуабани-нечувствительный выход нонов натрия как в присутствии, так и в отсутствие наружного патрия, не оказывая плияния на его вход.

Механизм, вызывающий оуабани-нечувствительные потоки натрия, может быть либо полностью отличным от механизма, совершающего оуабани-чувствительные Na:К и Na:Na обмены, либо все эти обмены могут быть функциями одной и той же системы, но с различными свойствами при разных условиях. В пользу последнего предположения есть два аргумента: фуросемид ингибирует не только оуабани-нечувствительные, но и оуабани-чувствительные потоки натрия, имсющие место в бескалиевой среде и являющиеся свойствами Na:К насоса [15]. Следовательно, если указанные движения ионов патрия являются свойствами не одной системы, а двух пезависимых систем, то можно сделать вывод, что фуросемид одинаково ингибирует обе системы; зависимость действия фуросемида на скорость выхода ионов натрия от концентрации Na_н и оуабаниа показывает, что если бы оуабани-чувствительный и оуабани нечувствительный выходы понов натрия совершались двумя механизмами, следовало бы предположить одинаковое

сродство обоих механизмов к наружному калию и оуабаниу. Естественнее предположить наличие одного и того же механизма [15].

Относительно источников энергии для оуабани нечувствительных потоков Na мало данных, хотя известно, что они могут быть отличными от ATФ. Так, используя реконструированные тени эритроцитов, Аскари и Pao [20] показали, что тени, изолированные и инкубированные в присутствии инозина, способны проявлять оуабани-нечувствительный выход нонов натрия, как и в присутствии ATФ.

Несмотря на многочисленные данные относительно оуабани-нечувствительных потоков патрия, до сих пор не было сделано повытки построить модель, отражающую пути, по которым осуществляется оуабани-нечувствительный гранспорт нонов. В основу предлагаемой модели положена идея о том, что одна и та же система осуществляет как оуабани-нечувствительный Na:Na обмен, так и оуабани-нечувствительный активный вынос натрия. Источником энергви выбран АТФ, хотя им может быть какой-либо другой макроэрг [20]. При построении модели мы пользовались 3 основными постулатами [1], еформулированными па основе известных экспериментальных данных:

- а) переносчиком ионов в мембране является мембранная АТФаза, которая при различных условиях может работать, как Na-FK-АТФаза, или Na-ATФaзa [3];
- б) ферментно-субстратный комплекс переходит от внутренней граинцы мембраны к наружной в фосфорилированной форме [2, 3]:
- в) на наружной границе мембраны сродство нерепосчика к натрию меньше, чем на внутренией [2, 21].

В схеме (рис. 1) предполагается, что на переносчик Е, представляющий собой мембранную АТФазу, садится нон натрия, затем к форме E₁Na присоединяется АТФ. Далее, в результате действия АТФазы происходит фосфорилирование фермента и комилекс (E₁Na ~ P) АДФ переходит на наружную границу мембраны.

Если предположить, что сродство переносчика E_1 к натрию на наружной границе мембраны меньше, чем на внутренией [13], то у наружной границы мембраны этот комплекс отсоединит в среду пон натрия и перейдет в форму (E'_2-P) АДФ Предполагается, что большая часть энергии расходуется на этой стадии, где происходит также конформационный переход переносчика из формы E'_1 в форму E'_2 . Комплекс (E'_2-P) АДФ переходит от наружной гранины мембраны к внутренней. Предположение о том, что АДФ отщепляется у наружной гранины мембраны, а не у ннугренней, содержит следующий смысл: во-первых, после отщепления АДФ образовалась бы форма E'_1-P_1 чувствительная к оуабанну, в то время как рассматриваемый механизм описывает оуабанн-нечувствительный обмен, и во-вторых, АТФаза отщепляла бы АДФ в клетку у впутренней гранины мембраны так же, как и для системы натрий-калиевого насоса. У внутренней границы мембраны комнлекс (E, -P) АДФ освобождает АДФ в клетку и к форме E'_2-P присо-

единяется ион калия, что облегчает дефосфорилирование комплекса E°₃-P [2]. Далее, после отшепления неорганического фосфата в клетке образуется комплекс Е₂К, который способен отсоединить ион калия, что приводит комплекс в первоначальную форму E, и на этом транспортный никл завершается.

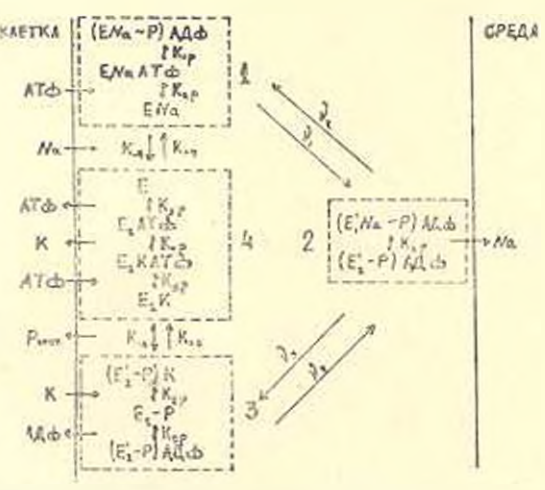


Рис. 1. Модель оузбани-не гувствительного транспорта нопов натрия. Приинмается, что состояния, паятые и пунктирные прямоугольники, и ходятся в равновесни. Все константы наиновесня оболивальности через k_{1p} , константы екорости переходов от одной границы к другой— , константы переходон у янутренней границы мембраны, направленные по часовой стрелке—через k_{1p} , против часовой стрелки— k_{1p}

С возрастанием наружной концентрации понов натрия равновесие в состоянии 2 может сдвинуться, и вероятность присоединения наружного мона патрия увеличивается, что приводит к Na:Na обмену по пути 1—2—1 без затраты энергии, т. е. по типу обменной диффузии.

Гаким образом, предлагаемая система может одновременно работать и как помповый механизм и как механизм обменной диффузии, но значимость каждого из них зависит от концентрации ионов патрия в наружной среде (при низких конпентрациях Na_п-помповый механизм и при высоких обменная диффузия).

Выходящий поток нонов натрия для эгой ехемы рассчитывался с помощью днаграммного метода Хилла [22]. Расчет показал, что этот поток равен:

$$J_{Na_{mMX}} = \frac{\pi}{2} \left\{ (k_{-6p}b_{2} + k_{-N} a_{m}) + \frac{1}{8} (\alpha_{-4p}Na_{m}b_{10} - 1/2) \right\},$$

где k_{lp} —коистанты равновесня, у —константы перехода из одного состояния в другое. E_l —полная концентрация переносчиков во всех формах. D—сумма всех направленных диаграмм. θ_l —доли концевых комплексов с переносчиком, расположенных в концах каждого равновес-

ного состояния. Пеобходимо иметь в виду, что в состояния 1 имеются, помимо указанных, еще и комплексы (ENa_в~P) АДФ, E₁ Na_вАТФ, ENa_в, которые учитываются в расчете, однако опущены в схеме, чтобы не затруднять чтения модели. Они возникают из-за гого, что те новы натрия, которые пришли из наружной среды, не успевают еще обменяться с внутренними понами натрия, так как этот обмен происходит на следующей ступени при переходе из состояния 1 в состояние 4.

Полученное выражение для выходящего потока натрия содержит как помповую, так и обменную компоненту, причем вклад каждой из этих компонент в $J_{\rm Na, bax}$ зависит от наружной концентрации патрия

Таким образом, предложенная схема делает паглядной последовательность ступеней процесса, ведущего к оуабани-нечувствительному транспорту и позволяет рассчитывать потоки патрия.

По полученным аналитическим выражениям потоков можно построить качественные кривые записимости выхода нонов натрия от внутриклеточных концентраций нонов натрия и АТФ (рис. 2)

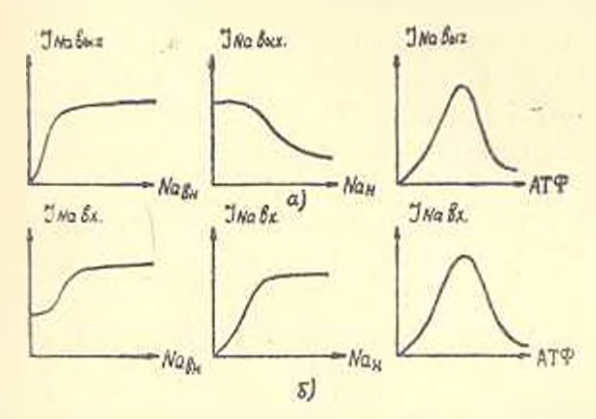


Рис. 2. Качественные кривые зависимости выходящего (а) и входящего (б) полоков натрия от Na_u и Na_u и ATФ.

Смысл такого рода построения в том, чтобы предсказать результаты будущих экспериментов. Яспо, что такой набор кривых зависимостей потоков от концентраций позволит в дальнейшем, путем их сопоставления с экспериментальными результатами, найти пути совершенствования схемы с целью более точного описания процессов, лежащих в основе оуабани-нечувствительного транспорта нонов.

Отметим, что все сказанное относилось к эритроцитам, и предложенную схему кельзя механически переносить на мышцы и аксоны, так как несмотря на некоторые общие черты между этими тремя тканями имеются и существенные различия. Например, оуабани-нечувствительный выход натрия нечувствителен к К в мышцах [23] и эритроцитах [5], но чувствителен к К в аксонах [24]. Наибольшее различие между этими тканями проявляется при замене натрия на литий: в аксонах и на мышцах оуабани-нечувствительный поток натрия растет [25], а в эритроцитах падает [5]. По-разному действуют двухвалент-

пыс катпоны на оуабанн-нечувствительный поток натрия в аксонах.
мышцах и эритроцитах [5, 16, 26—28].

Кроме того, морфологическое строение мыши, —ее компартментализация, существению отличает ее от эритроцитов и аксонов и затрудняет однозначную трактовку полученных результатов. Детальное изучение оуабани-нечувствительного транспорта натрия и установление локализации транспортной системы является одной из самых актуальных задач в настоящее время.

Бреванский физический институт ГКИАЭ

Поступило 28.11 1978 г.

ՆԱՏՐԻՈՒՄԻ ՕՈՒԱՔԱԻՆ-ՌԵԶԻՍՏԵՆՏԱՅԻՆ ՀՈՍՔԵՐԸ

s. դ. Հայթարջության, D. 3m, ադարքան

Նատրիումի օուաբաին-ոհգիստենտային տրանսպորտին վերաբերող գրական տվյալների հիման վրա բերված և հաշված է համակարգի մոդելը, որն իրականացնում է այդ տրանսպորտը։ Ստացված են որակական կորեր. որոնք արտացոլում են նատրիումի հոսրերի կախվա ությունը նատրիումի և ԱնՖ-ի կոնցենտրացիաներից։ Սրանց առկայությունը հնարավորություն կտա հետադայում փորձնական տվյալների հետ համագրման հանապարհով դանել սխեմայի կատարելագործման ուղիները, իսնների օուարաին-ռեղիստենաային արանսպորտի հիմրում ընկած պրոցեսները ավելի ձշգրիտ նկաթագրելու նպատակով։

OUABAIN - INSENSITIVE SODIUM FLUXES

T. G. HAMBARTSUMIAN, S. Ya. ADAMIAN

Based on the literature data the model of Jouabain-Insensitive sodium transport system has been given and calculated. Qualitative curves reflecting the dependence of sodium fluxes on Na_{in}, Na_o and ATP concentrations have been obtained. These curves will allow, by comparison with the experimental results, to improve the scheme to give more precise description of the processes of onabain-Insensitive ion transport.

JUTEPATYPA

- Амбарцияля Т. Г., Мартиросов С. М. Впологический журиал Армении, 28, 3, 102— 103, 1975.
- Иншко В. К., Малышева М. К., Гревнэпрская Т. И., Колчинская Л. И. Сб. Бисфизика мембран, 412—417, 1973.
- 3. Post R. L. Hegyvary ... Kume S. J. Blot. Chem. 25, 1972.
- 4. Stone A. J. Blochem et Biophys. Acta, 150, 578, 1968.
- 5. Garrahan P. J., Glynn I. M. J. Physiol., 192, 159, 1967.
- 6. De Weer P. J. Physiol., 56, 583, 1970.
- 7. Beauge L. A. Biochem et Biophys. Acta. 401, 1, 95, 1975.

- 8. Beauge L. A., Sjodin R. A. J. Gen, Physiol, 52, 3, 408, 1968.
- 9. Dunn T. J. J. Clin Snucst. 49, 1804, 1970.
- 10. Glynn J. M., Karlish S. J. Sn: Energ. transp. in biol syst. (C. S. B. A.), 205, 1975.
- 11. Lubowitz 11. Proc. Soc. Exp. Biol. Med. 140, 1, 153, 1972.
- 12. Motais R., Sola F. J. Physiol. 233, 2, 423, 1973,
- 13. Motals R. J. Physiol 233, 2, 395, 1973.
- 14. Rettort O., Lenoir J. J. Physial, 222, 1, 880, 1972.
- 45. Sachs J. R. J. Gen Physiol. 57, 3, 259, 1971.
- 16. Luboutts H., Whittam R. J. Physiol. 202, 1969,
- 17. Hoffman J. F., Kregenow A. Proc. N .- Y. Acad. Sci. 137, 1966.
- 18. Manery J. F., Dryden & E., Still J. S. Can. J. Phys. Pharm. 55, 1977.
- 19 Ussing H. H. Acta. Scand, Physiol. 17, 1, 1950.
- 20. Askarl A., Rao S. N. Abstract. bioph, soc. 1968.
- 21. Keynes R. D., Swan R. C. J. Physiol, 147, 591, 1959.
- 22. Hill T. L. J. Theor. biol. 10, 442, 1966.
- 23. Sjodin R. A., Beauge L. A. J. Cicn. Physiol. 61, 2, 222, 1973.
- 24. Baker P. F., Show T. G. J. Physiol, 200, 459, 1968.
- 25. Keynes R. D. J. Physiol. 178, 305, 1965.
- 26. Baker P. F., Hodgkin A., Meves H. I. Physiol. 170, 541, 1964.
- 21. Krynes R. D., Steinheerdt R. A. J. Physiol. 198, 3, 581, 1968.
- 28. Henderson E. Pflinger, Arch. 1, 1976.

XXX1, 7, 1978

УДК 599.323.576.312.31.535.37.07

ПССЛЕДОВАНИЕ ХРОМАТИНА ПЕЧЕНИ КРЫС С ПОМОЩЬЮ ФЛУОРЕСЦЕНТНОГО АНАЛИЗА

Р. Р. КАЗАРЯН, Ю. М. ДЕМИИ, С. Г. ПІРАЦУЯН, А. Г. МАНВЕЛЯН

Проведен флуоресцентный анализ хроматина, выделенного из лечени белых крыс. Установлены максимумы спектров возбуждения и эмиссии. Диссоциация хроматина усилноает интенсивность возбуждения и эмиссии, незначительно сдингая их максимумы в ультрафиолетовую область. При гормопальной индукции аргиналы изменений в указанных флуоресцентных характеристиках хроматина не происходит.

При изучении структуры белков, их физико-химических своистввсе чаще применяется флуоресцентный анализ. При этом исследуется как собственная флуоресценция белков, так и свечение в комилексе с флуоресцентными красителями.

Исследование хроматина с применением метода флуоресцентного апализа, пасколько нам известно, не проводплось, хотя не исключается возможность изменения флуоресцентных характеристик его при определениых структурных перестройках дезоксирибонуклеопротендного (ЛИП) комплекса, лежащего в основе различных функциональных состояний хромосом.

В связи с этим мы поставили задачу изучить флуоресцентные характеристики хроматина, выделенного как из печени интактных белых крыс, гак и животных, которым вводили гидрокортизон, вызывающий пилукцию аргиназы и ряда других катаболических ферментов [1, 2].

Мотериал и методика. Использовались белые крысы весом 120—150 г. Хроматии печени получали после предварительного пыделения ядер, осуществленного с помощью модифицированного сотрудниками кафедры биофизики ЕГУ метода Видисала и Тата [3], с очисткой ядерной фракции центрифугированием при 16.000 g в течение 50 мин в растворе 2,2 М сахарозы в присутствии 1 мМ MgCl₂. Все растворы были притотовлены на 0.01 М трис-HCl буфере (рН 7,5).

Для получения хроматика ядра 3— г раза промывали 0,021 М ЭДТА +0,075 М NaCl буфером (pH 8), а затем по два раза 0,05, 0,01 и 0,002 М трис-HCl буфером (pH 8). Каждый этап промывки проводили центрифутированием при 7000 g в теченяе 15 мил. Во все использованиые растворы добавляли 0,5 мМ метабисульфит калия для предотвращения дейстиня протезз.

В экспериментах использовали также хроматии, выделенный из печеки крыс посте кортикостерондной индукции гидрокортизоном. Суспензию гормона вводили внутримышечно (с расчетом 5 мг на 100 г веса тела) в течение четырех дней. На четвертый день через 4—5 час после введения гормона, в период изивысшей активации синтези РНК [4, 5], а также аргиназы (КФ 3.5.3.1) [1, 2], тирозин-д-кетоглутарат

трансаминазы (КФ 2.6.1.5), гриптэфанипрродазы (КФ 1.11.1.4) и некоторых других ватабольческих ферментов [4, 5] животных забивали и выделяли хроматии.

Дассоциацию хроматина проводили с помощькі растнора $2\,M$ NaCl, приготовленного на $0.01\,M$ трис-HCl буфере (pH 8). Выделенный хроматин имел следующие спектральные характеристики $A_{230}/_{260}=0.75$, $A_{280}/_{260}=0.57$, $A_{320}/_{260}=0.0157$. Концентрацию белка определяли по методу Лоур: [6], ДНК—по Дише [7], РПК—спектрофотометрически после гидролиза $1\,N\,$ HClO $_4$

Соотношение белох/ДПК во всех исследованных препаратах составляло 2.1, соотношение РНК/ДНК--0.04:1. Спектральные характеристики получали на спектрофотометре СФ-16 Спектры экстипции и эмпесии хроматина регистрировали на флуоресцентном спектрофотометре МРF-2A фирмы «Пиаси» (Япония), и квардевых примоугольных вюзетах при комнатиой температуре (при чувствительности прибора SS 1, SS-5), в многократных разбавлениях в 2×10-1 М трис-НСІ буфере рП 8).

Для изменения рН среды использоваля 0.1 N HCl и 2.5 N NH, ОН

Результаты и обсуждение. Поглощение и возбуждение белков в ультрафиолетовой области объясняется исключительно наличием в составе их ароматических аминокислот: фенилаланина, тирозина и триптофана. В свободном состоянии эти аминокислоты имеют максимумы спектров возбуждения ири 260, 275 и 287 им и максимумы спектров эмиссии—при 282, 303 и 348 им соответствению, обуславлиная идентичную флуоресценцию белков, в состав которых входят [8—12]

Научение флуоресценции хроматина, выделенного из печени белых крыс, показало, что при возбуждении 260 и 275 им характерные для феналаланина и тирозина спектры эмиссий отсутствуют, четко выявляется один ник эмиссии, при 340 им, с максимумом спектра возбуждения при 295 им (рис. 1), т. е. обнаруживается тринтофановая флуоресценция, сдвинутая в коротковолновую область по сравнению с максимумом спектра эмиссии свободного тринтофана (348 им).

В связи с этим следует учесть, что в некоторых белках в зависимости от условии окружения ароматических аминокислог может происходить миграция энергии, благодаря чему максимумы спектров эмиссин тирозинового и триптофанового остатков могут смещаться как в ультрафиолетовую, так и в длинноволновую область [13, 14]. Так, работами Конева [10] показано, что сывороточный альбумии, янчный альбумии, ф-глобулии, сыворотки казенца, стурнии и ряд других белков имеют спектры флуоресцениня с максимумами эмиссии при 313 и 350 им. т. е. эмиссии, характерные для тирозина и триптофаца, по несколько сдвинутые в длинноволновую область. Кимура и Тинга [15]. изучая флуоресценцию ферридоксина из коры надпочечников, обнаружили значительное смещение спектра флуоресценции тирозинового комплекса в длинноводновую область, со спектром эмиссии при 330 им. т. е. в область, характерную для тринтофанилов. Такой же едвисэмиссти (340-350 им) тирозинового комплекса показали в своих экспериментах Марданян и др. [16], исследуя различные ферредоксины тина «b» животного и растительного происхождения. С другой стороны. работами Велика [11], Тиля и Вебера [9] показано, что у некоторых белков смещены максимумы эмпесии спектра флуоресценции триптофана в коротковолновую область (340 нм).

Учитывая эти литературные данные, можно предположить, что отмеченная в наших экспериментах эмиссия при 340 им, вероятно, обусловлена тринтофанильными остатками, флуоресценция которых несколько сдвинута в коротковолновую область. Для подтверждения это-

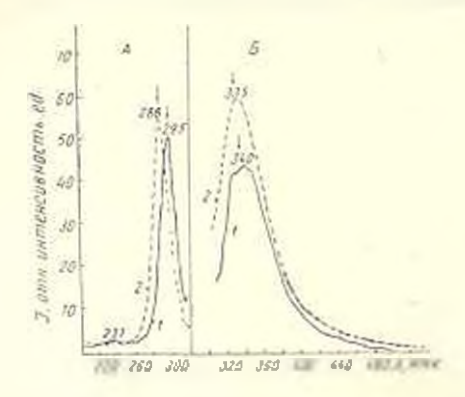


Рис. 1. Спектры экстиники (А) и эмиссии (Б) хроматина, выделенного из вечени белых крыс. Ширина щелей монохроматоров экстиники и эмиссии—1 им 1. Нативный хроматии, разбавленный ×20 в 2×10−3 М трис-ПС! буфере, рН 8. 2 Диссоциированный хроматии, разбавленный ×10 п 2×10−3 М трис-ПС! буфере, рН 8.

то предположения нами изучалась эмиссия основного флуоресцирующего комплекса хроматина при различных значениях pll среды. При этом мы исхололи из того положения, что при изменении pH среды максимум эмиссии спектра флуоресценции белков сохраняется на постоянном уровне (340 им), если она обусловлена остатками только тринтофанилов [12, 17]. Постепенное изменение исходного pH в кислую сторону (рис. 2) у нативного хроматина приводит к резкому спижению квантового выхода флуоресценции, однако положение максимума спектра флуоресценции при этом не меняется, что может свидетельствовать об обуславливании сцектра эмиссии хроматина при 340 им тринтофанильными остатками.

Нами изучалась также флуорссценция хроматина при его диссоцивции, когда при определенных вонных условиях среды появляются свободные участки ДНК, что, как известно, обусловлено перераспределением связанных с ДНК гистонов [18, 19]. Полученные данные показали, что при диссоциации хроматина (рис. 1) повышается квантовый выход флуоресцепции, а максимумы спектров возбуждения и эмиссии песколько сдвигаются в коротковолновую область (288 против 295 им и 335 против 340 им), не выходя за предслы, характерные для триптофаинлыных остатков.

Наши исследования показали кроме того, что закисление pH среды у диссоципрованного хроматина (рис. 3), как и в случае с нативным, приводит к снижению квантового выхода флуоресценции без существенных изменений положения максимума спектра флуоресценции; структура диссоципрованного хроматина не претерпевает необратимой

денатурации, в то время как в случае с нативным дальнейшее закисление, начиная с рН 4 (рис 2), приводит к необратимой кислотной де-

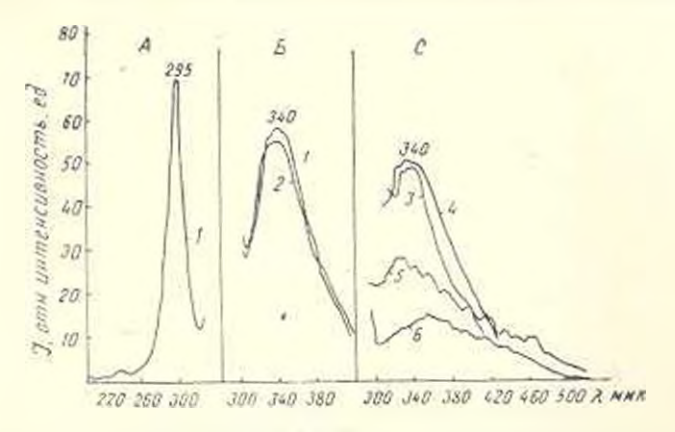


Рис 2. Спектры экстинции (А), липсени (Б), (С) нативного хроматина, разбанленного ×29 в 2×10_1 М трис-НСІ буфере. Ширина щелей монохроматоров -кстинции и -миссии—5 им. 1. pl 8. 2. pH 7. 3. pH 6. 4. pH 5. 5. pH 4. 6. pH 8.

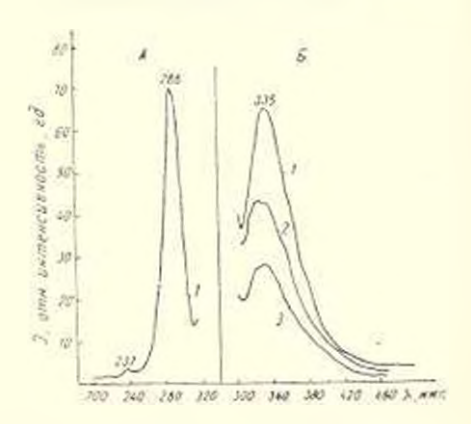


Рис. 3. Спектры экстинции (A) и эмиссии (Б) диссоциированного хроматина, разбавленного ×10 в 2×10 м трис-HCl буфере Ширииз щелей монохроматорой экстинции и эмиссии—4 им. 1 рН 8, 2 рН 1, 3 рН 8.

натурации его структуры. Отсутствие этого эффекта у диссоциированного хроматина представляет определенный интерес. Однако для объяснения этого явления необходимы дополнительные исследования, что не входит в задачу данной работы.

Таким образом, как при изменении рН среды, так и диссоциации хроматина основной флуоресцирующий комплекс хроматина остается характерным для триптофанилов.

Нами изучалась также и флуоресценция хроматина, выделенногоиз печени крыс после введения гидрокортизона (гормональной индукции). При индукции аргиназы и других катаболических ферментов в иышеуказанных флуоресцентных характеристиках хроматина изменений не наблюдалось. Авторы признательны М. А. Давтяну за помощь при обсуждении данной работы.

Ереванский государственный университет, - филиал ВИИИ клинической и экспериментальной хирургии МЗ СССР, Ереван

Поступило 15.V 1978 г.

ԱՌՆԵՏԵԵՐԻ ԼՅԱՐԴԻ ՔՐՈՄԱՏԻՆԻ ՀԵՏԱԶՈՏՈՒԹՅՈՒՆԸ ՖԼՈՒՈՐԵՍՑԵՆՏԱՅԻՆ ԱՆԱԼԻԶԻ ՄԻՋՈՑՈՎ

- թ. թ. ՎԱԶԱՐՅԱՆ, Յու. Մ. ԳՅՈՄԻՆ<mark>, Ս. Գ. ՏԵՐԱՑՈՒՅ</mark>ԱՆ, Ա. Գ. ՄԱԽՎԵԼՅԱՆ

հատարվել է սպիտակ առնետների լյարդից ստացված բրոմատինի ֆլուորեսցենատյին անալիղ։ Որոշվել են էջստինցիայի և էմիսիայի սպեկարների մաքսիմումները, որոնք համապատասխանաբար հավասար են 295 և 340 մմել։ Քրոմատինի միայն մի էմիսիայի սպեկարի առկայությունը 310 սմել-ի դնաքում պայմանավորված է արիպաոֆանի ֆլուորհսցենցիայով, որը ապատ արիպառֆանի էմիսիայի սպեկարի մաքսիմումի համեմատությամբ մի փոբրը շարժված է դնպի կարձալիք շրջանը։ Քրոմատինի դիսոցիացիան սաստկացնում է էքստինցիայի և էմիսիայի ինտենսիվությունը, չնչին չափով տեղաշարժելով նրանց մաքսիմումները դնպի ուլարամանուշակազույն շրջանը (288 և 335 մոկ համապատասխանաբար)։ Արդինազայի Տորմոնալ (Տիդրոկորտիզոն) ինդուկցիայի դեպքում քրոմատինի նշված ֆլուորեսցենտային ցույյանիչներում փոփոխություններ տեղի չեն ունենում։

STUDIES OF THE RAT LIVER CHROMATIN BY FLUORESCENT ANALYSIS

R. R. KAZARIAN, Yu. M. DYOMIN, S. G. TIRATSUYAH, A. G. MANVELIAN

The fluorescent analysis of chromatin isolated from liver of white rats has been carried out. Maximums of excitement and emission spectra have been set. Dissociation of chromatin increases the intensity of excitement and emission, slightly removing their maximums to ultraviolet range

In the case of hormonal (hydrocortison) induction of arginase, changes in the indicated illuorescent characteristics of chromatin do not take place.

ЛИТЕРАТУРА

- 1. Давтяк М. А. Петросчи . 7. А. Биологический журнал Армении. 23. 5. 1970
- Kuchakin C. D. In Mechanisms of hormone action, 256. Edit. by P. Karlson. Academic Press, N. Y. and London, 1965
- 3. Widnell C. C., Tata J. R. Biochem, J., 92, 313, 1964.
- 4. Knox W. E. It Synthesis of Molecular and Cellular structure. 13, P. Rudnick, Ed., The Ronald Press Co., N. Y., 1960.
- 5. Renn v F. T. Cell Compar. Physiol., δ6, supp. 1, 125, 1965,

- 6. Loury O. II., Rosenbrough N. J. et al. J. Biol, Chem., 193, 265, 1951.
- 7. Dishe Z. Microcemie, 8, 9, 1930.
- A. Shore V. G., Pardee A. B. Arch. Blochem. Biophys., 100, 1956.
- A. Treir F. W. Y., Weber G. J. Blochem., 65, 467, 1957.
- 10. Konea C. B. JIAH CCCP, 116, 594, 1057
- 11. Wellck S. F. J. Biol. Chem., 253, 1455, 1958.
- 10 Оденфусно С. Флуореспентный анализ в биологии и медицине 192 М., 1965.
- 13. Владимиров Ю. А. ЛАН СССР. 4, 960, 1961.
- 14. Владимиров Ю. А., Конев С. В. Биофизика, 5, 537, 1959
- 15, Kimura 1, Ting J. Biochem, and Biophys. Res. Communs., 45, 1227, 1971.
- Va. Марданян С. С., Демин Ю. М., Налбандян Р. М. Биохимия, 6, 1024, 1977
- Веденкини Н. С., Бурнштейн Э. 4. Готбер: М. И. Механизмы мышениого сокрашения, 4, М., 1972.
- lo Rorzhavsky A. J., Ityin Yu. V., Georgiev G. P. Nature, 250, 603, 1974.
- 19. Farahausky A. J., Ilvin Yu. V., Georgiev G. P. Molecular Biol. Reports, 1, 201.

XXX1, 7, 1978

YAK 511 15

ПАРАМАГНИТНЫЕ ЦЕПТРЫ В ОБЛУЧЕННОМ Л-ЛЕИЦИНЕ-№

Р. А. АСАТУРЯН

На основе анализа формы спектров ЭПР облученного Л-лейцина-N15 при стизотопном замещении атомами N15 в различной концентрации выделены лять типов парамагинтных центров. При увеличении концентрации N15 существенных изменений и форме епектров ЭПР не наблюдается, что синдетельствует о малой вероятности локализации неспаренного электрона вблизи атома алота Л-лейцина-N1-.

Псследованию парамагинтных центров (ПЦ) облученных белков и составляющих их аминокислот носвящено большое число работ и монографий [1—7]. Анализ формы спектров электронного нарамагнитного резонанса (ЭПР) облученных биологических объектов представляет собой сложную задачу, так как в образце образуется, как правило, несколько ПЦ. Однако применение метода изотопного замещения одних атомов на другие с известным ядерным спином существенно упрощает их интерпретацию.

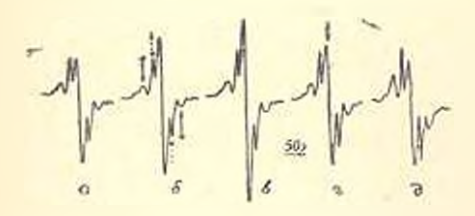
Материал и методика. Пспользовались хроматогряфически чистые коммерческие препараты Л-лейцина-№ из ГЛР (Isocomerz) с оботащением №5 9.89 - 0.1, 50.5 0.5 и 95.1 ± 0.1%. Образцы загружались в три идентичные вмиули из специального стекла, которые откачивались в вакууме 10 - 3 мм рт. ст. и запанвались. Использовали релаксационный метод разделения радикалов, основанный на различии их премен спин-решеточной релаксации [8], и термический метод разделения радикалов. Для выделения индивидуальной формы спектра ЭПР из общей смеси использовали графический метод вычитания.

Одновременное облучение трех разных образиов одинаковыми долами проводилось при 77°К рентгеновскими лучами на установке РУП 200/20 при токе 15 мл и напряжении на вольфрамовом аноле 183 кв. Мощность дозы, намеренная ферросульфатным методом, равнялась 2420 рад/мин, а максимальная поглощенная образцом доза была 485-103 рад.

Свектры ЭПР при 77°К регистрировались на серийном радиоспектрометре 3-сантиметропого дианазона типа ЭПР-2 при значениях токов СВЧ детектора 1,0 ма и 0,1 ма.

Результаты и обсуждение. Применение указанных методов позволило иыделить в облучением Π -лейцине- N^{15} иять $\Pi \Pi$ и получить существенно новые результаты, отличающиеся от полученных ранее в литературе [9 –11].

На рис. 1 представлены спектры ЭПР облученного образца Л-лейдина-N¹³ с изотопным обогащением 9,89%. Все спектры записаны при 77°К. Спектры a, b и в зарегистрированы непосредственно после облучения различными дозами, а г и д —через сутки и 8 суток хранения при 77°К соответствению. Отношение интенсивности центральной компочения к компонентам, отмеченным пунктирными стрелками, с расщенлением около 40 эрст при дозах 242-103, 363-103 и 485-103 рад равно соответствению 1.26, 1.76 и 1.84. Через сутки это отношение становится



Рве I Спектры ЭПР образца Л-лейцина-N15 (9.89%) при 77°К непосредственно после облучения позами $242\cdot10^3$ рад $a=363\cdot10^3$ рад $b=485\cdot10^3$ рад $b=485\cdot10^3$

1.27. а через 8 суток уменьшается до 0,94. Отношение центральной компоненты к боковых компонентам, отмеченным сплошными стрелками с кружочком, при дозе 242·10³ рад равно 4,0, при 363·10³ рад—6,9 и при 485·10³ рад—6,1. Через сутки оно становится равным 4,0, а через 8 суток—2.0. И паконец, отношение интенсивности компонент, отмеченных пунктирными стрелками, к боковым компонентам, отмеченным сплошными стрелками с кружочком, для спектра и равно 3,2, для 6—3,9 и для 6—3,3. Через сутки это отношение сохраняется (3,2), но зато через 8 суток резко падает до 2.1.

Совокунность приведенных данных дает основание считать, что спектры ЭПР на рис. і представляют собой суперпозицию, по крайней мерс, трех различных ПЦ. Один из них— R_1 —дает вклад в центр спектра с р-фактором, близким к дифенилцикрилгидразилу (ДФПГ), и ширивон 15 эрст. Другой— R_2 —представляет собой дублет (пунктириыс стрелки) с величниой расщепления около 40 эрст. Третий ГПІ— R_5 , боховые компоненты которого отмечены сплошными стрелками с кружочком, представляет собой неразрешенный спектр из- а сунсрпозинии двух предыдущих ПЦ

На спектров в и в видио, что через сутки интенсивность центральной компоненты уменьшилась. Аналогично ее интенсивность упала и через 8 суток хранения при 77°К. Такое поведение ПЦ обычно связывают с присутствием заряженных радикалов, исчезающих еще и под действием света [6]. В работе Паттена и Горди [9] в облученном лейшине также был выделен синглет, но идентификации не было проведено. Кающин и др. [5] в облученном лейцине синглетный спектр шириной 16 эрст приписали аннон-радикалам гипа

В нашем случае піврина линии синглетного спектра составляет 15 рет, что находится в согласии с работой [5].

Перейдем к интерпретации дублетного спектра, имеющего величну расщепления 40 эрст. Согласно соотношению Мак-Коннела, велична расшепления для СН фрагментов изменяется от 20 до 30 эрстед Очевидно, что при данной величине расщепления неспаренный электровне может быть локализован на атоме углерода. В работе Хилла с согр. [12] в у-облученном поликристаллическом льду при 77°К наблюдались ОП радикалы в виде дублета с величиной расшепления 40 эрстед. Они погибали при прогреве до комнатной температуры, что наблюдается и в нашем случае. По-видимому, наблюдаемый дублетный свектр толжен принадлежать ОП радикалам R₂, образующимся при их отраве от атома углерода карбоксильной группы.

На наш взгляд, Паттен и Горди [9] ошибочно принисали структу ру дублетного спектра аннон-радикалам R₁, который должен давать синглетный спектр, а не дублетный.

Так как в центральную часть спектра п основном дают вклад R_1 в R_2 , то обнаружение дополнительных компонент R_3 в центре спектра затруднительно. Вследствие этого идентификация R_3 представляет собой сложную задачу. Отметим, однако, что компоненты радикалов R_2 , отмеченные сплошными стрелками с кружочком, ошибочно приписывались $\Pi\Pi$, имеющим в центре синглетный спектр [9], что не следует из рис. 1.

На рис. 2 представлены слектры ЭПР (при 77°К) трех образиов облученного J1-лейцина-N15 с различным обогащением N15. Спектры и, в и д зарегистрированы при токе СВЧ детектора 1,0 ма, а б, г и епри 0,1 ма. Сравинвая а и б, где изотопное обогащение N15 минимально (9,89%), можно заметить, что форма спектров изменяется. Это дает нам дополнительное подтверждение того, что в исходиом образце наблюдается несколько типов ПЦ с различными временами сник-решеточной релаксации [8]. Аналогичные изменения формы от мощност клистронного генератора можно видеть и на спектрах в и г, а также (и е. Если сравнить формы снектров образнов Л-лейцина-N15 при одинаковых значениях токов СВЧ детектора, но при различном обогаще нин изотопом N^{15} (спектры u κ , ∂ и δ , ϵ , e), то можно заметить, что практически существенных изменений ист. Это дает нам основание считать, что в исходимх облученных препаратах Л-лейцина-N¹⁵ несивренный электров в наблюдаемых трех 11Ц не должен быть локализо ван на аминогруппе.

На рис. З при 77°К даны спектры ЭПР тех же образцов облученного. Л ленцина-N¹⁵, но после прогрева до комнатной температуры. При сравнении спектров а и б легко видеть изменения их формы. Анаживичные изменения при различных токах СВЧ детектора наблюдаются и для спектров в с г и д с е. Анализ методом графического нычитания показал, что суммарные спектры б, г, и е (рис. 3) представляют собой

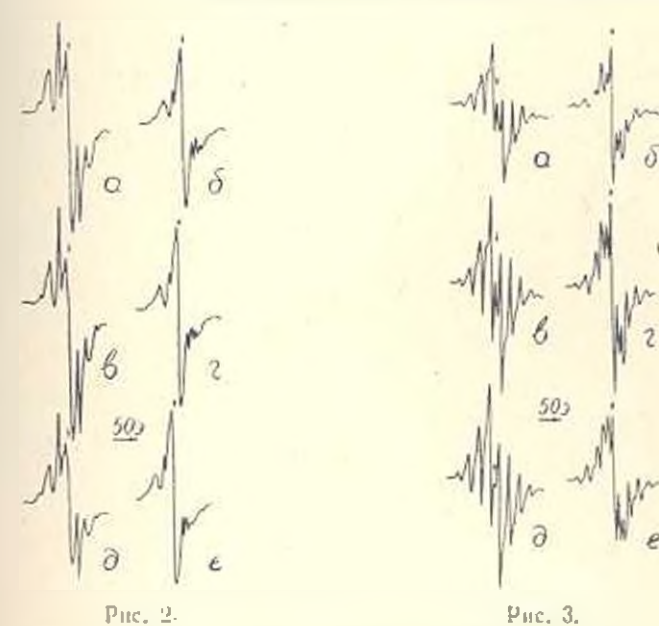


Рис. 2. Спектры ЭПР трех различных облученных дозой 485-103 рад образков Л-лейцина N15, отличающихся изотонным замещением на N15; первый-обогащение N15 равно 9.89 (а, б); пторон—50.5 (а, г); третий—95.1% (д. е). Спектры а, а, д записаны при токе СВЧ летектора 1.0 ма. а б, г, е—при 0.1 ма. Облучение и запись при 77°К. Стрелки показывают положение линии ДФПГ.

Рис. 3. Спектры ЭПР тех же трех образцов, что и на рис. 2, по после протреза до комилтной температуры. Спектры а, в, ∂ зарегистрированы притоке СВЧ летектора 1,0 мв, а б, г, е—при 0,1 мв. Запись при 77°К. Стрелки показывают положение линии ДФПГ.

отернозицию двух различных типов радикалов. Для выявления индишауальной формы их спектров рассмотрим следующие данные.

На рис. 4 записаны спектры ЭПР описываемых трех образцов M-ленцина- N^{15} после прогрена до $368^{\circ}K$. Форма спектров ЭПР для всех трех образцов практически не зависит от мощности клистронного генератора (спектры a и b, a и b, a и a), что позволяет однозначно утверждать о присутствии только одного типа радикалов, спектр которых чостоит из 8 компонент СТС с расшеплением 25 эрстед. Этот спектр ранее был приписан радикалам R_4 , в которых имеется R_4 эквивалентных протонов R_4 .

При компатной температуре в результате растормаживания врашения соседией группы СН₂ выявляется дополнительное дублетное сверхтопкое влаимодействие с восьмым протоном этой группы, расщенляющим каждую из наблюдаемых восьми компонент на 8 эрст (рис. 1 в. е. и). Такие изменения формы спектров от температуры обратимы. Кроме гого, при изотопном замещении атомами N¹⁶ форма спектров ЭПР практически не меняется. Это служит дополнительным под эперждением правильности интерпретации структуры радикалов R₁, предложенной ранее в работе [9].

На рис. 5 представлен спектр ЭПР радикалов, полученный метотом графического вычитания спектра рис. 4 в из спектра рис. 3 е. Обо-

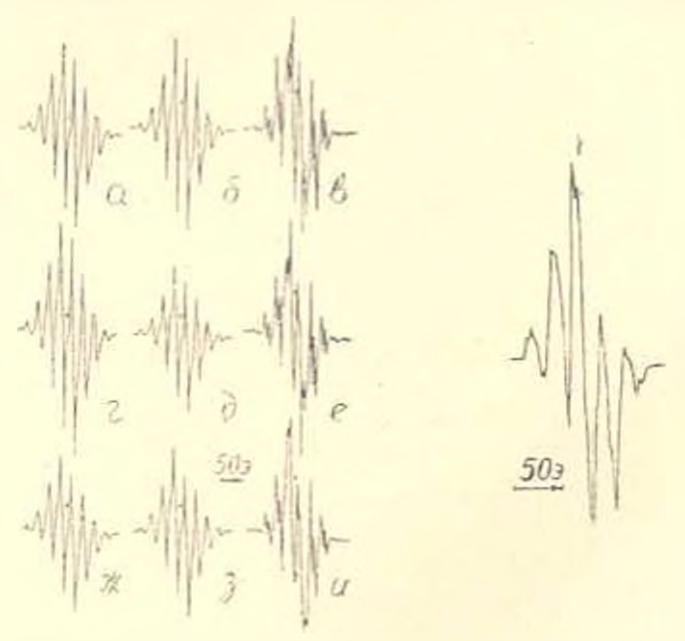


Рис. 4. Рис. 5.

Рис. 1 Спектры ЭПР тех же образиов, что и из рис 2, по после прогре на до 368°К. Спектры а ∴, ж тарегистрированы при тоже СВЧ детектора 1,0 ма, а б, д, з—при 0,1 ма. Спектры в, б, з, д, ж, з записаны при 77°К, а в, е, и—при комнатиой температуре. Стрелки показывлют положение линии ДФПГ.

Рис. 5. Спектр ЭПР радикалов R., полученный методом графического вычитония спектра рис. 4 или спектра рис. 3 с. Стрелка показывает положение линии ДФПГ. аначим их через R_5 . Нетрудно заметить, что имеем квинтетный спектр в интенсивной центральной компонентой вблизи g-фактора ДФПГ и меличной расшенления около 25 эрст. Как видим, при сравнении спектров на рис. 3 б. г. е и рис. 4 б, д, з радикалы R_5 гибиут после прогрева до 368° K, так как менее термостабильны, чем R_5 , сохранившиеся в аналогичных условиях.

Они легко насыщаются даже при токе СВЧ детектора 1.0 ма (рис. 3, д, е). Действительно, спектр рис. 3 д практически почти не содержит компонент радикалов R_3 и в основном обусловлен радикалами R_4 , имеющими наиболее короткие времена спин-решеточной релаксации.

Величина расщепления и квиптетное число компонент с почти биномнальным распределением интенсивности свидетельствуют о том, что неспаренный электрой в этом радикале должен быть локализован на четырех эквивалентных протонах. По-видимому, этот радикал должен иметь структуру, в которой исспаренный электрой локализован не в попосредственной близости от атома азога и в то же время не на достатычном удалении от него, так как в суммарном спектре рис. З б, г, е паблюдаются некоторые изменения при изотопном замещении на N¹⁶, потя и не очень существенные. Одним из возможных вариантов, удовнетворяющих этим требованиям, может быть структура типа

где H₁, H₂, H₃ и H₄ должны быть эквивалентными.

В работе Паттена и Горди [11] радикалы, образующиеся в облученпом лейцине, идентифицированы в виде

Совокупность экспериментов, проведенных пами с использованием истода изотопного замещения, позволяет считать недостаточно обосвованной эту интерпретанию, так как в противном случае при обогащении атомами N¹⁵ наблюдались бы значительные изменения формы спектров ЭПР, чего исльзя сказать из наших экспериментов.

Ереванский физический институт

Поступило 28.11 1978 г.

ՃԱՌԱԳԱՅԹՎԱԾ Վ–ԼԵՅՑԻՆ—№[®]–Ի ՊԱՐԱՄԱԳՆԻՍԱՅԻՆ ԿԵՆՏՐՈՆՆԵՐԸ

B. U. BHUSHEPSUL

Ճառազայիված է-լեյցին— N¹⁵-ի ԷՊՈ սպեկարների ձևի անալիզի միման վրա նրա N¹⁵ ատոմների տարբեր կոնցենարացիաներով իզոտրագային տեղակալման ժամանակ անջատվել են հինդ տիպի պարամադնիտայի կենտրոններ։ N¹-ի կոնցենտրացիայի ավելացման ժամանակ ԷՊՈ սպեկտըը ների ձևի զգալի փոփոխություն չի ստացվել, որը վկայում է չդուգավորվան Լլեկտրոնի տեղակայման փոթը հավանականության մասին է-լելցին N¹¹-ի ադոտի ասոմի մոտ։

PARAMAGNETIC CENTRES IN IRRADIATED L-LEUCIN-Nº

R. A. ASATURIAN

Based on the analysis of the form of EPR spectra for irradiated L-leucin-N¹⁵, five types of paramagnetic centres have been extracted its isotopic substitution by N¹⁵ atoms in different concentrations. Since no essential changes in the form of EPR spectra with the increase of N¹ concentration have been observed, the localization of non-matched electron near the nitrogen atom of L-leucin-N¹⁵ renders low-probable.

JIHTEPATYPA

- 1. Дертингер Г., Юн. Х. Молекулярная радиобнология М., 1973.
- 2. Ингрэм Д. Электронный парамагинтный резонанс в биологии, М., 140, 1972.
- 3, Каюшин Л. П., Львов К. М., Пулатова М. К. Исследование парамагиним центров облученных белков, 51, М., 1970.
- Каюшик Л. П., Грибова З. П., Азизова О. А. Электронный парамагинтими резнике фотопроцессов биологических соединений, М., 1973.
- Каюшин Л. П., Пулатова М. К., Кривенко В. Г. Свободные радикалы и их пре вращения и облученных белках, М., 17, 1976.
- 6. Писжецкий С. Я., Котов А. Г. Милинчук В. К., Рогинский В А., Тупиков В В ЭПР свободных радикалов в радиационной химии. М. 1972.
- 7. Свободные радикалы в биологических системах, М., 1963.
- 8 Асатурян Р. А. Миромцев В. И., Ерук М. А., Абкин А. Д. Химия высоких этейгий, 3, 256, 1969.
- 9. Patten R., Gordy W. Radiat. Res., 14, 573, 1961.
- 10. Jensen H., Henriksen Th. Acta Chem. Scand., 22, 2263, 1968,
- 11. Patten R., Gordy W. Radlat. Res., 22, 29, 1964.
- 12. Hill M., Wyard S. J. Phys., B, J. 289, 1968.

XXXI, 7, 1978

VIIK 577.362.2

ГЕНЕРАЦИЯ ЭЛЕКТРОДВИЖУЩЕГІ СИЛЫ В ОРНЕНТИРОВАН-НОЙ ФОСФОЛИПИДНОЙ ПЛЕНКЕ ПОД ВОЗДЕЙСТВИЕМ ГИДРАТАЦИИ

А. А. ШАГИНЯН, Х. В. СТАМБОЛЦЯН

В фосфолниндиой пленке, ориентированной самопроизвольно или под возденствиси постоянного внешнего электрического ноля, при гидратации возникает электрозвижущая силя. Разделение и перенос зарядя осуществляется в гидрофильной зоне фосфолниндиых ламелл.

Исследования электрохимических свойств одного из основных комшонентов клеточной мембраны — фосфолипида—проводятся главным
бразом на искусственных бимолекулярных фосфолипидных слоях
(БФС) в водном окружении. БФС вводится в электрохимическую цень
ваким образом, чтобы она замыкалась через толщу БФС, т. е. изучаются
электрохимические процессы, протекающие в пространстве между его
двумя поверхностями. Установлено, что в отсутствие модификаторов
БФС представляет собой диэлектрик с высоким внутренним сопротивлешвем. Однако особенности структурной организации его (наличие четко
разграниченных друг от друга зон локализации полярных и гидрофобвых групп молекул фосфолицида) являются причиной апизотропни
свойств БФС в направлениях перпендикулярной и параллельной поверлюсти его. При этом можно ожидать существования электрохимической активности полярных зон локализации аминных и фосфатных групп
молекул фосфолицида в нем.

Для изучения эдектрохимических свойств БФС, вводимых в электрохимическую цень таким образом, чтобы контакт между электродаин осуществлялся через его гидрофильные зоны, нами исследовались
ориентврованные пленки общего фосфолнинда, выделенного из годовного мозга крупного рогатого скота и очищенного известными способами [1], а также янчного лецитина в синтетического дипальмитоилледитина (ДПЛ) производства фирмы «Сигма» (США), наиссенные на
стеклянную пластинку между двуми распыленными токопроводящими
идентичными металлическими слоями, используемыми в качестве электродов для регистрации электрических импульсов.

При гидратации фосфолипидной пленки была обнаружена генерания электродвижущей силы (ЭДС) на электродах. На рис. 1 и 2 принедены кривые зависимости напряжения (U) и силы (1) генерируемого тока от концентрации наров воды в сосуде, где помещена фосфолинидная пленка. С повышением концентрации паров воды возрастают как U. так и I.

Для выяснения ориентации молекул фосфолинида в электрохимической цели было исследовано двойное лучепреломление [2, 3] (ДЛП) иленок лецитина при падении поляризованного луча света периендикулярно плоскости пленки. Величина ДЛП оказалась меньше пуля, 410 соответствует условию $\cos^2\theta - 1/3 > 0$ (0 угол между осью молекулы фосфолинида и лучом света), что в свою очередь, свидетельствует о том, что молекулы лецитина самопроизвольно ориентируются перпендикулярно плоскости стеклянной подложки.

С другой стороны, из фазовой диаграммы системы лецитин-вода видио, что при малых концентрациях воды в системе реализуются орвентированные жидкокристаллические фазы, представляющие собой параллельно расположенные друг относительно друга ламеллы (БФС) фосфолипида, в которых молекулы расположены упорядоченно [4].

На основании вышеприведенных данных по исследованию. ДЛП и данных А. Тардью, В. Лузати и др. [4] можно прийти к выводу, что в исследуемой нами электрохимической цепи молекулы фосфолипида расположены таким образом, что контакт между электродами осуществляется гидрофильными зонами БФС.

Кривые на рис. 1 и 2, наряду с данными ДЛП и рентгеноструктурного анализа [4], дают основание полагать, что генерация ЭДС связана с

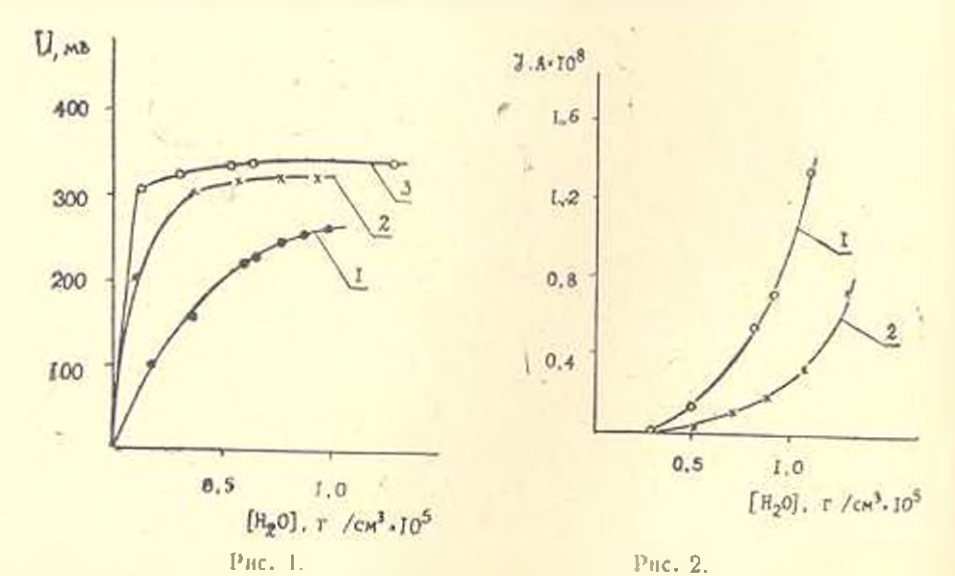


Рис. 1. Кривые зависимости ЭДС от концентрации паров воды для иленок 1—янчного лецитина, 2—ДПЛ, 3—общего фосфолинида.

Рис. 2. Кривые зависимости силы генерируемого тока от концентрации пиров воды для пленок. 1—янчного лецитина, 2—ДПЛ

возникновением определенной пространственной орнентации молекул фосфолипида в гидратированной пленке. Доказательством этого пред-

положения может служить и то, что ЭДС восстанавливается при дегидратации (вакуумной) пленки и ее повторной гидратации.

Упорядоченное расположение молекул фосфолицида в ламеллах и малый объем межламеллярной водной прослойки дают основание предполагать существование определенной ориентации и полярных групп молекул фосфолицида в ламеллах. Возможная неперпендикуллярная ориентация полярных групп молекул фосфолицида к поверхности БФС, при наличии сил притяжения между фосфолицида к поверхности БФС, при наличии сил притяжения между фосфолицида и малой величине объема межламеллярной водной прослойки, может привести к возникновению структурной асимметрии гидрофильных зон БФС. Возникновение ЭДС при этом, возможно, связано с появлением структурной асимметрии гидрофильных зон БФС.

Если эффект генерации ЭДС действительно связан с неперпендикулярной к поверхности БФС ориентацией полярных групп молекул фосфолипида, го следует ожидать усиление эффекта при воздействии на гидратированную фосфолипидную пленку постоянным электрическим нолем.

С целью выяснения этого вопроса исследовалось влияние постоянного электрического поля на генерируемую в фосфолипидной пленке ЭДС. Как видно из кривых, приведенных на рис. 3, под влияняем внешнего поля ЭДС увеличивается. При этом фосфолипидным пленкам свойственно существование предельного значения ЭДС. Своего максимального значения (~ 2 в п ~ 10⁻⁷ A) ЭДС достигает при ориентирующем поле с напряжением ≥ 4 в (исследовалось влияние напряжения внешне-

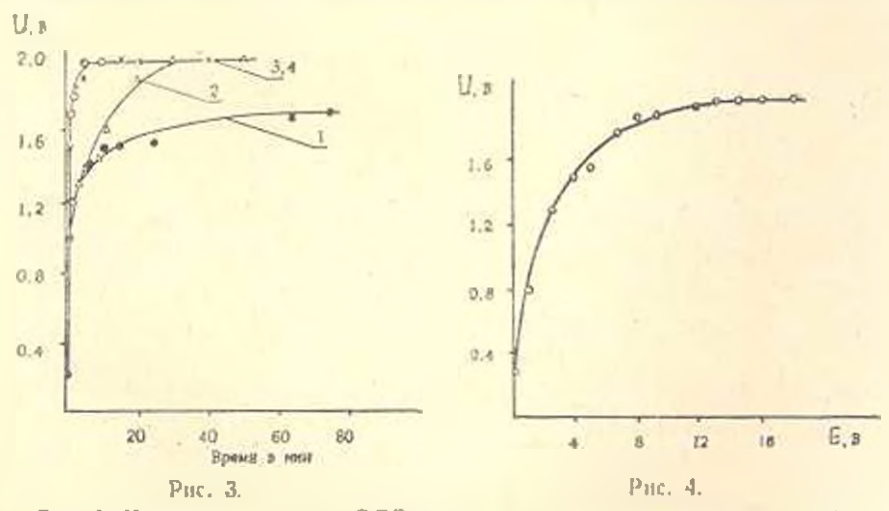


Рис. 3. Кривые зависимости ЭДС от продолжительности ориентации гидратированных лецитиновых пленок в постоянном электрическом поле напряжением: 1—2,6 в. 2—3,9 в. 3—7,6 в. 4—13 и 40 в.

Рис. 4. Кривая заинсимости ЭДС от напряжения висшиего ориентирующего электрического поля, под воздействием которого лецитиновая пленка находилась и течение 2 мин.

го поля до 40 в). Кривая влияния напряжения внешнего поля на ЭДС иленки лецитина, подвергшейся воздействию внешнего поля в течение 2 мин, приведена на рис. 4. Запределивание ЭДС и зависимость времени достижения предельного значения ЭДС от напряжения внешнего поля непосредственно указывают на определяющую роль ориентационных факторов в генерации ЭДС.

Так как в гидратированной фосфолипидной иленке под воздействием впешнего электрического поля могут ориентироваться лишь полярные группы молекул фосфолипида, то можно с большой достоверностью утверждать, что определяющее значение в пропессе генерации ЭДС имеет ориентация полярных групп молекул фосфолипида в пленке. Это может осуществляться самопроизвольно в гидратированных фосфолипидиых пленках ламеллярной структуры, однако своего максимального значения она достигает под влиянием постоянного электрического поля. Доказательством определяющей роли ориентации полярных групп молекул фосфолипида в генерации ЭДС служит и то, что изменение направления ориентации полярных групп молекул фосфолипида и тенерации ориентации полярных групп молекул фосфолипида п БФС.

Таким образом, генерация ЭДС при гидратании ориентированной фосфолипидной иленки связана с возникновением структурной асимметрии гидрофильных зон фосфолипидных ламелл, что зависит от соответствующей ориентации полярных групп молскул фосфолипида в ламеллах. С другой стороны, так как контакт между электродами осуществляется гидрофильными зонами ламелл, то можно утверждать, что при генерации ЭДС разделение и перспос заряда осуществляются в гидрофильной зоне фосфолипидных ламелл.

Институт экспериментальной биологии АН АрмССР

Поступило 28.11 1978 г.

ՏԱՐԱԾԱԿԱՆՈՐԵՆ ԿՈՂՄՆՈՐՈՇՎԱԾ ՖՈՍՖՈԼԻՊԻԳԱՅԻՆ ԹԱՂԱՆԹՈՒՄ ՀԻԳՐԱՏԱՑՄԱՆ ԱԶԳԵՈՒԹՅԱՄԲ ԷԼԵԿՏՐԱՇԱՐԺ ՈՒԺԻ ԱՌԱԶԱՑՈՒՄԸ

ա. ա. Շագրենան, թ. վ. Սջատնոլննան

Ինչպես ինթնաբնրաբար, այնպես էլ հաստատուն էլեկտրական դաշտի հերդործությամբ կողմնորոշված ֆոսֆոլիսիդային քաղանքում, հիղրատացման ազդեցությամբ, առաջ է գալիս էլեկտրաշարժ ուժ։ Էլեկտրաշարժ ուժի առաջացումը պայմանավորված է ֆոսֆոլիպիդային լամելների ջրասեր մասերի կառուցվածբային անհամալափությամբ, որն իր հերթին հետևանք է լամելներում ֆոսֆոլիպիդային մոլեկուլների բևնոային խմբերի որոշակի տարածական կողմնորոշման։

THE GENERATION OF ELECTROMOVING FORCE IN THE ORIENTED PHOSPHOLIPID FILMS UNDER THE INFLUENCE OF HYDRATION

A. A. SHAHINIAN, Kh. V. STAMBOLTSIAN

In the phospholipid films oriented spontaneously or under the influence of constant electrical field, the electromoving force is generated during hydration, its rise is connected with the structural asymmetry of hydrophilic zones of phospholipid lamells, which is the consequence of the corresponding orientation of phospholipid molecule polar groups in lamells.

ЛИТЕРАТУРА

- 1. Кейте М. Техинка аппидологии. М., 1975.
- 2. Stein R. S. J. Polymer Sci., 24, 383, 1957
- 3. Черкисов А. И., Витовсков М. Г., Бушин С. В., Высохомол. соединения, 18, 1628, 1976.
- 4. Tardeten A. Luzzatt V., Reman F. C. J. Mot. Biol., 75, 711, 1973.

XXX1, 7, 1978

VAK 53,083,2:539:196 (547, 158.2)

О МЕХАНИЗМЕ ОБРАЗОВАНИЯ РАДИКАЛОВ ПРИСОЕДИНЕНИЯ В у-ОБЛУЧЕННЫХ РАСТВОРАХ ПИРИМИДИНОВЫХ ОСНОВАНИИ

г. в. абагян

Методом ЭПР исполодоваю взаимодействие этомов водорода в замороженных серпокислых растворах ипримидиновых оснований: уранная и цитольна. Парадлельно проанализированы превращения нарамагнитных центров и у-облученных замороженных растворах уранила уридина и уридин-5-дифосфорной кислоты в обычной и тяжелой воде (диапазон температур 80—250°К).

Основную часть парамагнятных центров, сохраняющихся в растворе после повышения температуры до 120°К, составляют электроны, стабилизироприние молекулой основания. При 160—200°К эти центры рекомбинируют с Н или ДН, в результате чего образуются радикалы, по своей структуре тождественные радикалы присоединения атомов Н или Д к пиримидиновому кольцу.

Свободные радикалы, возникающие при облучении пиримидиновых оснований—одной из важнейших компонент нукленновых кислот—методом электронного парамагнитного резонанса (ЭНР) изучались и ряде работ [1—1]. Существенное влияние на образование парамагнитных центров при облучении пукленновых кислот и составляющих их компонент оказывают активные продукты радиолиза воды — атомы водорода (П), гидроксильные радикалы (ОН), гидратированный электрон (е-

Атомы водорода аступают в реакции присоединения или замещения: н соединениях, содержащих непасыщенные связи (ппримидиновые основания), они присоединяются к ппримидиновому кольцу с расспаривапнем двойной С = С связи; в насыщенных соединениях (дезоксирибоза) происходит отрыв одного из атомов водорода С—Н связи с выделенисм Н₂.

Ранее нами при облучении водных растворов ДНК, тимидина и 5-метилцитозина [5, 6] было высказано предволожение о двухступенчатом механизме образования радикалов присоединения в пиримилиновых основаниях. Для подтверждения этой точки эрения в настоящей работе мы исследовали пути возникновения радикалов и у-облученных замороженных водных растворах уращила, интозина, ури лин-5'-дифосфорной кислоты—коммерческих препаратов без дополнительной очистки. В качестве модельного соединения был использован диоксан особой чистоты. Параллельно исследовали взаимодействие этих соединений с атомами водорода в растворах серной кислоты.

Опыты с у-облучением проводили с обезгаженными растворами $\rm H_2O$ и $\rm \Lambda_2O$ (содержание изотопа и $\rm \Lambda_2O$ — 99,5%). Непосредственно пе-

ред облучением образцы вакуумировали до остаточного равновесного давления водяных паров над ними 10⁻³тор при 77°К. γ-облучение водных растворов (бидистилятов) проводили в пробирках из стекла «Лучпри температуре кипения жидкого азота (77° К), от источника Сосо, мощностью 318 рад/сек, доза облучения 2 Мрад. Спектры ЭПР измеряли при 80° К на радноспектрометре ЭПР-2 НХФ, 3-сантиметрового днаназона.

Взаимодействие с атомами водорода осуществляли по методике. предложенной в работах Шалимова, Бажина и других [7, 8] Водный раствор (бидистилит) исследуемого вещества (2-10 - М) смешивали с растворами FeSO, и H₂SO₄ (Д₂SO₄), замораживали и освещали ультрафиолетовым светом. Во избежание нежелательных реакций в растворах исследуемое вещество добавляли в заранее охлажденный сернокислый раствор (рН 1.5), и смесь сразу же замораживали до 77°К. Получалась прозрачная, бесцветная, стеклообразная матрица. Освещение ультрафиолетовым светом проводили лампой СВДШ-1000 с воляным фильтром, экспозиция 11 мин, охлаждение жидким азотом -- в кварцевом сосуде Дьюара. Реакцию наблюдали методом ЭПР. После облучеиня растворов при 77°K ультрафиолетовым светом возникает интенсивный сигнал ЭПР от атомов водорода AII = 502 гс, при 110°К он всчезает, одновременно возникает и растет сигнал от исследуемого вещества. Атомы водорода реагируют с растворенным веществом с высокой эффективностью 30% от общего числа образовавшихся атомов водорода вступают в реакцию при 110°К.

На рис. 1 приведены спектры ЭПР радикалов, образующихся при изаимодействии этомов водорода с урашилом (а) и цитозином (а'). Аналогичный спектр ЭПР (с несколько иными константами расщепления сверхтонкой структуры (СТС)) зарегистрирован в диоксане. Константы СТС спектров в урациле и цитозине совпадают с данными других исследователей [9—12], изучавших изаимодействие этомон водорода с сухими препаратами. Атом водорода присоединяется к двойной —С4 = С5—связи, приводя к образованию радикала —СН2—СН—, с константами расшепления на α- и β-протонах, равными а_{Н3}—20, а_{Н3}—20, а_{Н3}—46. Эта структура косвенно подтверждается наблюдением такого же радикала (с близкими константами СТС расщепления) в диоксане, где, в отличие от пиримидиновых оснований, он возникает в результате разрыва С—Н связей. В структуре дноксана, при данном методе иници-

прования, любой возможный разрыв С—Н связей приводит к образопанию радикала только одного типа—СН₂—СН—.

На рис. 2 представлены результаты онытов по γ -облучению замороженных растворов уридин-5'-дифосфорной кислоты в H_2O и \mathcal{J}_2O . Подоб-

ные превращения (но менее четко) наблюдаются в растворах урацила и урядина.

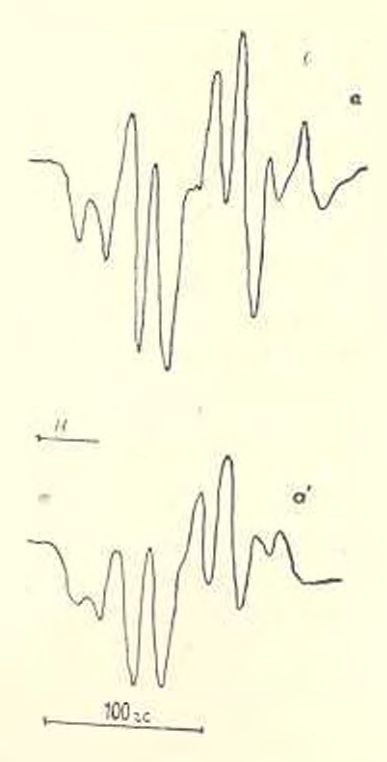


Рис. 1. Спектры ЭПР продуктов реакции этомов водорода с урацилом (а) и интозином (а²).

Верхний ряд спектров ЭПР соответствует растворам уридин-5'-дифосфорной кислоты в H₂O. При 77°K (рис. 26) спектр близок к спектру облученного льда [13] (ОН радикалы— асимметричный дублет ДН≈ 43 гс), однако в нем имеется также несколько дополнительных линий. При новышении температуры до 143°K интенсивность спектра значительно надает, и в нем остается плохо разрешенный дублет с ДН≈ 18 гс. Это свидетельствует о том, что при повышении температуры в основном ОП радикалы гибнут, не вступая во взаимодействие с молекулами растворенного вещества. При 193°K и далее дублетный сигнал ЭПР превращается в многокомпонентный спектр ЭПР, характерный для радикалов присоединения, наблюдаемых при взаимодействии атомов водорода с уранилом.

Аналогичные изменения спектров ЭПР зафиксированы в растворе уридии-5'-дифосфорной кислоты в растворах \mathcal{H}_2O (нижний ряд спектров). При 77°К (рис. 2b') спектр состоит в основном из дублетной линии и сигнала парамагнитных центров, возникающих при облучении чистой \mathcal{H}_2O . При повышении температуры до 120°К все парамагнитные центры \mathcal{H}_2O гибнут, по-видимому, не вступая во взаимодействие с молекулами растворенного вещества, и в спектре ЭПР остается лишь

публетная линия (рис. 2 с), причем интенсивность се сохраняется практически постоянной. При температуре выше 190°К заметно превращение его в многокомпонентный спектр соответствующими радикалами —СНД—СН—с одним атомом водорода, замещенным на дейтерий.

Максимальная концентрация радикалов присоединения в водном растворе достигается при 193°К, а в растворе \mathcal{L}_2O —при 213°К При более высоких значениях температуры (250°К) они гибнут.

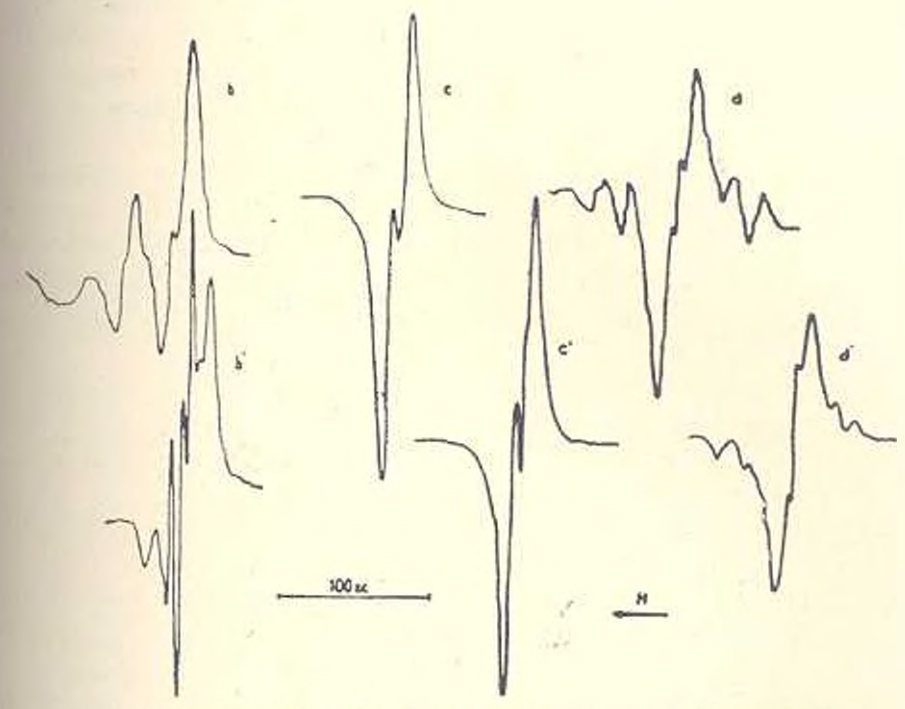


Рис. 2. Спектры ЭПР γ -облученных растворов уридин-5'-дифосфорной кислоты в $\rm H_2O$ (b, c, d) и в $\rm H_2O$ (b', c', d'). Концентрация 0,2 М. b, b'—при 77°К, c, с'—после отогрева образца до 143°К. d—до 200°К, d'—до 230°К Масштаб спектров c, c' (по ординате) увеличен в 2.5 раза.

Взаимодействие атомов водорода с пиримидиновыми основаниями, как правило, приводит к образованию радикалов присоединения. Это водтверждается данными, полученными при взаимодействии их с атомами водорода в сернокислых растворах. В замороженных (сернокислых) растворах атомы водорода присоединяются к основаниям при темвературе 110°К и выше, т. е. практически мгновенно. Атомы водорода реагируют с различными основаниями и нуклеозидами примерно с одиваковыми скоростями, причем скорость реакции определяется подвижностью их и твердой матрице.

При облучении замороженных водных растворов урацила, уридина, уридин-5'-дифосфорной кислоты реакции ОН радикалов не играют значительной роли в процессе радиолиза при 77°К и при последующем размораживании растворов При 120—140°К радикалы ОН становятся

подвижными и гибнут, не успен прореагировать с молекулами растворенного вещества (их исчезновение сопровождается значительным падением суммарной концентрации частиц без появления новых линий в спектрах ЭПР). Очевидно, постепенное размораживание растворов непригодно для исследования реакций радикалов ОН.

Атомы водорода при 77°K не стабилизируются кристаллической решеткой льда. Возможно, в процессе облучения они частично реагируют с основаниями, однако концентрация радикалов присоединения, возникающих при этом, невелика, во всяком случае, менее чем 10¹³ радикал/г, так как при 77°K спектр этих радикалов практически отсутствует.

При размораживании облученных при 77°К растворов урацила, уридина, уридин-5'-дифосфорной кислоты в области значений температур 120—200°К происходит интенсивное образование радикалов присоединения, и концентрация их увеличивается в несколько раз. в то время как в системе отсутствуют атомы водорода (рис. 2 d, d'). В растворах Н₂О возникают радикалы типа — CH₂—CH—, в растворах Д₂О аналогичиме, но дейтерозамещениме — CHД—CH— (скорость присоединения атомов Д меньше, чем атомов Н).

В промежуточной стадии, предшествующей образованию радикалов присоединения, возникают парамагнитные центры, соответствующие дублетному спектру ЭПР АН — 18 гс. Спектр этих центров одинаков в растворах нуклеотида (уридин-5-дифосфорная кислота), нуклеозида (уридин) и основания (урацил) и обычной и тяжелой воде. Следовательно, СТС спектра вызвана изаимодействием неспаренного электрона с протонами основания, а не растворителя или остатка дезоксирибозы. Парамагнитные центры, соответствующие дублетному спектру ЭПР, накапливаются в ходе облучения растворов при 77°К, и концентрация их сохраняется постоянной при новышении температуры до 150—160°К. Радикалы ОН или ОД, погибая, не рекомбинируют с ними, т. е. эти центры, скорее всего, имсют не радикальную природу.

Можно предположить, что активное участие в образовании парамагнитных центров, соответствующих дублетному спектру ЭПР, принимает другая компонента радиолиза воды — гидратированный электрон: в процессе облучения электроны стабилизируются на пиримидиновом основании с образованием пон-радикала, и именно этим парамагнитным центрам соответствует дублетный сигнал ЭПР (ΔH = 18 гс). На самом леле, константа скорости реакции гидратированного электрона с пиримидиновыми основаниями довольно высока к ≈10° — 10¹0 М → сек → [14], в то время как соответствующая величина при реакции с дезоксирибозой (рибозой) на несколько порядков ниже.

При повышении температуры электроны, стабилизированные молекулон основания, рекомбинируют с Н - (или Д), в результате чего образуются радикалы, аналогичные по своей структуре радикалам присоединения атомов Н (или Д) к кольцу урацила.

Таким образом, при у-облучении водных растворов инримидиновых оснований и соответствующих им нуклеотидов и нуклеозидов гидрати-

рованные электроны вносят основной вклад в образование радикалов присоединения. В первичном акте радиолиза они захватываются молекулой основания с последующим присоединением Н . При ниэкотемпературном облучении водных растворов этот путь образования радикалов присоединения является доминирующим.

Институт физических исследований АН АрмССР, г. Аштарак

Поступило 28.11 1978 г.

y—«ԱՌԱԳԱՅՔՎԱԾ ՊԻՐԻՄԻԿԻՆԱՅԻՆ ՀԻՄՔԵՐԻ ԼՈՒԾՈՒՅԹՆԵՐՈՒՄ ՄԻԱՑՄԱՆ ՌԱԳԻԿԱԼՆԵՐԻ ԱՌԱՋԱՑՄԱՆ ՄԵԽԱՆԻԶՄԻ ՄԱՍԻՆ

Հ. Ո. ԱՐԱՂՅԱՆ

ան քերողով Հետազոտվել են մինչև 110 K ստոեցված ծծմբական ինվի լուծույնում պիրիմիդինային հիմբերի՝ ուսացիլի և ցիտոզինի, ջրածնի և դեյահրիումի ատոմների Հետ փոխազդեցունյունից առաջացած աղատ ռադիկալները։ Միաժամանակ հետավոտվել են չ-Հառագայնված ուսացիլի, ուրիդինի, ուրիդին—5 երկֆոսֆորային ինվի ստոնցված լուծույնները ծանր և հասարակ ջրի մեջ։

80⁻K-ում ուսացիլի, ուրիդինի և ուրիդին—5⁻ երկֆոսֆորային քիվի չրային լուծույքներում ճառադայքման ժամանակ II ատոմները և OII ոա-

արկալները երկրորդական դեր են խաղում։

Մինչև 120 K պահպանվող կենտրոնների հիմնական մասը կաղմում են հիմրի մոլեկուլներով կայունացված էլեկտրոնները։ Ձերմաստիճանի 160—200 K տիրույթում այդ կենտրոնները փոխազգում են 11' կամ 1) -ի հետ, որի հետևանքով առաջանում են ազատ ռադիկայներ, որոնց կասուցվածքը նույնանման է արտեղինի օղակին 14 կամ D ատոմներին միացումից առաջացած ռադիկայներին։

THE MECHANISM OF THE FORMATION OF ADDITION RADICALS IN 7-IRRADIATED SOLUTIONS OF PYRIMIDINE BASES

G. V. ABAGHIAN

The method of Electron Spin Resonance (ESR) is applied to the study and analysis transforming the paramagnetic centres into irradiated irozen solutions of urazil, artdin and uridin-5-diphosphoric acid (temperature range 80—250°K).

Electrons stabilized by the molecule of the base constitute the principal part of paramagnetic centres to be found in the solution after the temperature has been raised up to 120°K. At 160—200°K these centres recombine with H⁺ or D⁺ restuting in radicals that are identical in structure with those arising from the addition of H or D atoms to the pyrimidine cycle.

JIHTEPATYPA

- 1. Schilds J., Gordy W. Proc. Natl. Acad. Sci. U. S. A. 45, 269, 1959.
 - Шен Пей Ген, Баюменфельд Л. А., Калмансон А. Э., Пасынский А. Г. Биофизика, 4, 3, 263, 1959.
 - 3. Eistnger J., Shatman R. A. Proc. Natl. Acad. Sci. U. S. A., 50, 694, 1963.
 - 4. Cook L. B., Wyard S., Internat. 1. Radiat. Biol. 11, 4, 357, 1966,
 - 5. Абагин Г. В., Бутягин П. Ю. Биофизика, 14, 5, 785, 1969.
 - 6. Abaghian G. V., Buttagin P. Ju Studia Biophysica, 15-16, 291, 1969.
 - 7. Шалимов Б. Н. ДАН СССР, 134, 145, 1960.
 - 8. Бажин И. М. и др. Кинстика и катализ, 6, 6, 1105, 1965.
 - 9. Holmes D. E., Myers L. S., Ingals R. B. Chem, Phys. 35, 380, 1961.
- 10. Cole T. Proc. Natl. Acad. Sci. U. S. A., 54, 1486, 1965
- 11. Herak N., Gordy W. Proc. Natl. Acad. Sci. U. S. A., 56, 1, 7, 1966.
- 12. Holmes D. E., Ingals R. B., Myers L. S. Juternat J. Rad. Biol., 12, 415, 1967.
- 13. Mc. Millman. Chem, Phys. 33, 609, 1960.
- 14. Anbar M., Neta P. Internat, J. Applated Rad, and Isotopes, 18, 493, 1967.

XXXI, 7, 1978

УДК 577.1,537.2

ИССЛЕДОВАНИЕ ЗАВИСИМОСТИ ОКИСЛИТЕЛЬНО-ВОССТАНОВИТЕЛЬНЫХ ПОТЕНЦИАЛОВ ОТ ПАРАМЕТРОВ ВОЗДЕЙСТВУЮЩЕГО ЭЛЕКТРОСТАТИЧЕСКОГО ПОЛЯ

Г. Г. АРЦРУИН, А. С. ТЕР-МАРКОСЯН

Исследован окислительно-восстановительный потенциал печени и мышцы белых беспородных крыс после воздействия электростатическими полями различных параметров. Покалано поььшение окислительно-восстановительных потенциалов; величния попышения и время восстановления зависит от вида ткани и дозы воздействующего фактора,

Научно-технический прогресс все более изменяет естественную экологическую среду обитания человека. В частности, в результате повсеместного применения синтетических материалов, электростатических полей (ЭСП) в технологических процессах, создания сверхвысоковольтных линий передач постоянного тока человек все чаще оказывается в сфере действия ЭСП, во много раз превышающего естественный фов.

Апализ литературных данных показывает, что ЭСП является фактором, на действие которого организм отвечает рядом обобщенных реакций. Однако оно обладает некоторыми особенностями и в ряде случаев действует как специфический фактор. В работах ряда авторов [1—3] приводятся косвенные данные, свидетельствующие об изменении уровия окислительно-восстановительных процессов после воздействия ЭСП. Однако вопрос, в какую сторопу смещается окислительно-восстановительное равновесие, остается открытым.

Известно, что наиболее интегральным параметром, позволяющим судить об уровие окислительно-восстановительных процессов в гканях, являются окислительно-восстановительные потенциалы (ОВП). Целью данного исследования явилось определение зависимости ОВП от длительности воздействия и напряженности ЭСП, определение динамики изменении этого показателя после воздействия указанного фактора. Выявление этих зависимостей позволит дать количественную оценку окислительно-восстановительных процессов после воздействия ЭСП различных параметров.

Материал и методика. ЭСП создавалось при помощи установки конденсаторного типа со строго контролируемыми параметрами поля. Подробное описание установки дано в наших предыдущих работах [4, 5]. Объектом исследования служили печень и мышца белых беспородных крыс-самнов весом 120—150 г. Поточниометрическое определение ОВП проводилось на приборе рН-340. В начестве измерительного электрода использовался электрод игольчатого типа. Для механической прочности и электроизолящии электрод напанвался в стекле При этом рабочая длина его составляла 3 мм, а толицина—0,3 мм. Электродом сравнения служил хлорсеребряныя электрод.

Определение ОВН производилось следующим образом животное фиксировалось на столике, векрынались брющили полость белрениав мышца, и измерительный электрод соответственно аводился в неченочную и мышечную ткань. При всех измерениях хлорсеребряный электрод принодился в контакт с подкожной клетчаткой черей разрей в коже при помощи волокии стекляниой трубки, наполненной плекщенным раствором КСІ. Из-за нанесенной при поедении электрода траным величина ОВН устанавливалась не сразу [6], она определялась черей 15—20 мин после введсиия электрод и ткань и пыражалась в милливольтах.

В первой серии экспериментов опытные животные подразделялись на 3 группы, по 50 животных в каждой. І группа подвергалесь воздействию ЭСП пепряженностью 2000 м/см. длительностью 1 час. П группа—ялительностью 24 час. 111—в течение 6 двей по 6 час. в день. К каждой группе имелись контрольные животные, по 10 на группу, которые содержались и идентичных условиях, но не подвергались воздействию ЭСП. Из всех трех групп сразу после поэлействий, через 1, 4, 7, 14 суток брались по 10 животных для измерения ОВП в мышце и печени. Аналогичные измерения проводились у животных из контрольных групп.

Во второй серии экспериментов животные подразделялись на 9 групп. В первую, контрольную группу, входило 37 животных. 8 опытных групп. по 10 животных и каждой, подвергались воздействию ЭСП напряженностями 250, 500, 1000, 1500, 20000, 2500, 3000, 3500 в/см, длительностью 1 час. Сразу косле воздействий проводились измерения ОВП печени. Параллельно этот показатель определялся у контрольных животных. Во избежание влияния циркадных ратмов все измерения проводились в одно и то же время суток. Результаты измерений представлены и виде разниц в ОВП опыта и контроля.

Результаты и обсуждени: У тановлено, что ЭСП исследованных параметров приводит к увеличению ОВП, мерой которого является величина электродного потенциала, определяемого формулой Периста

$$E = E_0 + \frac{RT}{nF} \ln \frac{|ox|}{|red|}.$$
 (1)

где Е-величина ОВП R газовая постоянная, Т—абсолютная температура, (ох)—концентрация окисленных форм—акценторов электронов, (red)—концентрация восстановленных форм—доноров электронов, п—число переходящих электронов для биологических систем.

$$E_0 = E_0 + \frac{R}{n_B} \ln [H],$$
 (2)

где Е., величина стандартного ОВП. [H-] — концентрация водородных нонов. Из формулы (1) следует, что для данных условий всякое изменение ОВП должно определяться отношением [cel] которое мо-кет увеличиться либо при вовышении концентрации акцептора электронов. либо при снижении концентрации донора электронов. Ранее нами было показано [7, 8], что воздействие ЭСП приводит к увеличе-

нию снабжения тканей кислородом и угнетению скоростей дыхания митохондрий. Следовательно, в единицу времени кислорода в ткани будет поступать больше, а утилизироваться меньше. В тканях он является одним из основных акцепторов электронов. Таким образом, увеличение ОВП в тканях после воздействия ЭСП можно объяснить увеинчением концентрации кислорода. В пользу такого объяснения говорят данные ряда работ [9—11], констатирующие уменьшение ОВП при кислородной недостаточности.

В табл. 1 представлены результаты первой серии опытов, из которых следует, что увеличение ОВП и период его восстановления зависят от вида ткани и длительности воздействия. Увеличение ОВП отчетливее выражено в печеночной ткани, что и следовало ожидать, так как она более активно участвует в охислительно-восстановительных процессах.

Таблица I Двизмика изменений ОВП после воздействия ЭСП, ма

Время после		Дантельность воздействия			
оздействии, сутки	Ткань	час п - 20	сутки n - 20	6 суток по 6 час ежедневно п =23	
0	мышца	8,2±0,591 12,82	22.5+1,53ō (+-7,81	15,1±1,527	
	пелени	30,5±3,79 12,47	59,0+3,65 16,70	37,8±1,03 1 15,97	
1	яышца	0.9±0.734	12,64-0.761	8,62-1-1,698	
	печень	-1,2+3,440 10,02	3,63 33,9+3,450 1,9,88	4,14 24,95±1,16 (10,25	
4	жыннда	= 0.1±0.234 (0.075	3,2±0,85 10,882	3,62±0,863 1,0,15	
	нечень	0.4±4.720	3,0 ± 3,476 10,70	4,25 · 1.440 1 1.37	
7	мышпа	-0,3-h0,518	16,4±1,6 t 5,36	7,72±1,56 + 3,92	
	печань	-0.1 <u>3</u> .22	50.84.052 14.27	23,65-2,08 t 7.96	
14	метица	0,1±0,354 0,01	0,6±0,578 0,16	-0,58±0,91	
	печень	0,6+2,5	-1,2±3,05	-1.15+1,82 1 0,38	

Сравнительно небольшой эффект и быстрое восстановление при 1часовом воздействии можно объяснить тем, что при этой экспозиции
происходят незначительные отклонения от нормы, и организм быстро
их нейтрализует. При 24-часовой экспозиции отмечаются значительные отклонения, для нейтрализации которых организму требуется
больше времени.

Небольшая эффективность длительных дробных воздействий, по всей видимости, обусловлена адаптацией организма к данному фактору. Об адаптации к ЭСП неоднократно говорилось в ряде работ [3, 12]. Некоторая волнообразность восстановительного периода, в частности выбросы на 7-е сутки после воздействия при 24-часовой и недельной экспозициях, является следствием неоднородной по времени восстановительной реакции организма на данное воздействие. Апалогичная цикличность восстановительного периода после воздействия ЭСП отмечалась нами ранее [7, 8].

В табл. 2 представлены результаты второй серии опытов, согласпо которым с увеличением напряженности, начиная с 500 в/см, происходит экспоненциальный рост ОВП, экспонента выходит на плато на-

Зависимость ОВП от напряженностей ЭСП, мв (п 47)

			Напряже	нпость ЭС	П. в/см		
250	500	1000	1500	2000	2500	30'.0	3500
.4±2,8 10.118				33,6]+1,37 t 15,27	34,1±1,48 + 14,89	35.6±1,6 (15.4)	37,2-1,96 1 13,2

ниная с 2000 в/см. ЭСП напряженностью до 500 в/см и длительностью 1 час исспособны вывести окислительно-восстановительные процессы из стационарного состояния. По всей видимости, в зависимости от длительности воздействия имеется конкретный днапазон напряженностей ЭСП, при котором нарушается нормальный ход окислительно-восстановительных процессов, кроме того, начиная с определенной напряженности нарушения этих процессов оказываются незначительными.

Изложенное дает основание полагать, что воздействие ЭСП приводит к существенному нарушению станнонарного состояния окислительно-восстановительных процессов. Увеличение ОВП указывает на смещение донорно-акцепторного равновесия в сторону превалирования окислительных форм.

Глубина нарушений и время восстановления зависят от длительности и напряженности ЭСП.

Ереванский государственный медицинский институт, лаборатория биофизики и молекулярной биологии ЦПИЛ

Поступпло 3.1V 1978 г.

Գ. Գ. ԱՐԾՐՈՒՆԻ, Ա. Ս. ՏԵՐ-ՄԱՐԿՈՍՏԱՆ

հշխատանքում հետալոտվել են ապետակ առևետների լյարդի և մկանային շյուսվածրի օրսիղավերականդնման պոտենցիայները՝ զանազան պարամետրներով էլեկտրաստատիկ դաշահը ներգործությունը առաջ է ընրում օրսիդավերականսնման պոտենցիալների մեծացում։ Վերականդնման ժամանակը և մեծացման չափը կախված են ներդործող ֆակտորի դողայից և հյուսվածքի

THE INVESTIGATION OF DEPENDENCE OF OXIDATIVE-REDUCTIVE POTENTIALS UPON THE PARAMETERS OF ELECTROSTATIC FIELD TREATMENT

G. G. ARTSRUNY, A. S. TER MARKOSSIAN

The oxidative-reductive potentials (ORP) of liver and muscle orats have been investigated following the treatment by electrostatic fields (ESF) of different parameters.

It has been shown that ORP increased under ESF treatment. The amount of increase and reduction time depends upon the variety of tissue and the dose of the treating factor.

JERTEPATYPA

- 1. Altmann G. Arch. Meteorol. gepin .. Bioklimatol. ser Radiat. research, 17, 269, 1969,
- 2. Schreinike A. Lechr. gen Hyg. 16, 7, 519, 1970.
- 3. Möse J., Schug S., Fischer G. Biomed. Techn., 17, 2, 55, 1972.
- А. Арцрини Г. Г., Романал Г. В., Кугузол А. Д., Пирузли Л. А. Нэп. АН СССР (сер. биол.), 3, 435, 1973.
- Арцруна Г. Г. Мат-лы научи, кожф мол. уч., посвищ XXV съезду КПСС. 32, Ерепон, 1975.
- Сумироков Г. В Окислительно-посстановительное равновесие и радиочунствительность организма, 31 М., 1970.
- 7. Пируэлн Л. А., Арцруни І. Г., Романов Г. В., Кутузов А. Д. Изв. АН СССР (сер. биол.), 5, 610, 1974.
- Мкртчян С. Л., Агируни Г. Г. Мат лы конф мол уч мед ин-ов Заканказск. респ., 103, Тбидиси, 1977.
- 9. Серяков В. Н. Деса Л. И Вести Москі вского университета, 6, 5, 87, 1970.
- Владимиров В. Г., Юсинов В. С., Поддубенский Г. А. Раднобнология, 11, 1, 102, 1971.
- 11. Дечев Г. Д., Москона А. И. Биофизика, 10, 3, 490, 1965.
- Катрушенко А. Г. Физиологические механизмы индивидуальной вдантации. 67, Л., 1967.

XXXI, 7, 1978

УДК 612.822.3

ПРОСТРАНСТВЕННЫЕ ОТНОШЕНИЯ ЭЛЕКТРИЧЕСКОЯ АКТИВНОСТИ КОРЫ ГОЛОВНОГО МОЗГА У ДЕТЕЙ ПРИ ВОСПРИЯТИИ ЗНАКОМЫХ ПРЕДМЕТОВ ПОСЛЕ СЛОВЕСНОЙ ИИСТРУКЦИИ

HRTP .1 1

Плучено вличние словесной инструкции на заражтер пространственных отношений электрической активности коры головного молга у детей при посприятии знакомых предметон Показано, что словесноя инструкции вызывает усиление процессов пространственной синхронизация биопотендиалов исследованных пои коры

Согласно современным представлениям арительное восприятие обеспечивается сложной многоуровневой системой с переменной структурой и большими во можностими переключений [1, 2]. Как указывал Анохии [3], и каждом конкретном случае задача, решаемая человеком, выступает в роли того «системообразующего фактора», который определяет соотношение различных уровней ополивния, т. с. структуру управляющего механизма в данных условиях.

В работах Хризман и Зайцевой [4, 5]. Зайцевой и Еремесвой [6] установлено, что у детен на ранних этапах развития на 2—3-м году жизни—процесс восприятия и опознания зрительной информации на уровне центральных образований мозга происходит за счет реорганизации пространственно-врем-иных отношений биопотенциалов мозга, их частотных характеристик — т пики межцентральных взаимодействий проскционных и ассоциативных зон

В дальненшем в связи с развитием регулирующей функции речи усложияется и эрительное восприятис, оно приобретает активный, целенаправленный характер [4, 7]. В связи с усложнением характера эрительного гиоэнса ребенка развиваются и совершенствуются центральные механизмы мозга, реглизующие процессы опознания предметов

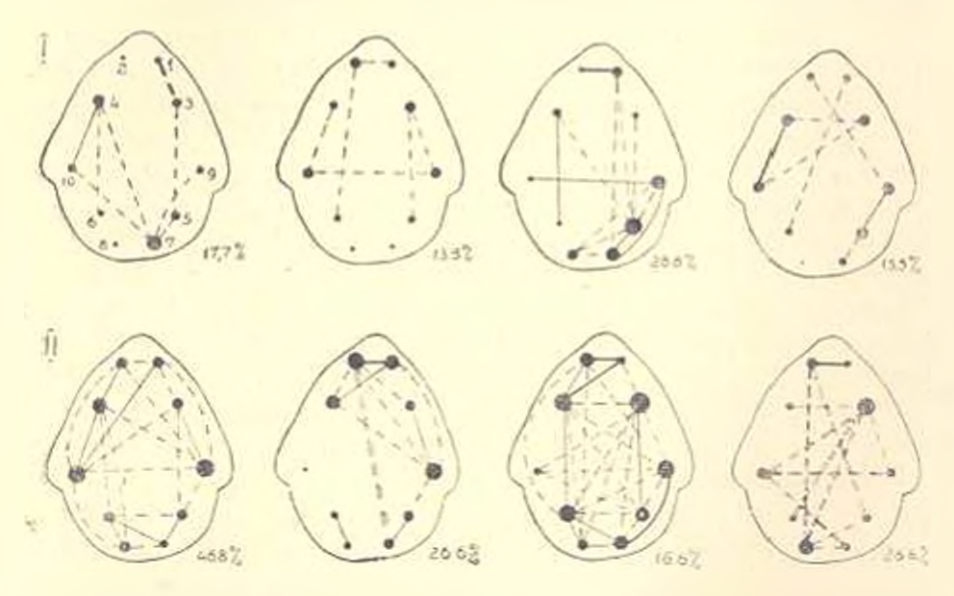
В данной работе была поставлена задача выянить особенности пространственной организации биолотенциалов мозга у детей 4—5-ти лет при восприятии знакомых предметов после словесной инструкции, направленной на активацию эрительной системы

Материал и методика. Электрические процессы мозга регистрировались у детей 4—5-ти лет (16 человек) в состоянии поков, при восприятии швиомого предмета до словесной инструкции и сразу воеле словесной инструкции «смотри» ЭЭГ отнодили учиполярно от 10-ти симметричных точек корм головного мозга: лобных, моторных,

нижнетеменных, затилочных и височимх на 17-канальном энцефалографе фирмы «Санай» (Япония) Обработка ЭЭГ кривых производилась методом корреляционного анализа, описанного подробно в работах Сологуб и Хризман [6, 9]. Достоверностиразличий вычислялась по хритерию U Вилкинсока—Маниа—Уитни [10].

Для понимания эначения словесных команд в регуляции функционального состояния мозга ребенка, в осуществлении процессов восприятии знакомых предметов начи оценивалась в сравнительном аспекте пристра кажения организация межнештральных корриляций биопотепциалов мозга непосредствению при восприятии предмета после словесной инструкции «смотр»» и без этой инструкции.

Результаты и обсуждение. Анализ индивизуальных данных покадал, что при предъявлении знакомого предмета. (без предварительной инструкции) характер межцентральных отношений биопотепциалов коры головного мозга характеризуется значительной вариабильностью. После инструкции «смотри» отмечается значительное понышение общего уровия пространственной синхронизации (рис. 1). Так, у первого



Рпс. 1. Организация междентральных корреляции биопотенциалов мозга у 4-х детей при предъяжнения знакомого предмета без преднарительной словесной инструкции (1) и после этой инструкции (11). Цифры под ехемани—общее число значимых коррелеций, %. Личии на схемах—на тичие корреляций. Цифры на слемах—номера отведений электродов

ребенка уровень взаимосиязанной электрической активности всех изучаемых зон до словесной команды составлял 17.7%, а после—48.8% Отмечалось значительное повышение числа межцентральных корреляций моторных зон с височными и инжистеменными зонами обонх полушарий, а также появление корреляций биопотенциалов добных дои с моторными центрами, чего не наблюдалось при предъявлении днакомого предмета без словесной икструкции. Имело место не только увеличение количестия связей, но и усиление их значимости за счет появления сплыных межцентральных корреляций. Устанавливались сплыные

внутриполушарные корреляции между височными и моторными, пижнетеменными и затылочными зонами обоих полушарий, а также моторной и лобиой областями левого полушария и межнолушарные корреляции потенциалов правой лобной с левой височной, правой затылочной с левой пижнетеменной зонами. У второго ребенка до словесной инструкции уровень пространственной синхронизации составлял 13.3%. Небольщое число слабых положительных связей устанавливалось между моториыми и височными зонами обоих полущарий, добной и вижнетеменной левого и симметричными центрами моторной и височной зон обоих полушарий. После словесной инструкции уровень пространственной спихронизации бионотенциалов возрос вдвое (до 26,6%). Усилилась взаимосвязь добных зон обоих полушарий за счет появления очень сидьной связи. Сильные связи появились между инжистеменными и затылочными зонами в обоих полушариях, а также между лобной правого и моторной левого полушария, моторной и височной правого полушария. У трегьего ребенка при предъявлении предмета без словеской инструкции уровень пространственной синхропизации блопотениизлов составлял 28.8%. Отмечались сильные связи между симметричными лобными и височными зонами левого полушария, а также между височной и затылочной, нижистеменной и затылочной в правом полушарии. Посне словесной инструкции уровень пространственной синхровизации повышался до 66,6%. Возникали очень сильные связи между лобной зовой правого и моторией левого полушария, а также между височной и затылочной зонами правого полушария. Сильные связи отмечались между лобной и моторной, моторной и нижнетеменной, нижнетеменной и затылочной зонами левого полушария, а также между нижнетеменной зоной левого и затылочной правого, инжистеменной и моторной правого полушария и симметричными центрами лобных и затылочных . йндашукоп хнодо нос

У четвертого ребенка при опознании знакомого предмета до словесной инструкции уровень пространственной снихропизации бионотенциалов мозга составлял 15,5%. Очень сильная связь устанавливалась между моторной и писочной зонами левого полушария, сильная связь между височной и нижиетеменной правого полушария. Отсутствовали межцентральные взаимосвязи левой затылочной со всеми другими исследованными зонами, а зрительная кора правого полушария была связана слабой положительной связью с нижиетеменной зоной того же полушария. После словесной инструкции очень сильная связь возникала между лобными зонами обоих полушарий. Интересно отметить, что нозникло большое число слабых отрицательных связей с фокусом в моторной коре правого полушария. Общой уровень межцентральных корреляний возрос у этого ребенка до 26,6%.

Изучение динамики распределения наиболее значимых межцентральных взанмосвязей (сильных и очень сильных) при предъявлении знакомого предмета (без инструкции и с инструкцией «смотри») пока-

зало, что общее число их без словесной инструкции составляло 4,7% (рис. 2) — Фокусы максимальной взаимосвязанной активности находи-

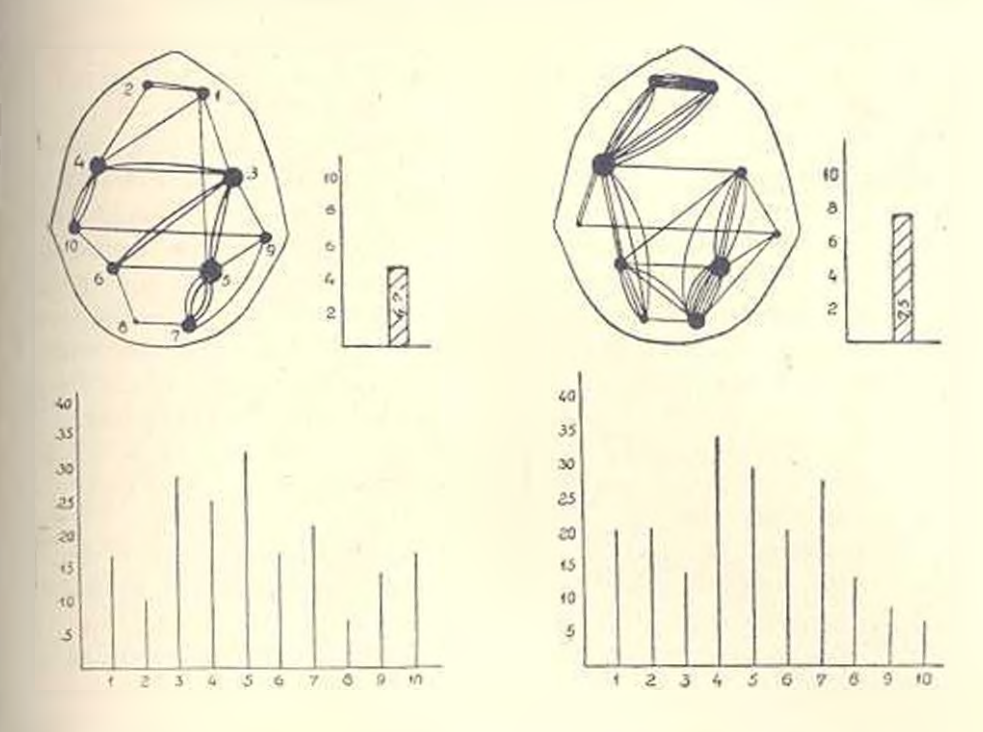


Рис. 2. Динамика распределения сильных и очень сильных взаимосвязей биопотенциалов при предъявлении знакомого предмета до словесной инструкции (слена) и после инструкции (спрана). Столбики справа от схем—общее число сильных и очень сильных корреляций биопотенциалов. Графики под схемами изменение сильных и очень сильных корреляций биопотенциалов во исех исследованных центрах,

лись в моторных зонах обоих полушарий, а также в нижиетеменной и затылочной областях правого полушария. Наиболее тесные синхроные отношения биопотенциалов устанавливались между моторной и височной зонами левого полушария, вижиетеменной и затыдочной правого полушария. После словесной инструкции «смотри» предъявление знакомого предмета вызывало повышение уровня пространственной синхронизации биопотенциалов неокортекса до 7,5%. В 2,5 раза возросло число междентральных взаимосвязей симметричных дентров лобных зон и в 4 раза—лобных зон обоих полушарий с моторной левого полушария (Р ≤ 0,01). В 2 раза увеличилось количество взаимосвязей моторной и нижиетеменной, а также нижиетеменной и затылочной зон правого полушария (Р ≤ 0,01). Значительные сдвиги произошли и в левом полушарии, где усилились взаимосвязи вижиетеменной воны с затылочными зонами обоих полушарий. Фокусы взаимосвязанной активности отмечались не только в правом полушарии, как при предъявтивности отмечались не только в правом полушарии, как при предъявтивности отмечались не только в правом полушарии, как при предъявтивности отмечались не только в правом полушарии, как при предъявтивности отмечались не только в правом полушарии, как при предъявтивности отмечались не только в правом полушарии, как при предъявтивности отмечались не только в правом полушарии. Как при предъявтивности отмечались не только в правом полушарии.

лении предмета без предварительной команды, но и в левом—в моториой, нижистеменной, лобной зонах и несколько меньше—в затылочной.

Проведенные исследования позволили установить, что у детей 4-5-ти лет пространственные отношения биопотенциалов мозга при опозпанки знакомых предметов после слонесной инструкции «смотри» неоднозначны и существенно отличаются от межнентральных взимосвязей биопотенциалов при отсутствии словесной инструкции. После словесной инструкции общий уровень пространственной синхронизации биопотенциалов у всех детей значительно повышался (в 2-3 раза). Озмечалось не только увеличение количества связей, но и повышение их значимости за счет появления сильных межцентральных корреляций. Наиболее взаимосвязанными оказались передине и задние ассоциативные зоны лобные и нижнетеменные, а также проскинонные затылочные зоны обоих полушарий. Сам факт появления высокосинхронных колебаний в теменно-затылочных отделах мозга свидетельствует обусилении функциональных отношений этих центров при опознании предметов и о важном значении нижиетеменных областей в регуляции прительных функции у человека.

Эти факты согласуются с данными многочисленных электрофизнологических исследований, выполненных на нейрональном, системном и поведенческом уровнях [11—13].

Особое значение в опознании предметов у летей имеют не только инжиетеменные, но и лобные структуры мозга.

Полученные нами результаты согласуются с имеющимися в литературе данными об облегчении зрительных вызванных потенциалов в ассоцнативных лобных отделах мозга у детей школьного возраста в ситуации селективного внимация, создаваемой предварительной словесной инструкцией [7, 14].

Таким образом, проведенные нами исследования позволили установить, что словесная команда регулируст у детей 4—5-ти лет процессы активного восприятия зрительных сигналов и эта регуляция осуществляется путем расширения участия как задних, так и передних ассоциативных структур неокортекса. Выявлены существенные различия в пространственном распределении взаимосвязей различных зои коры при восприятии знакомых предметов без словесной команды и после инструкции «смотри». Они выражаются в усилении процессов пространственной синхронизации биопотенциалов исследованных зон коры при восприятии знакомых предметов после словесной команды. Особенно увеличивается число сильных корреляций и лобных и инжистеменных ассоциативных зонах преимущественно левого полушария, а также проекционной зрительной зоне левого полушария.

Армянский государственный педагогический институт им. X. Абовяна

Поступило 15.V 1978г.

ԵՐԵԽԱՆԵՐԻ ԳԼԽՈՒՎԵՂԻ ԷԼԵԿՏՐԱԿԱՆ ԱԿՏԻՎՈՒԹՅԱՆ ՏԱՐԱԾԱԿԱՆ ՀԱՐԱՑԻՐՈՒԹՅՈՒՆՆԵՐԸ ԾԱՆՈԹ ԱՌԱՐԿԱՆԵՐԻ ԸՆԿԱԼՄԱՆ ԸՆԹԱՑՔՈՒՄ՝ ՔԱՌԱՑԻՆ ՀՐԱՀԱՆԿԻՑ ՀԵՏՈ

9. 9. 98805

Հետաղոտվել են 4—5 տարեկան հասակի 13 հրեխա։ Էնցեֆալոդրաման գրանցվել է հանդստի վիճակում, ծանոβ առարկայի ընկալման ընβացցում՝ առանց բառալին հրահանդի և անմիջապես բառալին հրահանդից հետու

Կենսանոսանըների միջկենտրոնայրն հարարհրությունների ասումնասիբությունները ցույց են ավել, որ գոյություն ունեն էական տարրերություններ պիտողեղի տարրեր սոնաների միջև հղած տարածական տեղարաշիման մեջ. երբ առարկան ընկալվում է բառային հրաժանգից հետո և առանց նրա։

Կեղեի ուսումնասիրված զոնանհրում բառային նրանանգը <mark>առաջացնում</mark> է միջկննարոնային կապերի ուժեղացում։

EXPANSIBLE RELATIONS OF CNILDREN'S BRAIN ELECTRIC ACTIVITY DURING THE PERCEPTION OF FAMILIAR SUBJECTS AFTER THE WORD INSTRUCTION

G. G. CHTIAN

The influence of word instructions on the nature of the electricactivity of children's brain during the perception of familiar subjects has been investigated.

It has been shown that the word instruction results in the intensiilication of processes of expansible synchronization of the investigated brain zone biopotentials.

JIHTEPATYPA

- 1. Лурия А. Р. Высине корковые функции человека. М., 1962.
- 2. Анохин П. К. Биология и нейрофизиология условного рефлекса. М., 1968.
- Анохин П. К. Принципнальные вопросы общей теории функциональных систем. М., 1971.
- 4. Хризман Т. П., Зайцева Л. М. Журн. высш. перви. деят., 25, 1234, 1975.
- Хризман Т. П., Зайцева Л. М. Журн. физиол. челонека, 3, 22, 1977.
- 6. Зайцева Л. М., Еремесва В. Д. Функциональная организация деятельности мозга. 14. М., 1975,
- 7. Фарбер Д. А., Фрид Г. М. Журн. высш. нервя. деят., 21, 5, 1056, 1971.
- Сологуб Е. Б. Электрическая активность модга человека в процессе дингательной деятельности. Л., 1973.
- 9. Хризман Т. П Движения ребенка и электрическая активность мозга. М., 1973.
- Гублер Е. В., Генкин А. А. Применение критернев непараметрической статистики или оценки различий двух групи наблюдении в медико-биологических исследованиях. Л., 1969.
- 11. Ватуев А. С., Васильева Л. А., Тапров О. П. Эволюция функций теменных долей мозга. 167, Л., 1973.
- 12. Bental E., Bihari B. J. Neurophysial., 26, 1963.
- 13. Bignall K. E. Exptl. Neurol., 17, 1967.
- 14. Фрид Г. М. Автореф, канд. дисс. М., 1972.

XXX1, 7, 1978

УДК 615 84:577,15.061

ВЛИЯНИЕ ЭЛЕКТРОСТАТИЧЕСКОГО ПОЛЯ НА ДЫХАНИЕ МИТОХОНДРИП ПЕЧЕНИ КРЫС

С. Л. МКРТЧЯН, Т. Г. АРЦРУПИ

Исследовались процессы окисления и фосфорилирования в митохондриях печени крые после поздействия электростатического поля при различных эксполициях. Показано нарушение сопряжения при одночасовой эксполиции и сравнительная адаптация к данному фактору при других, более длительных эксполициях.

Имеющиеся в литературе данные о влиянии электростатического поля (ЭСП) на биообъекты убеждают в его высокой биологической активности. Исследованиями ряда авторов было показано, что после ноздействия ЭСП наблюдается снижение уровия адениловых пуклеотидов [1], увеличение снабжения тканей кислородом [2], повышение общего уровня газообмена [3]. Подобные изменения либо должны привести к изменению тканевого дыхания, либо явиться следствием его. Цель данной работы заключалась в выявлении изменений в терминальном окислении после воздействия ЭСП

Материал и методика. Опыты проводилнеь на белых беспородных крысах-самиах весом 200—250 г. Электростатическое поле напряженностью 2000 в/см создавалось при номощи установки конденсаторного типа, имеющей строго регулируемые электрические параметры [1, 5]. Исследовалось влияние трех экспозиций ЭСП: часовой, суточной, педельной (по 6 час. каждые сутки). Во набежание влияния циркадных ритмов все опыты проводилнеь в одно и то же премя суток.

Митохоплрии печени крыс инвлекались по известной метолике [6], модифициронанной Мосоловой с сотр. [7]. Животные забивались непосредственно после воздейстиня ЭСП, через 1, 4, 7 и 14 суток.

Поглошение кислорода и митохондриях определялось полярографически на полярографе I. Р-7 (ЧССР) по метолике Эстабрука [8] с использованием модифицирований ячейки с мембранными электродами Кларка [9]. Среда никубации содержала 0.25 М сахарозу, 0.1 м КСІ, 0.1 М КН₂РО₄ 0.5 М MgSO₄, 200 мкМ АДФ. В качестве субстрата использовался сукцинат (10 мМ).

Измерялась скорость поглощения кислорода во всех трех метаболических состоянях: V_0 —дыхание «покоя», V_3 —активное дыхание, V_4 —дыхание «отдыха» (в на О'мин/мг белка). Δt преми фосфорилирования (в сек): $A \Pi \Phi / O$ —отношение эстерифицированного фосфора в мкМ $A \Pi \Phi$ к унилизированному кислоролу (в мкА); дыхательный контроль (ΠK) по Чансу—отношение

При одночасовой и суточной экспоэнциях ЭСП исследовалось два цикла фосфорилирования (с двумя добавками АДФ).

Количество белка в ячейке, определяемое по Лоури, составляло 1.5-1,7 мг.

Результаты и обсуждение. При одночасовом воздействии ЭСП параметры дыхания и окислительного фосфорилирования митохондрий нечени крыс изменялись следующим образом (табл. 1). Непосредственно восле воздействия наблюдалось изменение лишь двух показателей. — Δ^4 и АДФ/0. Первый из них увеличивался в обоих циклах фосфорилирования на 48 и 45% соответственио, а второй уменьшался на 32 и 22%. Соноставляя эти данные с небольной тенденцией к увеличению скоростей дыхания, можно прийти к выводу, что происходит некоторое синжение эффективности фосфорилирования и митохондрии переходят в рыхлосопряженное состояние. В следующие сроки исследования никаких достоверных изменений не было отмечено.

Эксперимент с односуточной экспозицией поли выявил несколько нные закономерности (табл. 2). Непосредственно после ноздействия ЭСП скорость поглощения кислорода но всех грех метаболических состояниях реако угнеталась V_2 на 31, V_3 на 50, V_4 на 55%. В дальнейшем эти показатели не колько увеличивались, хотя и остявались на уровне зиже контрольного. На 7-е сутки скорости дыхания резко падали, а к 14-м возвращались к норме ДК при данной экспозиции несколько увеличивался непосредственно после воздействия поля и нормализовался в последующие сроки эксперимента, за исключением 7-х суток. Продолжительность никла фосфорилирования увеличивалась непосредственно после воздействия на 42% и на 7-е сутки-на 19%, оставаясь в остальные сроки близкой к норме. Наменение АДФ/О выражалось лишь в небольшом упеличении его в первые часы после воздействия. В табл. З представлены результаты, полученные при недельной экспозиции. Так, скорость переноса электронов вновь падала непосредственно после воздействия ЭСП (V-на 23. VI-на 25. VI-на 13%), причем во втором цикле фосфорилирования эти показатели почти нормализовались Через сутки происходило углубление этих нарушений в обоих циклах фосфорилирования. На 1-е сутки никаких достоверных изменений не отмечалось, в то время как позднее (7-е сутки) скорости лыхания внонь уменьшались.

Дыхательный контроль при недельной экспозиции поля почти не изменялся. Аt, как и при предыдущих экспозициях, увеличивалось непосредственно после воздействия ЭСП на 1-е и 7-е сутки и оставалось повышенным даже на 14-е. Причем эти отклонения также были довольно значительными. Эффективность фосфорилирования (АДФ/О) при этом почти не изменялась во все сроки эксперимента.

Суммируя исложенное, можно отметить определенную направленность и полнообразность изменений тканевого дыхания после воздейстния ЭСП Так, наибольшие отклонения от контрольного уровня наблюдаются в основном непосредственно после поздействия и через 1 сутки, натем они повторяются через 7 суток. Возможным объяснением этого может быть определенная адаптация животных к данному фактору Аналогичная цикличность наблюдалась в экспериментах по выживаемости животных после сочетанного воздействия радиацией и ЭСП [10], а

		Сроки исследования					
5	Контразь	непосредственно после поздействия	1-е сутки	4 о сутки	7-е сутки	H-e cyrni	
V ₂	51+2,2	54 \$\div 2,7	55±0.9	51±1.7	48±2.3 t=0.94	52±1.7 1 0,37	
	63±3,6	63+2,9	75±0,8	69+2,6 1 1.35	63 ± 3.5 $1 = 0$	63±4.4 1 0	
V ₃	161+9,4	172 ± 5.4 t = 1.02	193 ← [1,3 1 2,18	179-1-7.7 1 1,47	165 + 8.8 1 = 0.31	162 <u>+</u> 13 1 0,06	
	176±9,4	170 ± 1, 1 1 0,04	207+12 1= 0,65	192 - 9.7 1 - 1.51	171±19,9 1 0,35	175 ± 15,5	
V ₄	63+3,6	74.4±4.4 t 1.93 66±3.3	76+0.9 t-3.51 781.3	68+1.9 1	61+3,2 1-0,22 65+3,8	65±4,1 1 0,35 68±4,2	
714	684-3	1-0.55 2.38±0,12	1 - 1,64 2,55+0,13	0,19 2,6±0,22	1=0,17 2,57 - 0.11	1: 0 2,51:60,0	
дк	2,57+0,22	1=0,76 2,56+0,15	1 0,03 2,69 ± 0,15	1=0,1 2,76±0,12	t=0 2,7±0,15	2,5150,05 0,25 2,55 0,16	
1 1	2,7 ±0,21 68,4±4,56	1 0,55 101,1±8,93	66,6+6,19	1 = 0,25 73,7 + 3,57	76,1 9,05	76,8±6,53	
r) I	68.5-4.95	1 3,2 99,3 <u>+</u> 8,97	(=0,23 63,7±6,90	76,9 <u>-1-</u> 11,88	1 0,76 81,2-+5,31	t=1.05 74.3+5.24	
АДФ/О	1,42+0,043	0.97 ± 0.043	1 0,57 1,28→0,11	1 = 0.64 1,22+0,051	1 1,74 1,31±0,04	1,29+0.03	
	1,27±0,08	0,99 <u>:1-</u> 0.02 1-3,5	1,16 1,25+0.11 1=0,15	1.09+0,14 1.12	1 1,92 1,15±0,04 1=1,35	1 - 2 ,32 1 ,2+1 ,04 1 0 ,78	

 V_2 , V_3 , V_4 —скорости потребления кислорода, и $\Lambda/$ мин/мг белка. ДК— V_1V_2 Δt время фосфорилирования, еек. Количество животных и каждой серии экспериментов составляло 7—12. В таблице представлены данные по двум инкаам фосфорилирования.

Таблица 2 Параметры дыхания и окислительного фосфорилирования митохондрий печени крые и различные сроки после воздействия электростатического поля продолжительностью 1 сутки

			Сроки	исследования		
	Контроль	непосредственно после воздействия	1-е сузки	4-е сутки	7-е сутки	14-е сутки
V _a	26+2,2	18 1,6 1-2,86	21 ±5,4 1 = 0,86	22±2.1 t 1,33	17±1,6 1-6,0	22-1,1 t=1,6
V_3	125±11	61士7,5 t 8,16	92±7,91 1=2,29	956,6 1 4,18	72±8,2 1 3,64	97±4,7 1=2,16
V_{1}	56+6,3	25+1.8 1=0.69	38 ÷ 5.7 1 = 2.14	38±2,6 (2,6)	36+6,6 (2,22	46 +3 8 t 1 34
ДК	2,19+0,095	2,65+0,19 (=2,09 j	2.58±0.12 t=2,44	2.79+0,17 t=3,07	2,64±0,52 t=0,87	2,20 - 0,14 1 = 0,58
71	134,4+7,2	190,2±22,8 1=2,31	$145,2 \pm 13,2$ 1 = 2,27	124.8+10.8 1 0.77	159,6±7,8 1 13,2	125,4±7,2 t=0.87
АДФ/О	1.53+0.05	1,78 0,25 1 4,9	1,55±0,05 1= 0, 33	1,64±0.041	1,60±0,18 t=0,12	1,49-0,089 1=0,35

В таблице представлены двиные по одному шиклу фосфорилирования.

Таблица 3 Параметры дыхания и окислительного фосфорганрования митохондрий нечени крыс в различные сроки после воздействия электростатического поля продолжительностью 1 неделя

			Сроки	исследова	H H H	
	Контроль	испосредственно после ноэлействия	1-е сутки	4-е сугки	7-е сутки	14-е сутки
V ₂	47-1-2,2	36±1,5 t 4,07	31-+1.9 1=5,52	16+3,5	37,8±4,2 (⇒2,42	42+2.0 1=1.72
	62十3,2	54+3.2	41+2.7	66±5.5	544.6	56+2.2
12	150:::7,9	113+7,4	1 1.46 119±6,0	116+15,9	t=2.0 121 ± 14.1	(=1.58) $126+3.7$
	159 9,4	1- 3,42 116+8,3 1-3,44	$1 = \overline{3}, 13$ $119 + 6.0$ $1 = \overline{3}, 13$	t = 0.23 156±17.9 t = 0.15	1-2.07 127+15.9 1-2.2	t = 2.76 $134 + 4.6$ $1 - 2.13$
	62+3,2	54 ± 3.2	41-2,7	66 ±5.5	54-4.6	56 + 2.2
	61±2,2	1 1,77 56+3,8 1=1,16	1 4,46 45-1-3,2 1=4,2	65 ± 3.6	1 = 2,0 50+2,1 1=3,79	1=1.58 55+1.2 1 2.6
IK	2,36+0,13	2,04+0,06	2,65→-0,18	2,21+0,15	2,22+0,11	2,24±0.086
	2,6±0,14	$ \begin{array}{c} 1 - 2.18 \\ 2.02 + 0.12 \\ 1 - 2.97 \end{array} $	1 1,31 2.67÷0.19 t=0,3	1 0,75 2.32+0,18 t=1,2	1 0,81 3,23+0,106 1-2,05	t 0,75 2,41+0,08 t 1,15
7.6	80.9±3,6	103+10.73	100,9 5,34	92,6+12,67	116,96 + 8,45	102,15,23
	80,1+3,3	1 = 1.98 $108.3 + 12.57$ $1 = 2.16$	1-3,1 102,4 ±6,41 1 3,09	1 0,8 94,5±12,24 1 T,13	1 4.0 122.2±10.67 1 3,75	99,6 <u>+</u> 4.79
V 及中/O	1,33 +0,042	1,48-0,15	1.35 ± 0.045	1,32-0,08	1,17+0,067	1.21+0.05
	1,23+0,027	1,39±0,04 1=3,07	1=0,33 1,27+0,75 1=0,5	1,19+0,05 1=0,73	$ \begin{array}{c c} 1 & \overline{2},05 \\ 1,16 + 0.044 \\ 1 = 1,37 \end{array} $	1,19±0,05 1,19±0,7

В таблице представлены данные по двум циклам фосфорилирования

также при исследовании уровия газообмена после воздействия ЭСП [3]. Основываясь на предыдущих работах, показавших увеличение снабжеиня тканей кислородом после воздействия ЭСП [2], можно предположить, что это является одинм на факторов, вызывающих описываемые изменения в цепи переноса электронов и сопряженном с инм синтезе АТФ. Так, синжение скоростей дыхания во всех грех состояниях при суточной и педельной экспозициях и одновременное увеличение времени фосфорилирования, возможно, являются следствием токсического действия повышенных концентраций кислорода. Эти данные согласуются с работой Елисеевой и др. [11], и которой показано аналогичное снижение скоростей дыхания и увеличение Λt при увеличении концентрации кислорода в опытах іп vitro. В пользу этого предположення говорят также данные об угистении фосфорилирования при окислении а-кетоглутарата [12], уменьшение восстановления НАД путем обратного транспорта электронов [13], синжение содержания АТФ в тканях животных, находящихся в атмосфере повышенного давления кислорода [14], Однако, как было показано этими работами и подтверждено нашими исследованиями, при гипероксии наблюдается быстрая нормализация параметров окисления и фосфорилирования. Об этом свидетельствуют также более близкие к контрольным цифрам данные второго цикла фосфорилирования, проводящегося в гой же пробе. Косвенным доказательством участия кислорода в процессе повреждения могут служить также полностью противоположные нашим данным результаты исследований тканевого дыхания при гипоксии [15, 16].

Сравнительно небольшие изменения интенсивности окисления при одночасовой экспозиции, вероятно, можно объяснить меньшим временем воздействия ЭСП. Однако снижение коэффициента АДФ/О, увеличение АТ и тенденция к интенсификации дыхания при этом говорят о выражением нарушении эффективности фосфорилирования, т. е. о разобщении дыхания и инконления эпергии. Тот факт, что этого не происходит при других, более длительных экспозициях нам кажется закономерным, так как при этом, возможно, включаются определенные механизмы адаптации, не усневающие сработать при кратковременном воздействии ЭСП.

Конечно, «кислородная» гипотеза действия ЭСП не исключает и другие механи мы влияния последнего на тканевое дыхание. Так, нарушение сопряжения дыхания и фосфорилирования при этом может происходить путем синжения мембранного потенциала митохондрий [17]. Изменение скорости транспорта электронов, возможно, происходит благодаря определенным сдвигам в структуре и функции компонентов дыхательной цепи, обеспечивающих этот перснос. Не исключены изменения в гем-белковой связи цитохромов дыхательных ансамблей аналогично изменению гем-глобиновой саязи под действием ЭСП [10].

На данном этапе исследований трудно представить себе конкретные механизмы воздействия ЭСП на тканевое дыхание. Возможно, все они срабатывают одновременно или включается лишь одни или некото-

рые из них. Несомнению, однако, что воздействие ЭСП при указанных режимах приводит к определенному угнетению дыхания, а в некоторых случаях и к подавлению окислительного фосфорилирования.

Ереванский государственный медицинский институт, кафедра биохимии, лаборатория биофизики и молекулярной биологии ЦШИЛ

Поступило 3 IV 1978 г.

ԷԼԵԿՏՐԱՍՏԱՏԻՐ ԳԱՇՏԻ ԱԶԳԵՑՈՒԹՅՈՒՆԸ ԱՌՆԵՏՆԵՐԻ ԼՅԱՐԳԻ ՄԻԹՈՔՈՆԳՐԻԱՆԵՐԻ ՇՆՉԱՌՈՒԹՅԱՆ ՎՐԱ

Ս. Լ. ՄԿԻՏՉՑԱՆ, Գ. Գ. ԱՐԾԻՈՒՆԻ

Հետազոտվել է տարբեր էրադողիցիաների պայմաններում էլեկտրաատատիկ դայաի արդեցությունը առևետևերի լյարդի միվորոնդիրաներում օրսիցացման և ֆոսֆորիլացման պրոցեսների վրա։

Ցույց է արված, որ մեկժամյա էրացողիցիայի դեպրում իստիավում է այդ պրոցեսների զուգակցումը։ Էքսպողիցիայի տեսղությունը երկարացնելու ղեպքում, շնորհիվ ադապաացիայի, այդ պրոցեսների գուդակցումը համեմատաբար կարգավորվում է։

THE EFFECT OF ELECTROSTATIC FIELD ON THE RESPIRATION IN RAT LIVER MITOCHONDRIONS

S. L. MKRTCHIAN, G. G. ARTSRUNY

The oxidation and phosphorylation processes have been investigated after the influence of electrostatic field at different expositions.

The obtained results show the coherence desintegration at an hour long exposition and the comparative adaptation to the given factor at more prolonged expositions.

ЛИТЕРАТУРА

- 1. Портноз Ф. Г., Непомнящий Л. И., Перусалимский П. И., Гигиена груда и биологическое дейстине электромагиитных ноли радиочастот 102, М., 1972.
- 2. Mose V. R., Fisher G. Arch. Hyg., 154, 6, 549, 1971.
- 3 Sshritnicke A. Zecr. gen. Hyg., 16, 7, 519, 1970.
- 4. Арцруни Г. Г. Мат-ли конф. мол. уч., посвящ. XXV съезду КПСС, Ереван, 1975.
- 5. Арцируни Г. Г., Роминов Г. В., Кутуров А. Д., Пирурян Л. А. Изв. АН СССР (сер. биол.), 3, 135, 1973
- 6. Hageboom G. H., Schneider W., Pullade G. E. 1. Biol. Chem., 172, 619. 1948. 7. Мосолова Н. М., Горская Н. А., Шольц К. Ф., Котельникова А. В. Методы современной биохимин. 45, М., 1975.
- 8. Estabrook R. W. Meth In Enzym., 10, 41, 1967.
- 9. Шольц К. Ф., Островский Д. Н. Методы сопременной биохимин. 52, М., 1975.
- 10. Аририна Г. Г. Канд. дисс., М., 1973.
- 11 Елисеева С. В., Котова Е. И., Кондрашова М. Н. Сб.: Митохопдрии, структура и функции в ворме и патология. 122, М., 1971.

- 12 Barron E. S. O. Arch. Blochem., 59, 502, 1955.
- 13. Chance B., Coles G. A. Nature. 30, 257, 1965.
- Sanders A. R., Hall U. H., Cavanaudh P. V., Woodhall B. Proc. Soc. Expl. Biol. and Med., 121, 32, 1966
- 15. Толейкие А. И., Правькающие А. К. Сб.: Митохондрии. Структура и функции в норме и патологии. 99, М., 1971.
- 16 Хватова Е. М., Шуматова Е. Н. Варыпаева И. С. Сб.: Митохондран. Аккумуляция эперсии и регуляция ферментативных процессов 32. М., 1977.
- 17. Скуличев В. И. Трансформания эпергии в биомембранах. М., 1972.

2 U 3 U U S U 5 F 4 B 5 II U F U 5 U 4 U 6 2 U 5 F B U Б И О Л О Г И 4 Е С К И Я ЖУРНАЛ АРМЕНИИ

XXXI, 7, 1978

УЛК 377 3

ИЗУЧЕНИЕ ВЛИЯНИЯ ГАНГЛИОЗИДОВ НА СТРУКТУРНУЮ ЛАБИЛЬНОСТЬ КОМПОНЕНТОВ БИОМЕМБРАН МЕТОЛОМ ФЛУОРЕСЦЕНТНОГО АНАЛИЗА

Э. Е. МХЕЯН, Э. С. СЕКОЯН, С. А БАДЖИНЯН, О. П. СОЦКНЯ, С. Э. АКОПОВ

Установлено, что ганглиозиды повышают интенсивность флуоресценции 1-анилинонафтални-8-сульфоната (АНСТ), связанного с вывороточным альбумином человека, между тем как квантовый выход флуоресценции триптофанилов белка они уменьшают. Указанные эффекты возрастают с увеличением концентрации ганглиозидов и удлинеинем времени их контакта с сывороточным альбумином человека. Путем конформационных изменений ганглиозиды вызывают сокращение расстояния между тарозином и триптофаном, а также между триптофаном и поверхностно расположенными зондами, что свидстельствует о приближении триптофана к поверхности белковой глобулы. Кроме того, они способствуют росту квантового выхода флуоресценции АНСТ, связаиного с липосомами.

Изучение мембранных механизмов, обеспечивающих проявление бнологической активности ганглиозидов, в том числе обнаруженного впервые нами их вазоконстрикторного действия [1], позволило установить, что нейрональные ганглиозиды обнаруживают способность вызывать конформационные изменения микросомальных мембран. Одновременно нами была выявлена возможность внедрения гидрофобной части молекулы ганглиозидов вглубь мембраны при их длительном контакте с микросомами мозга и печени и выдвинуто предположение о роли мелленных конформационных изменений в белках [2].

В настоящем исследовании ставилась задача дальнейшего научения механизмов действия ганглиозидов на мембранные структуры путем флуоресцептного акализа, плияния их на сывороточный альбумин человека (САЧ) и липосомы из янчного лецитина. Целесообразность пронедения подобных исследований обусловлена тем, что, как свидетельствуют данные литературы, САЧ и линосомы могут служить моделями белковой и липидной фаз биологических мембран [3].

Материал и методика, Использовнай сывороточный альбумий человека фирмы «Reanal» и липосомы, полученные из янчного лешити и по методу Пападыеоналоса и Миллера [1]. Опыты провелены с номощью отрицательно заряженного доидл 1-вин-липонафталии-8-сульфоната (АНСТ) и регистрации собственной флуоресценции трий-тофанилов белка. Спектры флуоресценции снимали на спектрофлуорометре МРЕ-2А фирмы «Hitachi» (Япония), с автоматической коррекцией на чумствительность; спектры поглощения—на спектрофотометре USP-2. В тех случаях, когда оптическоя

плотность превышала 0.1. учитывался эффект внутреннего фильтра [5]. Кнаитовый выход флуоресценции измерялся отночительным методом [6]. Эффективность переноса энергии и случае миграции с тирозина на триптофан рассчитывалась по формуле

$$\frac{q_0}{q_0} = \frac{1q_{280}}{q_0} = \frac{1}{q_0}$$
 [8] Ган-

ганозилы выделяли из серого вещества головного мозга людей, погибших от несчастных случаев, по методу Богоча в нашей модификации [9]:

Результаты и обсуждение. На рис. 1 представлены данные о влиянии ганглиозидов на флуоресценцию АНС-, связанного с САЧ, в условиях различной продолжительности контакта ганглиозидов с белком (рис. 1).

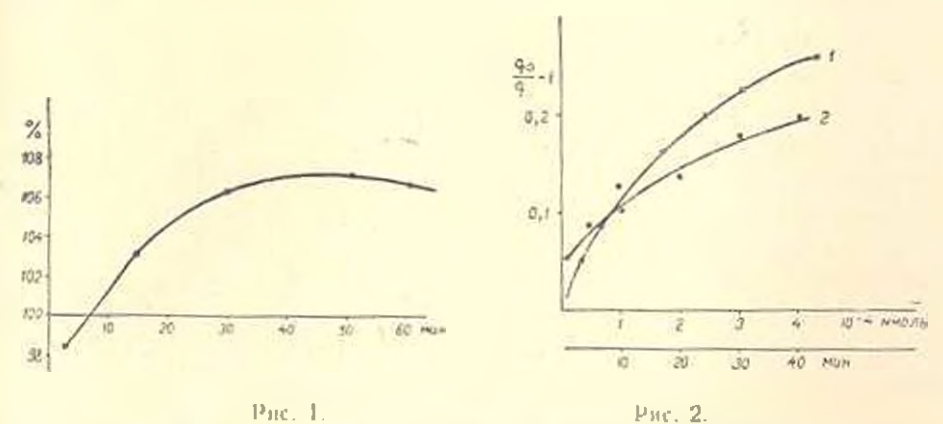


Рис. 1 Влияние гантлио идон (2-10-4 ммоль) на интенсивность флуоресценции АНС—, связанного с САЧ, и зависимости от премени пикубации их с белком.

Рис. 2. Тушение ганглиозидами флуоресценции тринтофанилов САЧ а зависимости от концентрации (1) и времени их контакта с белком (2).

Как следует из графика, ганглиозиды в начальный момент конгакта с белком нызывают некоторое тушение флуоресценции зонда. затем этот эффект сменяется усилением флуореспенции, которая достигает максимума к 30-й мин инкубации ганглиозидов с белком. Через 24 час. после преинкубации отмечается еще больший рост интенсивности флуоресценции зонда. Потенцирующий эффект после 30-й мин инкубации белка с ганглиозидами растет с увеличением концентрации последних в среде. При этом имеет место взаимодействие двух противоположных эффектов: увеличение константы связи и уменьшение количества центров связывания. Равиодействующая этих двух сил и регистрируется нами в виде унеличения интенсивности флуоресценции зонда. чем и можно объяснить ее относительно малый рост. По-видимому, в начальный момент контакта ганглиозидов с белком превалирует эффект изменения заряда белка, затем, в результате медленных конформационных изменений, происходит изменение константы сиязи с ростом квантового выхода флуоресценции белка и тушащий эффект сменяется противоноложным. Намерение квантового ныхода белка относительно триптофани подтверждает подобное предположение, при этом указанный показатель при концентрации ганглиозида 10⁻¹ ммоль возрастает на 8, 2·10⁻¹ — на 10 и 4·10⁻⁴ ммоль — на 13°_г.

Нами изучалось также влияние ганглиозидов на флуореспенцию триитофанилов белка. Как следует из рис. 2 (кр. 1), под воздействием ганглиозидов происходит выраженное падение квантового выхода флуоресценции гриптофанилов, причем тушащий эффект возрастает с ростом их кониситрации в среде (рис. 2). Обращает на себя винмание, что указанная зависимость, выраженная в Штери-Фольмеровских координатах, представлена не прямой, а изогнутой линией, что свидетельствует либо о валичии двух или более видов центрон связывания, либо о коонеративности связывания ганглиозидов с белком. Тушащий эффект ганглиозидов усиливается по мере увеличения времени их контакта с белком (рис. 2, кр. 2), что подтверждает предположение о медлениых конформационных изменениях в САЧ.

В последующих опытах изучалось изменение эффективности миграции энергии с тирозина на тринтофан белка, а также с триптофана белка на зонды АНС— и акридиновый оранжевый (АО+). Согласно данным таблицы, ганглиозиды (2-10-4 ммоль) вызывают понышение эффективности миграции энергии с тирозина на триптофан, одновременно наблюдается аналогичный эффект в отношении переноса энергии с триптофана на АНС— и АО+ (табл.). Эти данные указывают на уменьше-

Слика Байна Таблина одненение эффективности миграции энергии поллействием ганглиозилов (т 6)

Донор	Акцентор	Конгроль	Ганганозиды, 2-10 ⁻¹ ммоль	Гапилнозилы, 4-10 ⁴ ммоль
Тринтофан	AПС [—]	0,31±0,02	0,39±0,02	0,37+0,03
Тринтофан	АО ⁴	0,18±0,02	0,27±0,01	0,29+0,01
Тирозин	триптофан	0,21±0,018	0,26+0,03	0,25+0,02

ние расстояния между указанными элементами. Поскольку использованные нами заряженные зонды в отличие от нейтральных не проникают в гидрофобные карманы белковой глобулы, а находятся близко к поверхности [10], полученные результаты можно интериретировать как выход единственного тринтофанила белка на поверхность белковой глобулы. Об этом свидстельствует и длинноволновый сдвиг максимума флуоресценции, говорящий о повышении полярности окружения тринтофанила [11], что связано, по-видимому, с увеличением доступа полярного растворителя — воды — к тринтофанилу белка.

Интересные данные получены в экспериментах с изучением влияния ганглиозидов на флуоресценцию АНС=, связанного с липосомами из янчного лецитина. Как следует из рис. 3, под воздействием ганглиозидов происходит значительное увеличение квантового выхода флуоресценции

зонда (рис. 3). Для изучения характера связывания АНС— е линосомами нами были построены графики Скэтчарда [12]. Концентрацию связанного и свободного зонла рассчитывали по Добренову [13]. Как следует из рис. 4, график Скэтчарда представляет собой прямую линию, что свидетельствует о наличии всего одного вида пентров связывания — очла с линосомами. Константа связи АНС— е линосомами составляла 5-10-4 М⁻¹. Что приблизительно равно константе связи для ТНС = [14]. Концентрация центров связывания составляла 10-3 моль. Под воздейстием ганглиозидов концентрация центров связывания практически не изменялась, а константа связи возрастала до 7-10-4 М⁻¹.

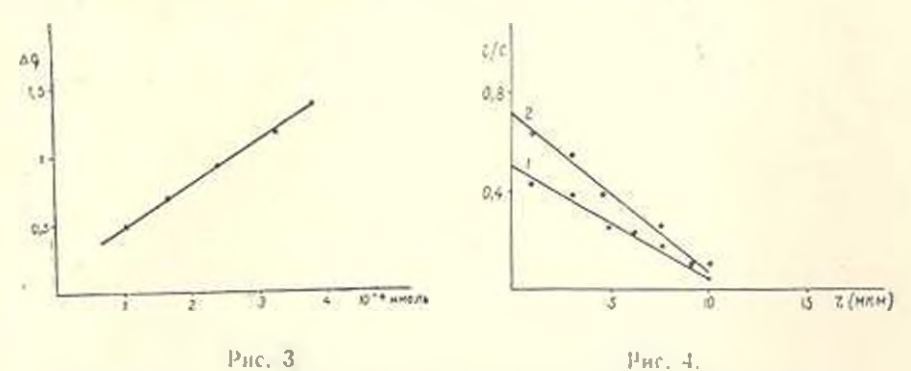


Рис 3. Рост кнавтового выхода флуоресценции связанного с липосомами AHC = по г действием различных концентраций ганглиозидов.

Рис 1 Сиязывание AHC с липосомими и отсутствие ганглиозидов (1) и при концентрации их 2-10 - 6 ммоль (2) (график Скэтчарда).

Следовательно, ганглиолиды вызывают значительные конформационные изменения в липосомах. Преникубация их в течение I час, не вызывала существенных савигов в характере влияния ганглиозидов на липосомы. После 24-часовой преникубации при 3—4° наблюдалось спижение активирующего действия ганглиозидов на флуоресценцию связанного с липосомами АНС— на 48,1±1,8% (P<0.05).

Сопоставляя приведенные здесь данные с результатами, полученными нами ранее, можно заметить однонаправленность и сходство эффектов ганглиозидов на биологические мембраны. САЧ и липосомы. Во всех случаях наблюдается рост квантового выхода флуоресценции АНС г с увеличением константы связывания зонда. Наиболее выраженно этот эффект проявляется на биологических мембранах и липосомах, в меньшей степени на белке Следовательно, ганглиозиды, повидимому, имеют сродство и к белковым и к липидным компонентам мембран. Это в свою очередь дает основание считать, что они могут цействовать на участках белково-липидных контактов, тем более что этими участками мембран, по имеющимся литературным данным, связывается и АНС [15].

Ереванский государственный медицинский институт, кафодра общей и клипической химии, кафедра фармакологии

ԳԱՆԳԼԻՈԶԻԳՆԵՐԻ ԱԶԴԵՑՈՒԹՅԱՆ ՈՒՍՈՒՄՆԱՍԻՐՈՒԹՅՈՒՆԸ ՔԻՈՄԵՄՔՎԱՆԵԵՐԻ ԿՈՄՊՈՆԵՆՏԵՐԻ ԿԱՌՈՒՑՎԱՋԳՆԱՅԳՆԱԼՈՒԹՅԱՆ ՎՐԱ՝ ՖԼՈՒՈՐԵՍՑԵՆՏ ԱՆԱԼԻԶԻ ՄՈՋՈՋՈՎ

է, ո, ՄաննևՆ, է, Ս, ՍոսննևՆ, Ս, Ա, ԲԱՋԻՆՅԱՆ, O. Պ. ՍՈՑԿԻ, Մ. Է, ՀԱԿՈՎՈՎ

Քացահայտված է, որ գանգլիողիդները մեծացնում են մարդկանց շիճուկային ալբումինի հետ կապված 1 — անիլինանաֆիային—8 — սուլֆանատի ֆլուորեսցինցիայի ինտենսիվությունը, մինչդեռ գանգլիողիդների ազդեցության ներքո սպիտակուցի տիպտոֆանիլների ֆլուորեսցինցիայի բվանատյին ելբը նվազում է։ Էներգիայի միդրացիայի ուսումնասիրությունը ցույց է տալիս, որ դանգլիոզիդները կոնֆորմացիոն փոփոխությունների միջոցով կրբճատում են թիողինի և արիպտոֆանի միջև եղած տարածությունը, որը կարելի է դիտել որպես արիպտոֆանի մոտեցում դեպի սպիտակուցային գլորուլայի մակերեսը։

Ստացված տվյալները վկալում են որ դանոլիոդիդները նպաստում են լիպոսոմների ;ետ կապված դոնդի ֆլուորեսդենցիայի թվանտային եւբի ժեժացմանը։

THE INELUENCE OF GANGLIOSIDES ON THE STRUCTURAL INSTABILITY OF BIOMEMRANE COMPONENTS BY THE METHOD OF FLUORESCENT ANALYSIS

E. E. MKHEIAN, E. S. SEKOIN, S. A. BADGINIAN, O. P. SOTSKII, S. E. AKOPOV

The Influence of gangliosides on the conformation of albumen and liposom has been studied. It has been indicated that gangliosides change the conformation of albumen molecules, whereas triptofan proteins transpass to the surface of the globule.

It has also been determined that gangliosides cause conformating compensation in liposoms of the egg lecitine.

ЛИТЕРАТУРА

- 1. Мирзоян С. Л., Мхеля Э. Е., Сексян Э. С., Соцкий О. П. ДАН СССР. 201. 2, 507. 1971.
- 2. Мирзочи С. А., Мхеян Э. Е., Секови Э. С., Соцкий О. П., Аконов С. Э. Жури, экспер. и клишич. мед., и печати.
- Данилов В. С., Шейченко А. С., Ребров В. П., Орлов С. Н. Биофиника. 20, 822, 1975.
- 1. Papahadjopules D., Miller N. Biochim, Blophys. Acta, 137, 624, 1967.
- 5. Паркер С. Фотолюминесценция растворов, М., 1972, 210.
- 6. Parker C. A., Rees W. T. Analyst., 85, 857, 1960,
- 7. Kronman M. J., Holmes L. G. Photochem. Photobiol., 14, 113-1971.
- 8. Алфимова Е. Я., Лихтенштейн Г. И. Мол. биол., Итоги науки и техники, 8, 1975.
- 9. Мхеян Э. Е., Шахбатян Ш. Л. Вопросы биохимии мозга, 10, 187, 1975.
- 16. Добрецов Г. Е., Биофизика, Птоги науки и техники, 4, 1975.
- 11. Бирштейн Э. А. Докт. лисс., Пушино, 1973
- 12, Scatchard G. Ann. N. Y., Acad. Sci., 51, 660, 1949.
- 13. Добрецов Г. Е. Мол биол. Итоги науки и техники, 6, 1975.
- 14. Huang Ching-hsten. Chertton J. Biochemystry, 11, 735, 1972.
- 15. Rodd G. K., Vanderkool J. Blochim, Biophys. Acta, 265, 509, 1972.

: ЦЗ Ц U S U Ъ Р Ч Б Б U U P U Б U U U B Б Z Ц Б Р Б U

XXXI. 7, 1978

УДК 581.17

К ПРИРОДЕ МЕМБРАННОГО ПОТЕНЦИАЛА КЛЕТОК ВЫСШИХ РАСТЕНИИ

Г. Т. КАЗАРЯН, Г. А. ПАНОСЯП, Г. И. ХАЧАТРЯН

Мембранный потенциал клеток высших растении уменьшается при леистани оуал, высоких концентраций красителя, гиббереллина и шизкон тем возгуры (2—3°) вышается при действии пизких концентраций красителя и гиббереллина. Выскается предположение, что уменьшение мембранного потенциала обусловлено инвированнем насоса, имеющего электрогенную природу.

Ряд авторов показали [1—3], что мембранный потенциал (МП) гок высших растений чувствителей ко многим факторам внешней ды. Предполагается, что влияние большинства факторов обуслововествическим характером взаимодействия с плазматическими бранами. В то же время эксперименты с метаболическими ингибизми [4, 5] показывают, что величина МП зависит от интенсивности электрогенного насоса, локализованного на плазматической бране клеток корешкой овса, кукурузы и ячменя.

Целью настоящих исследований было изучение возможных изменемембранного потенциала клеток колеоптилей ишеницы и корешков урузы при действии ингибиторов и стимуляторов.

Материи, и методика. Метод получения 3-днепных колеоптилей и корешков пшеи нукурузы описли ранее [6]. В ряде экспориментов семена замачивали в изных (10−2 и 10−3 %-ных) растворах зеленого светлого (ЗС) грюн тест (ГГ) ббереллина (10−3 и 10−6 М), приготовленных на 1 мМ растворе КСІ. В таком застворе КСІ регистрировали контрольные значения МП

Последовали вход и выход меченого плотова Na²². Колеонтили инкубировали в воре с улел ой активностью 0.05 мквюри/мл. Так как концентрация истрия и ительных тканях варьпрует в пределях 10 мМ, в экспериментах использовали два збанновных раствора NaCl I и 100 мМ, с целью получения, в одном случае, потонаправленного по градиенту конпентрации, а в другом—против градиента. Ставриое распределение метки устанавливали и интервалах времени 3—240 мии изучения выходя Na²² колеонтили помещали в 100 мМ радиоактивный раствор 1 и переносили е холодильник (4°) для подавления активного транспорта. Ныход изучали в 1 и 100 мМ растворах КС1 и янтервалы времени 5—90 мин. Подсчет тожтивных проб производили на счетчике «Interfectingue» в даборатории радианной биофизики Ереванского физического пиститута.

Для исследования влияния нилкой (2—3°) температуры на изменение МП клеток чиков кукурузы была изготовлена камера из оргетекла, куда помещали воронка рузновной системы. Температуру контролировали электротермометром ГПЭМ-1, ик которого помещали непосредствению и перфузионную камеру.

Метод регистрации мембранного потенциала описан ранее [4].

Результиты и обсуждение. Влияние оуабанна на МП растительных клеток. В ряде работ показано [7, 8], что оуабанн является классическим ингибитором активного транспорта катионов в клетках животных. При этом подавляется активность (Na++K+)—стимулируемой АТФ-азы и уменьшается величина отводимого МП.

Относительно влияния оуабанна на растительные ткани имеются противоречивые данные. Так, по данным Лея [9]. АТФаза клеток колеоптилей овса является оуабани-нечувствительной. В других работах [10, 11] показано наличие в клетках колеоптилей ячменя (Na++ K+)—стимуляруемой АТФазы, активность которой уменьшается при действии оуабанна.

В наших экспериментах было показано, что при действии 10° М раствора оуабанна, приготовленного на 1 мМ растворе КСІ. МП уменьшается на 20—22 мв в течение 3—5 мин. При замене раствора оуабанна 1 мМ КСІ МП восстанавливается до исходного уровня за 6—9 мин.

По данным Скоу [7], при высоких висшних концентрациях калия, также в бескалиевых (натриевых) растворах оувбани не влияет на МП мышечных клеток краба. С этой точки зрения было интересно исследовать влияние оуабаниа на потенциал-концентрационную зависимость МП клеток колсонтилей пшеницы в чистых растворах КСI и NaCI.

Использовали концентрации калия и натрия от 10 до 0.01 мМ. В первом варианте опыта в указанных растворах присутствовал оуабани в концентрации 10−3 М, второй вариант, без оуабанна, являлся контрольным.

В табл. 1 приведены данные о влиянии оуабанка на потенциал-концентрационную зависимость МП.

Таблица 1 Влияние оунбанна (10-5 М) на потенциал-концентрационную зависимость МП клеток колеоптилей ишенины и чистых растворах КСI и NaCI

Колцентрация вцение- ло катиона, мМ	10	1	0,1	0,01
Опыт I Величина МЕI по К Без пувбанна С пувбанном Е по К	44,811,00 18,4±1,00	69.2±1.00 37.3±1.58	94,8±1.00 64,3±1,47 30.5	126,4±1,18 91,2±2,04 35.2
Опыт 2 Величина МП по Naт Без оуабанна С оуабанной Е по Na	42.5±1.00 30.0±1.00	75.3±1.00 58.6±1.00	105,2±1.00 84,5±1.00 20,7	132,6±1,00 109.2±1,64 23.4

Общее число измерений в наждом парианте равно 160.

По данным табл. 1, оуабанн эффективен и в натриевых растворах. Однако в калиевых растворах АЕ в среднем в 1,7 раза больше, чем в

натриевых. Можно предположить, что АТФаза растительных клеток функционирует не только по типу (К —Na=) обмена, по и по типу (Na+—Na+) обмена.

На животных клетках давно установлен факт влияния оуабанна на МП в какой-то определенной концентрации. С повышением концентрации ингибитора не наблюдается достоверных изменении величины мембранного потенциала—он выходит на стационарный уровень.

Так как подобных исследовании на растительных клетках нам не известно, представляло определенный интерес выяснение влияния различных концентраций оуабаниа от 10^{-6} до 10^{-3} М на МП клеток колеонтилей иниенины. С повышением концентрации оуабаниа наблюдается монотонное уменьшение МП. Это позволяет сделать предположение, что в данном случае наблюдается неспецифический характер взаимодействия оуабаниа с плазматическими мембранами.

Рядом авторов показано [6, 12—14], что в присутствии дициклогексилкарбодиимида (ДССД)—специфического ингибитора протояного насоса митохондрий, бактерий и растений.—паблюдается снижение мембранного потенциала. Показано также, что 10 1 %-ный раствор ЗС вызывает гиперполяризацию МП. Если же в перфузат, где находится пигибитор, добавить 10—1 %-ный раствор ЗС, то действие ДССД на уменьшение МП не проявляется. Исходя из этого, было интересно выяснить, как взаимодействует оуабани с красителем. Исследовали влияние двух концентрации (10—2 и 10—1 %-ный) красителя грюн тест и 10—М оуабанна на МП клеток колеоптилсй пшеницы (табл. 2).

Таблица 2
Влияние 10-2 и 10 - 1 %-ных растворов ГТ и 10-3 М
раствора оузбанна на МП клеток колеоптилей пиневицы

Варианы опыта	Величина МП
Контроль	72,9+1,15
Контроль + оуабанн	51,6±1,20
Контроль — 10-2 % ГТ	61.2+1,12
Контроль -г- 10 ⁻⁰ • _о ГТ ÷ — оуабани	65,2-1,00
Контроль	77.2±1.08
Контроль — 10	91,2+1,11
Конгроль — оуабани	56,2±1,00
Контроль — 10 ⁻⁴ % ГТ + + оуабани	62,4+1,00

Число намерений в каждом варианте равно 30.

Данные табл. 2 показывают, что деполяризация МП, вызванная 10^{-2} М раствором оуабанна, меньше, чем деполяризация, вызванная 10^{-2} %-ным раствором ГТ. Если к раствору, содержащему 10^{-2} %-ный краситель, добанить оуабани, то МП унеличится на 4 мв в вари-

анте «контроль $+10^{-2}$ % ГТ+оуабани» и на 14 мв по сравнению с вариантом «контроль+оуабани».

Иная картина наблюдается при использовании красителя в 10%-ной концентрации. Если МП в 10 %-ном растворе ГТ равен 91 мв. то при добавлении оуабаниа регистрируется потенциал на 29 мв меньше. Это говорит о том, что оуабани снимает эффект красителя.

Влияние оуабанна на потоки меченого натрия в клетких колеоптилеи пшеницы. Обнаружение оуабани-чувствительной АТФазы в колеоптилях ячменя [10, 11] позволило сделать предположение о влиянии оуабанна на потоки натрия.

Псследовали время стационарного распределения метки в 3-дневных колеонтилях пшеницы, которые инкубировали в 1 и 100 мМ растворах NaCl. В табл. З приведены даниме по измерению стационарного распределения Na²² в колеоптилях питеницы.

Табан и и 3 Установление времени стационарного распределения метки в колеоптилях писиниы

Время	Радиоактивность проб, ими/мин				
инкуба- ции, мин	100 MM Na	1 uM Na'			
3	746,4±66,4	404.0 + 42,8			
.5	847.2 + 79,G	719,2 +39,2			
10	1358,4 + 237,6	850,0±102,0			
15	2149,2+3 7.6	1010,0+ 97,2			
20	4526,4+1276,0	1590 (0 -321,6			
30	3717.2572.4	1610,0 = 120,4			
45	3150,01 576,8	1432,0+151,5			
60	3491,2::433,8	1893.2± 18,1			
180	8838,4+1270,8	2716.0±160.4			
240	8178 0 ± 6 8 8	3936-1+440.8			

После установления времени стационарного распределения натрия исследовали выход Na²² из клеток колеоптилей в определениые интервалы времени. По истечении времени колсоптили помещали в 1 и 100 мМ растворы КС1 с оуабанном и без него. Установлено, что присутствие оуабанна не влияет на выход меченого натрия в указанных растворах КС1.

В полевых и лабораторных экспериментах нами было показано, что обработка семян вшеницы и кукурузы высохими (10⁻² %) и яна-кими (10⁻² %) концентрациями красителей ингибирует или стимулирует рост и развитие растений и приводит к формированию относительно более селективных мембран. Последнее выражается и том, что при обработке 10⁻² %-ным раствором красителя регистрируется инэкий, по сравнению с необработанными, мембранный потенциал, а при обработке 10⁻⁵ %-ным раствором красителя—высокий.

Было сделано предположение, что формирование мембран с иными физико-химическими свойствами приводит к изменению величины пото-

ков натрия. Исследовали влияние обработки семяя пшеницы 10 -- и 10 -- %-ными растворами красителя ЗС на выход Na²² из клеток колеоптилей. Из рис. 1 видно, что нет достоверной разницы в величине выхода N²² при различных обработках и в присутствии оуабанна в никубационном растворе (рис. 1).

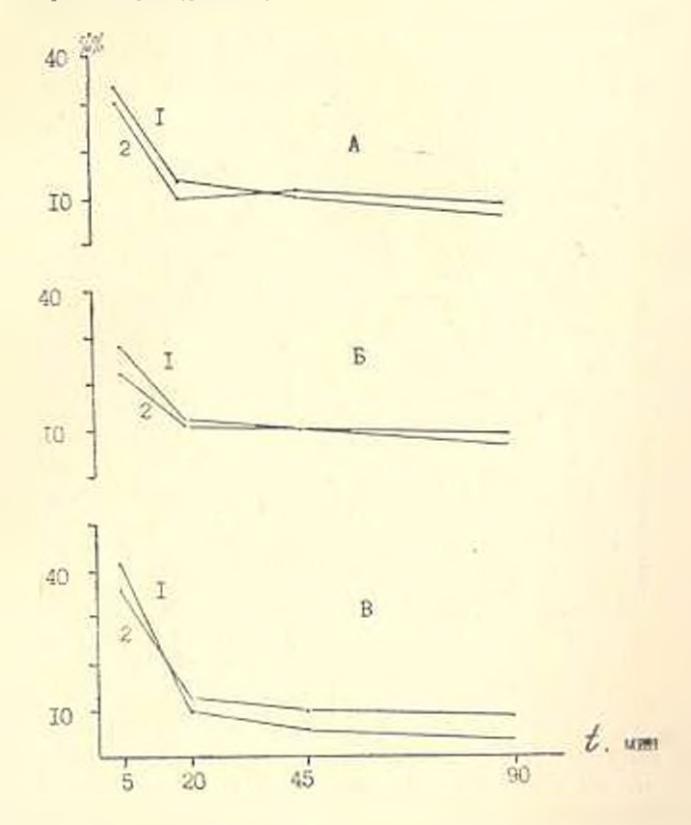


Рис. 1. Влияние оуабанна на выход меченого потрия из клеток колеоптилей пшеницы, выросших из обработанных 10^{-2} и 10_{-5} %-ными растворами ЗС семян. А—контроль. Б—обработка 10^{-2} %-ным раствором ЗС, В—обработка 10^{-5} %-ным раствором ЗС, 1—в присутствии оуабанна, 2—без оуабанна.

Далее, исследовали влияние обработки семян 10^{-2} и 10^{-5} %-ными растворами ЗС на поглощение меченого натрия колеоптилями пшеницы (рис. 2). Оказалось, что при обработке как высокими, так и низкими концентрациями ЗС при инкубации в I мМ растворе NaCl (т. с. в случае, когла поток натрия направлен по градненту) подавляется пассивный вход Na^{22} . Присутствие оуабанна в инкубационной среде резко, на порядок, увеличивает пассивный вход натрия.

При инкубации колеоптилей в 100 мМ растворе NaCl на пассивную проницаемость натрия не влияют ин обработка различными концентрациями красителя, ни присутствие оуабанна.

Таким образом, из экспериментов следует, что оуабани вызывает достаточно быструю деполяризацию клеточных мембран, синмает ги-

периоляри ационный эффект красителя и не оказывает влияния на поглощение и выход меченого натрия. Можно также предположить, что влияние оуабания на мембраны клеток высших растений обусловлено неспецифическим характером взаимодействия.

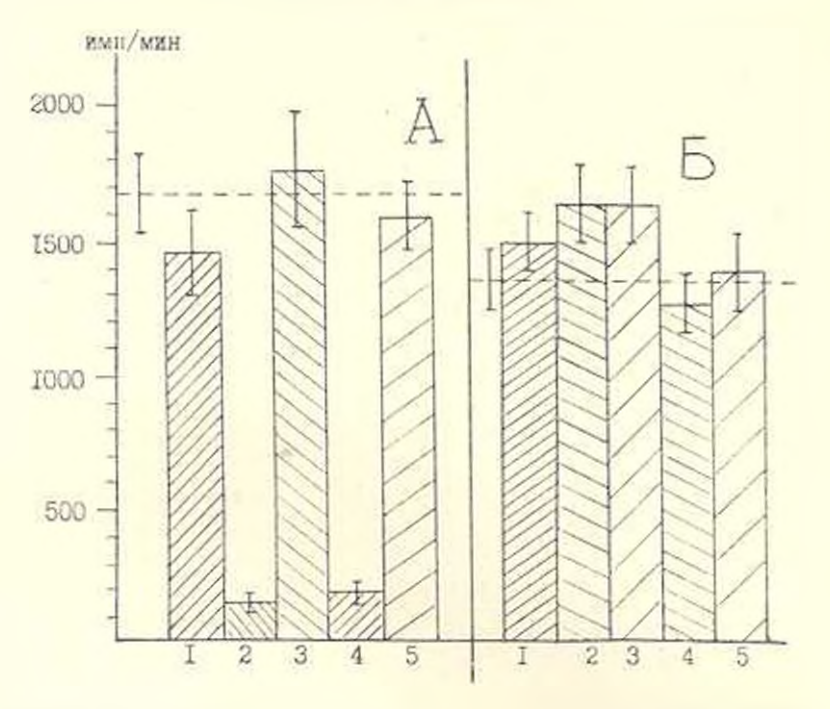


Рис. 2. Влияние оузбания на вход меченого натрия в клетки колеоптилей пшеницы, выросних из семян, обработанных 10^{-2} и 10^{-5} %-ными растворами ЗС в I и 100 мМ растворах КСL А—1 мМ раствор КСl, Б—100 мМ раствор КСl, контроль—пунктириая линия, 1—контроль—оуабани, 2—обработка 10^{-2} ным раствором ЗС, $3-10^{-2}$ %-ный раствор ЗС | оуабани, 1—обработка 10^{-5} %-ный раствор ЗС | оуабани, 1—обработка 10^{-5} %-ный раствор ЗС | оуабани.

Влияние низкой температуры на МП клеток корешков кукурузы. Исследовали влияние низкой (2—3°) температуры, как ингибитора активных систем транспорта, на величину МП клеток корешков. Регистрацию МП проводили в двух растворах 1 мМ КСІ: первый раствор имел температуру 24°, а второй—3°. Низкая температура снижает МП в среднем на 16 мв по абсолютной величине.

Представлял определенный интерес расчет величины диффузионной составляющей мембранного потенциала при лействии инзкой температуры. Применяя уравнение Нериста

$$E = \frac{RT}{F} \ln \frac{|K|}{|K^+|_{out}}$$

где R, T и F имеют свои обычные значения, $[K^+]_{in}$ — концентрация калия в клетке, равная 50 мМ $[K^-]_{out}$ — концентрация калия в среде, равная 1 мМ. получим для 24° величину МП, равную 99,5 мв, а для

3°—92,5 мв. Разница между инми равна 7.0 мв, что и является значением диффузионной составляющей МП. В нашем эксперименте полученная разница в 16 мв превышает диффузионную составляющую на 9 мв, что является величиной насосного потенциала.

Известно, что гиббереллии является классическим стимулятором роста и развития растений. При этом проявление физиологического дейстиня гормона зависит от концентрации: высокие концентрации подавляют рост и развитие растений, а низкие—резко интенсифицируют эти процессы.

Аналогичные результаты были получены в ранее проведенных нами экспериментах: лостаточно низкие концентрации (10 %-ные) водных растворов красителей трифенилметанового ряда в значительной степени стимулируют процессы роста и развития, и то время как 10 2%-ные растворы оказывают ингибирующий эффект.

Сходность действия красителей и гормона позволила предноложить, что при обработке гормоном произойдет определенное изменение электрохимических свойств плазматических мембран. Результаты экспериментов показали, что при обработке 10^{-3} М раствором гормона регистрируется низкий по абсолютной величине мембранный потенциал, а при обработке 10^{-8} М раствором—высокий потенциал, по сравненню с необработанными растеннями.

Было интересно выяснить влияние инакой температуры на клетки корешков кукурузы, выросших из семян, обработанных 10^{-2} и 10^{-6} М

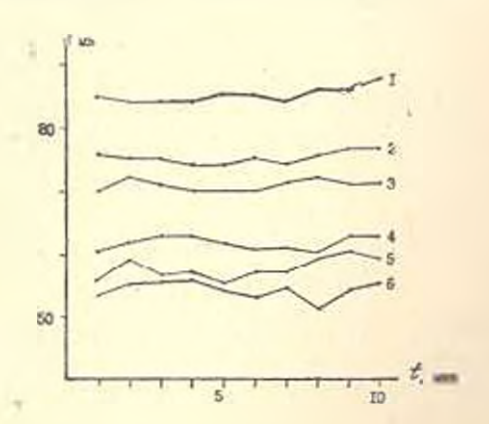


Рис. 3. Влияние низкой (2°) температуры на клетки корешков кукурузы, выросник из семян, обработонных 10^{-3} и 10^{-6} М растворами гиббереллина. 1 и 2—обработка 10^{-6} М раствором гиббереллина, 3 и 5—контроль, 4 и 6—обработка 10^{-3} М раствором гиббереллина, 1, 3 и 4—нормальная температура (24°), 2, 5 и 6—инзкая температура (3°).

растворами гиббереллина. Из рис. 3 следует, что в этом случае доля диффузионной составляющей МП увеличивается. Используя приведенный метод расчета для обработанных гиббереллином семян, получим следующую закономерность: если в контроле величина насосного потенциала равна 6 мв. то при обработке 10⁻⁶ М раствором гормона эта величина равна 3 мв. а при обработке 10⁻³ М—0,5 мв.

Таким образом, обработка семян кукурузы различными концентрациями гибберсилния приводит к уменьшению активной компоненты, участвующей в формировании мембранного потенциала клеток высших растений.

Авторы признательны Ц М Авакяну, Л. Г. Микаеляну за помощь в проведении экспериментов с меченым натрием, и С. М. Мартиросову а номщь при обсуждении результатов данной работы.

Ереванский государственный университет, кафедра биофизики

Поступило 23.111 1978 г.

ԲԱՐՉՐԱԿԱՐԳ ՐՈՒՅՍԵՐԻ ԶՋԻՋՆԵՐԻ ՄԵՄՔՐԱՆԱՅԻՆ ՊՈՏԵՆՑԻԱԼԻ ԲՆՈՒՅԲԻ ՎԵՐԱՐԵՐՅԱԼ

2. S. Auguesus, В. 2. филандия, В. В. Бидизевих

Ապացուցված է, որ օուաբաինը, ներկի և հիբերելինի բարձր կոնցննարացիաները և ցածր ջերմաստիճանը (2—3°) իջեցնում են, իսկ ներկի և հիբերելինի ցածր կոնցենտրացիաները բարձրացնում են բարձրակարդ բույսեւ թի բջիջների մեմբրանային պոտենցիալի արժերը։ Ենքադրվում է, որ մեմբրանային պոտենցիալի նվաղումը պայմանավորված է էլեկտրոգեն բնույք ունեւցող պոմպի ինակակվացմամբ։

ON THE NATURE OF THE MEMBRANE POTENTIAL OF HIGHER PLANT CELLS

G. T. KAZARIAN, G. A. PANOSSIAN, G. N. KHACHATRIAN

It has been shown that the membrane potential of higher plant cells decreases during outbain treatment, low temperature and high hormone concentrations. This potential increases when low concentration of dye has been applied.

If has been supposed that the decrease of the membrane potential is the result of electrogenic pump inactivation.

ЛИТЕРАТУРА

- Казарян Г. Т., Азакян Ц. М., Аджач Н. С. Паучные доклады высшей школы, биол. пауки, 3, 61, 1967.
- 2. Felle II. and Bentrap C. A. Mombrane Holl, 27, 153, 1976.
- Marre E., Luda P., Caldogna F. and Colombo R. Attl Accad. naz. Lincol Rend Cl. sci. lis., mat. e nasut., No 6, 57, 1971.
- 4. Davis R. F. and Higinbothan N. Plant Physiol., 44, 1383, 1969.
- 5. Highbotham N., Graves Y. S. and Davis R. F. J. Membrane Biol., 3, 210, 1970.
- Казарян Г. Т., Хачагрян Г. Н., Паносян Г. А. Виологический журнал Армении. 30, 12, 49, 1977.
- 7. Schatzmann 11. Y. Biochim, Biophys. Acta, 91, 1, 89, 1965,
- 8. Skon Y. C. Physiot. Rev., 45, 596, 1965.
- 9. Leigh R. A. J. Exp. Bot., 26, 93, 508, 1975.
- 10. Fisher J., Hansen D. and Hodges T. Plant Physiol., 46, 812, 1970.
- 11. Тихая Н. Н., Мишустина Н. Е., Куркова Е. Б., Вахмистров Д. Б., Самойлова С. А. Физиол. раст., 23, 6, 1198, 1976.
- 12. Reechey R. B., Holloway C. T., Knight J. L., Robertson A. M. BBRC, 23, 75, 1966.
- 13. Hurold F. M., Baarda J. R., Buron C. C., Abrams A. J. Biol. Chem., 241, 2261, 1969.
- 14. Singh A. P. and Bragg P. D. J. Bacteriol., 119, 129, 1971

770

2 И В И И В И Б Р Ч В Б И И В И Б И Ч И Б Д И СЧ В И БИОЛОГИЧЕСКИЯ ЖУРНАЛ АРМИНИИ

XXXI, 7, 1978

YAK 577.391 633.11

ИЗУЧЕНИЕ РАДНОЧУВСТВИТЕЛЬПОСТИ СЕМЯН ПИГЕНИЦЫ В ЗАВИСИМОСТИ ОТ ИХ ВЛАЖНОСТИ В МОМЕНТ ОБЛУЧЕНИЯ. ГАЗОВЫХ УСЛОВИЙ И ВЛАЖНОСТИ СРЕДЫ В ПОСТРАДИАЦИОННЫЙ ПЕРИОД

К. А. ВАРДАНЯН. Н. Г. НОР-АРЕВЯП, С. П СЕМЕРДЖЯН

Лиухлиевное хранение облучениях долой $A_{\rm rel}$ (доло, нидуцирующай и момент облучения у 50% клеток хромосомные аберрации) ссиян в бескислородных условиих (алот) приводило к синжению поражения хромосом независимо от исходной влажности семян и влажности среды и пострадиационный вериод хранения, тогда как присутствие кислорода в пострадиационный период усиливало радиобиологический эффект.

Дальнейшее увеличение времени хрянения (15 и 30 дией) либо почти не сказывалось на картине поражения (влажность среды 5 и 12%), либо приводило к его усилению (влажность среды 23%).

Одним из существенных методов исследования радиочувствительности биологических систем является модификация эффекта облучения с помощью различных физических, химических и биологических факторов, таких, как влажность, газовые условия среды, температура, возраст и хранение семян. Подобные исследования целесообразнее проводить на таких метаболически пассивных системах, как покоящиеся семена растений.

Анализ литературных данных показывает, что вопрос о влиянии хранения облученных семян на лучевое поражение не получил однозначного решения. Исследователи сталкивались либо с фактом усиления поражения [1—6], либо с тем, что хранение не влияло на конечный радиобнологический эффект [7, 8]. В ряде работ при хранении сухих облученных семян во влажной средс в течение первых 3-х суток отмечалось снижение поражения [9—11].

Многочисленными исследованиями установлена важная роль кислорода и влажности в реакциях лучевого поражения семяи, причем степень участия кислорода в лучевом поражении в аначительной мере зависит от влажности семян и условий хранения в пострадиационный период [12, 13].

Было показано, что при хранении облученных семян в атмосфере кислорода повышается радиобиологический эффект [14]. Хранение же при пониженной влажности семян и в отсутствие кислорода снижа до или не оказывало влияния на уровень дучевого поражения [15—18]

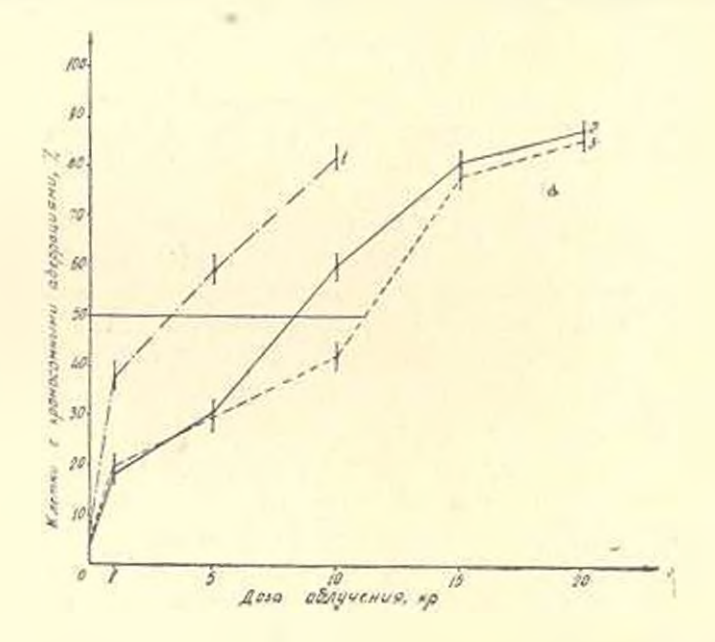
Такую противоречивость литературных данных, на наш вгляд, можно объясинть тем, что основные модифицирующие факторы, влинющие на радиобиологический эффект в пострадиационный период, не учитывались.

В связи с этим нами изучалась радночувствительность семян пшенины в зависимости от их влажности в момент облучения, а также от влажности, газовых условий среды и сроков хранения в постраднационный период.

Материал и методика. Опыты проводили на семенах озимой мягкой пшенниы сорта Белостая I с влажностью 5, 12 и 23%, для чего их в течение 15 дней выдерживали в эксикаторах над различными концентрациями $\Pi_0 SO_4$.

Семена облучали на рентгеновской установке РУМ-11 (U 185 кВ, Л=13 мА, мощность дозы—600 р/мин) дозвин 1, 5, 10, 15 и 20 кр. Радиобиологический эффект опенивали по проценту клеток с хромосомными аберрациями

В целях объективной опенки влияния модифицирующих факторов (кислорол, храисиие) на конечной радиобнологический эффект для семян с различной влажностью с ромощью кривых «доза—эффект» (рис. 1) находили дозу, индуцирующую у 50% кле-



Рим 1 Лученое поражение ишеницы в зависимости от влажности семян и момент облучения. Семена с исхолной влажностью. 1—3, 2—12, 3—23%. На аси абсинсе доза облучения, кр.; по оси ординат—процент клеток с хромосомными аберрациями.

ток хромосомине аберрации (Д₅₀). Оказалось, что для семии с влажностью 5, 12 и 23% эта доза соответственно рания 3, 14 и 8 кр.. В дальнейших опытах семена облучали только этими дозами.

Часть семян сразу после облучения Д₅₀ проращивали, остальные помещали в эксикаторы е различной (5, 12 и 23%) влажностью среды, которые затем заполнялись кислородом или апотом. Сроки храневия и различных газовых условиях и и условиях влажности были 0, 2, 15 и 30 дней.

Были изучены следующие варианты: сухие семена, хранившиеся в сухой, возлушин-сухой и влажной среде, а тякже воздушно-сухие и влажные семена. хранинцинеся и аналогичных условиях.

После каждого срока хранения семена замачивали в течение 18 час. в дистиллированной воде, а затем прорашивали на влажной фильтровальной бумаге в термостате при температуре 24°. Кончики корешков от семии с влажностью 12 и 23% фиксировали через 24 часа после конна замачивания, а с влажностью 5%—через 26 часов, что соответствовало максимуму деления клеток в первом митозе. Фиксацию проподили смесью Батталья, состоящей из 5 частей 96° спирта, 1 части хлороформа,
1 части лединой уксусной кислоты и 1 части формолина Приготовляли временные
давленые препараты, окращенные решктивом Шиффа с применением холодного гидролиза. В каждом варианте опыта изучали не менее 500 ана- и телофаз для подсчета
хромосомных аберраций. В опыте учитывали париме и одиночные мосты, фрагменты, кольца.

В каждом варианте опыта подсчитынали также митотическую активность деления клеток, однако последняя не претерпевала существенных изменений в результате постраднационного хранения, поэтому данные не представлены.

Результаты и обсуждение. Модификация эффекта облучения семян е помощью 5%-ой влажности среды наблюдается, независимо от исходной влажности семян, уже на второй день как в опытах с хранением облученных семян в кислороде, так и в его отсутствие. Дальнейшее хранение до 30 дней не сказывается на уровне поражения (рис. 2). Од-

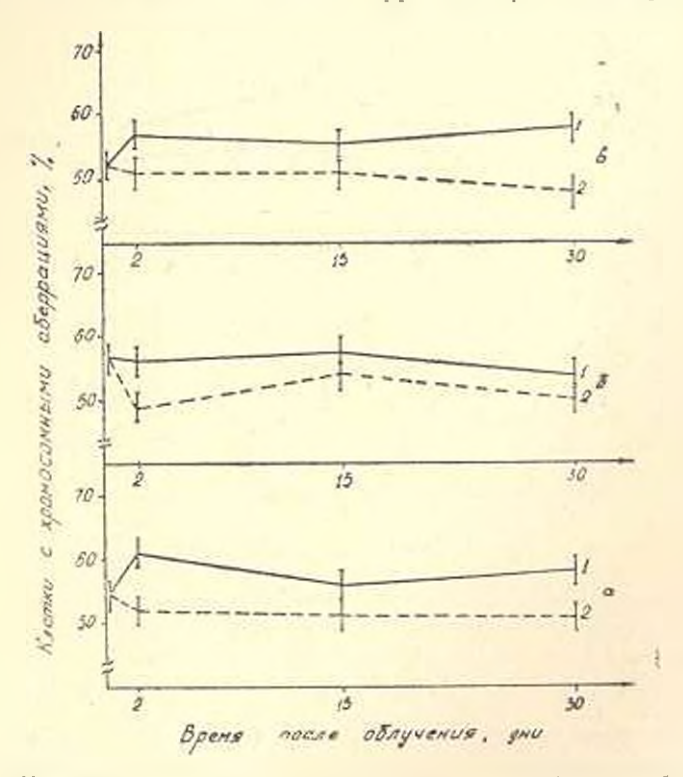


Рис. 2. Уровень поражения клеток в семенях с различной исходной влажностью (а—Б; б—12: в—23%) в зависимости от влажности окружающей среды (5%) и газовых условий пострадиационного хранении (кислород—1, взот—2). По оси абсинсе—сроки пострадиационного хранения, дни; по оси ординат—процент клеток с хромосомными аберрациями.

нако необходимо отметить, что хранение в условиях кислорода в основном увеличивает, а его отсутствие уменьшает поражение хромосом.

Аналогичная картина наблюдается в опыте, где семена хранились в условиях с 12%-ой влажностью среды (рис. 3). Исключение составляет опыт, где исходная илажность семян была 5%. В этом нарианте на 30-й день хранения наблюдается уменьшение поражения как в присутствии кислорода, так и в его отсутствие. Вероятно, указанные условия являются оптимальными для восстановления лучевых повреждений хромосом.

Особый интерес представляют результаты опыта по хранению облученных семян в условиях с повышенной влажностью (23%) среды

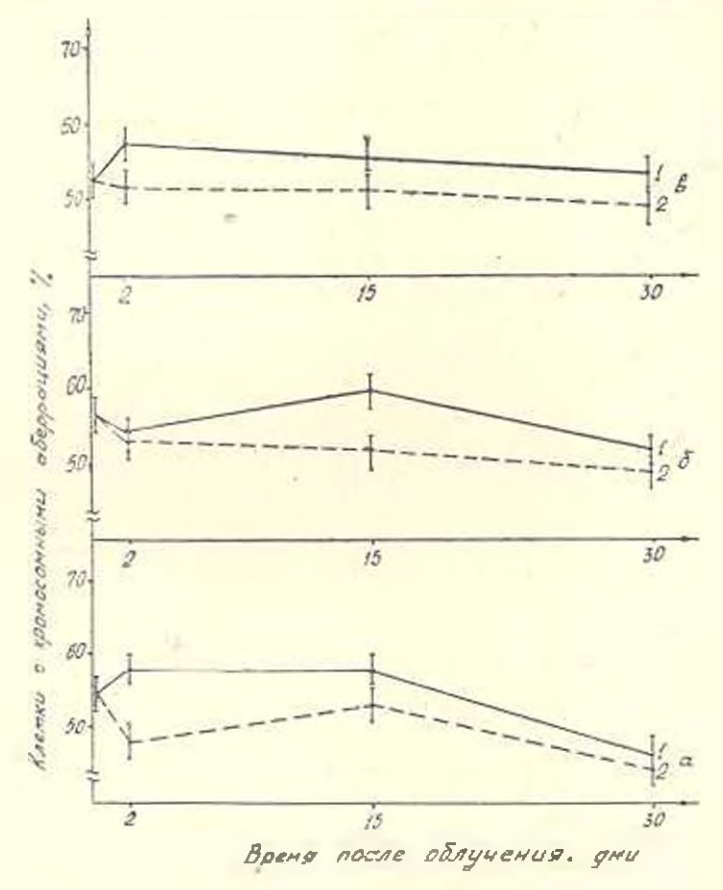


Рис. 3. Уровень поражения клеток в семенах с различной исхолной алажностью (а—5, 6—12, в—23%) в зависимости от влижности окружающей среды (12%) и газовых условий пострадизционного хранения (кислород—1, азот—2). Условные обозначения см. на рис. 2.

(рис. 4). По мере увеличения времени хранения до 30 дией наблюдается тенденция к усилению лучевого поражения хромосом, причем кислород, присутствующий в постраднационный период, оказывает более сильное воздействие на картину поражения, чем в опытах с влажностью среды 5 и 12%.

Уровень естественного мутанионного процесса необлученных семян всех изученных вариантон влажностей составлял в основном 3—4% и не претерпевал изменений и результате пострадиационного хранения в вышеуказанных условиях, поэтому данные не приводятся.

Опыты показали, что определяющим фактором, влияющим на картипу лучевого поражения в пострадиационный вернод, является влажность среды.

Таким образом, двухдневное хранение облученных дозой Д₅₀ семян в бескислородных условнях (атмосфера азота), независимо от исходной влажности семян и среды в период хранения, приводит к снижению поражения хромосом, тогда как присутствие кислорода в пострадиационный период увеличивает раднобиологический эффект. Дальнейшее

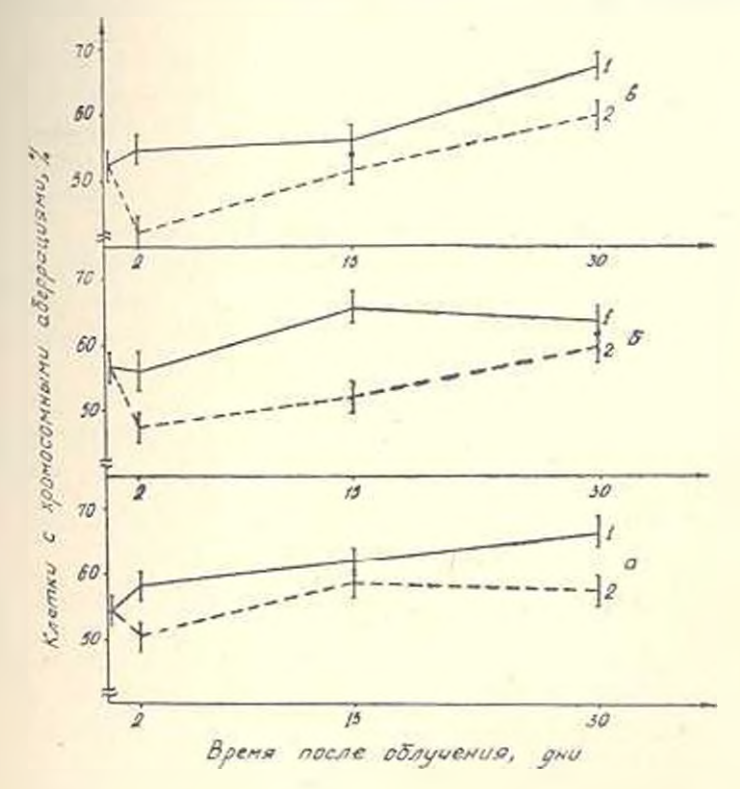


Рис. 4. Уровень поражении клеток в семенах с различной исходной влажностью (а—5%, 6—12%, в—23%) в зависимости от влажности окружающей среды (23%) и газовых условий пострадившионного хранения (кислород—1, азот—2). Условные обозначения см. на рис. 2.

увеличение времени хранения (15 и 30 дней) либо почти не сказывается на картине поражения (влажность среды 5 и 12%), либо усиливает его (влажность среды 23%).

Институт земледелия МСХ АрмССР

Поступило 19.IV 1978 г.

8ՈՐԵՆԻ ՍԵՐՄԵՐԻ ՌԱԳԻՈԶԳԱՅՆՈՒԹՅԱՆ ՈՒՍՈՒՄՆԱՍԻՐՈՒԹՅՈՒՆԻ ԿԱԽԼԱԾ ՃԱՌԱԳԱՅԹՄԱՆ ՊԱՀԻՆ ՆՐԱՆՑ ՈՒՆԵՑԱԾ ԽՈՆԱՎՈՒԹՅՈՒՆԻՑ ԵՎ ՀԵՏՃԱՌԱԳԱՅԹՄԱՆ ՇՐՋԱՆՈՒՄ ՄԻՋԱՎԱՅՐԻ ԽՈՆԱՎՈՒԹՅԱՆ ՈՒ ԳԱԶԱՅԻՆ ՊԱՅՄԱՆՆԵՐԻ ՓՈՓՈԽՈՒԹՅՈՒՆԵՑ

Ք. Հ. ՎԱՐԻԱՆՑԱՆ, Ն. Գ. ՆՈՐ-ԱՐԵՎՅԱՆ, Ե. Պ. ՍԵՄԵՐՋՑԱՆ

Ուսումնասիրվել է հնաճառադայինան շրջանում միջավայրի պայմանների, ինչպես նաև մինոլորտում դազերի (ինվածին, ազոտ) փոփոխունյան ազդեցունյունը ցորենի 5,12 և 23 եր խոնավունյան սերմերի ռադիոկենսաբանական էֆեկտի վրա։

Ցույց է արված, որ առավել զգայուն են չոր՝ 5 % խոնավության սերժերը. Ռադիոզդայնության բարձրացում է նկատվում նաև 23 % խոնավությ<mark>ան սեր</mark>ժերի մոտ։

D₅₀ դողայով (որը ճառագայիման պահին բջիջների 50 %-ի մոտ առաջ է բերում քրոմոսոմային խախարումներ) ճառագային հարված սերժերը 2 օր պահելով ազոտի մինոլորտում, նկատվել է ռադիոկենսաբանական էֆեկտի քուլացում՝ անկախ սերմերի նախնական և միջավալրի պայմանների խոնավությունը, Բիվածնի ասկայությունը հետճառագայիման շրջանում, ընդհակառակը, ուժեղացնում է ռադիոկենսաբանական էֆեկտը։

Պահման ժամանակաշրջանի հետագա ավելացումը (15,30 օր) կամ չի ազդում ռադիոկենսաբանական Լֆեկտի վրա (5 և 12 % խոնավության պայմաններում), կամ էլ բարձրացնում է այն 23 % խոնավության պայմաներում)։

RADIOSENSITIVITY OF WHEAT SEEDS AS AFFECTED BY THE MOISTURE AT IRRADIATION. GAS CONDITIONS AND ENVIRONMENT MOISTURE DURING THE POSTIRRADIATION PERIOD

K. A. VARDANIAN, N. G. NOR-AREVIAN, S. P. SEMERDJIAN

One of the essential methods of radiosensitivity research of biological systems is modification of irradiation effect by means of various physical, chemical and biological factors, such as moisture, environment gas conditions, temperature, age, storage and so on.

It is advisable that we conduct such researches on metabolically passive systems.

ЛИТЕРАТУРА

- Беличенко И. И. и др. Генетика, 4, 3, 175, 1968.
- 2. Нуждин Н. И., Дозорцева Р. А. Известня АН СССР, сер. биол., 4, 577, 1964
 - 3. Невзгодина Л. В., Папоян И. М. Раднобнология, 9, 6, 888, 1969.
 - 4. Филев К. А. ДАН СССР, 196, 3, 180, 1964.
 - 5. Хвостова В. В., Невогодина Л. В., Дубиния П. П. ДАН СССР, 161, 5, 1219, 1965.
 - 0. Хвостова В. В., Исвогодина Л. В. Раднобнология, 1, 4, 1961.
 - 7. Сахаров В. В., Мансирона В. В., Илатонова Р. Н., Шербаков В. К. В сб.: Радивционная генетика, М., 1962.

- 8. Семерджян С. П., Оганесян Дж. О., Петросян Л. А. Труды Арм. НИИЗ, Эчинадзии, 1968.
- *Немцева Л. С.* Генетика, 7, 8, 2, 1972.
- 10. Фесенко Э. В. Автореф. канд. дисс., Л., 1967.
- 11. Фесенко Э. В., Царапкин Л. С. Раднобнология, 13, 3, 407, 1973.
- 12. Царапкин Л. С., Царапкина К. А. Раднобиология. 12, 2, 253, 1972
- 13. Conger B. V., Nilan R. A., Konzak C. F., Metter S. Radiat, But., 6, 199, 1966.
- 14. Adams J., Nilan R. A. Radiat, Res., 8, 2, 111, 1958.
- 15. Гудков И. Н. Раднобнология, 13, 1, 140, 1972.
- 16. Лаура М. П. Цитология, 8, 4, 558, 1966.
- 17 Папьян Н. М., Невзесдини Л. В., Орлова Н. И. Раднобнология, 13, 3, 125, 1972.
- 18. Семерджан С. П., Пор-Ареиян И. Г., Казархи Г. Т. Тр. Арм. HIII13, 2, 52, 1973.



ՀԱՑԿԱԿԱՆ ՄՍՀ ԳԻՏՈՒԹՅՈՒՆՆԵՐԻ ԱԿԱԳԵՄԻԱ ՀԱՑԱՍՏԱՆԻ ԿԵՆՍԱԲԱՆԱԿԱՆ ՀԱՆԳԵՍ

Հիմնադովել է 1946 թ.

Հրապարակվում է տարեկան 12 անգամ

Lumme XXXI, N 7

bPlatity

Հուգիս, 1978 p.

And yest

6 N 4 H 5 4 H 4 H 1 P B N P 5

Էքսպեւ իմենաալ

Հավճառնիոլան II, II, Ձգողական գաբար կննսաբանական ազդեցությունը	661
Ավագյան Ե. Մ., Վասինյուկ Ե. և., Մոժաշով Յու, Պ., Նանասյան Ա. Ա., Օնանիսյան Ջ. Օ.	
Sրեկային խցիկի նկարները, մշակման սարթի օգտագործումը բլջա <i>րիմիակա</i> ն Հե-	
տաղոտունյան մեջ	672
Առլանյան Վ. Մ., Քաբայան Յու Ս., Սազաթելյան Վ. Վ., Պողոսյան Միք, Կ., <i>ԳևԹ.ի</i>	
հուկլեոտիզային կազմի որոշումը ԳՄ սպեկտրաֆոտոմետրիկ հղանակով	676
Ասլանյան Վ. Մ., Գեռոգյան Ն. Մ., Սաոգսյան Մ. Ա. <i>Տրոպոնին-արոպոմիոզին կոմպլերսի</i>	
կաղժակերպժան առանձնահատկությունների մասին	633
Փանոսյան Գ. Հ., Վաբդապետյան Հ. Ռ., Վաբդեանյան Պ. Հ. Հոժոլոգ և Դետևրոլոգ	
ԳիԻ-Տիստոնային կոմպլերսների հայման հետազոտովիլուններ	6.39
Դուգաբյան Մ. Ս., Մաշտիշոսով Ս. Մ., Պետշոսյան է. Ս. <i>Կալիումի իոնների կյանումը</i>	
Streptococcus faecalis & Escherichta coli pspybloph handhy .	697
Համրաբմումյան Տ. Գ., Առամյան Ս. Յու, Նատրիումի օուարաին-ռեզիստնետային հոս-	
ρ ⁵ ηη	707
Ղազաբյան Ռ. Ռ., Գյոմին ձու. Մ., Տիբացույան Ս. Գ., Մանվելյան Ա. Գ. <i>Առևևաների</i>	
լլարգի բրոմատինի նետազոտությունը ֆլուորեսցենտային անալիզի միջոցով .	714
Աստարության Ռ. Ա. ռառադայիված Լ-լեյգին.NI5-ի պարտմագնիտային կննաբոններ	224
եանինյան Ա. Ա., Ստամբոլգյան Խ. Վ. <i>Տարածակահորեն կողմնորոշված ֆոսֆոլիպիդա</i> -	
լին քաղանքում :իդրատացման ազդեցությամբ էլեկտրաշարմ ուժի առաջացումը	727
Upwigmb 2. 0. 15-6-mangaipquis appliedlightunght shapter presneghthened alimentalism	
դիկալների առաչացոտն մեխանիզմի մասին	732
Արժուսի Գ. Գ., Տեր-Մարկոսյան Ա. Ս. Օրսիդավերակահոնման պոտենցիալների կախ-	
ման հետազոտումը ներգործող էլեկտրաստատիկ դաշտի պարամետրերից	739
Չրյան Դ. Դ. հրեխաների գլխուղեցի կլիկտրական ակտիվության տարածական մարա-	
թերությունները մանով առարկաների ընկալման ընթացրում բառային հրահանդից	
ibun	744
Սկրության Ս. Լ., Արժումի Գ. Գ. Էլեկարաստատիկ դալտի ազդեցությունը առնհաների	
լյարդի միտարանդրիաննրի չնչատանիլան վրա	7.1/1
Միսելյան է, և . Սեկույան է. Ա., Քաջինյան Ս. Ա., Սոցկի Օ. Պ., Հակոպով Ա. Է. <i>Գանդլիո</i> -	
գիդների ազդեցության ուսումնասիրությունը բիաննմարանների կոմպոնների	
կառուցվածրային լաբիլութեյան վրա՝ ֆլուսրեսցենտ անալիզի միջոցով	758
Վազատյան Հ. Տ., Փանոսյան Գ. Հ., Խաչատոյան Գ. Ն. Բարձրակարդ րույսերի րջիջների	
դրուենորդայիր մեսարբնիայի երաւկիի վենահերհան	681
Վաշդանյան Բ. Հ., Նու-Աշելան Ն. Գ., Սհմեւջյան Ս. Պ. Հորձևի սերժերի տադիողդալ	
նունյան տոսումնասիրութիյունը կախված ճառապարհման պաշին նրանց ունեցած	
իտնավունկունից և ՏետՏառադալինան շրջանում միջավայրի իտեսավության ու	
դազային պայմանների փոփոխությունից	77
«Հայաստանի կենսաբանական հանդես», 1978	637



АКАДЕМИЯ НАУК АРМЯНСКОЙ ССР БИОЛОГИЧЕСКИЙ ЖУРНАЛ АРМЕНИИ

Основан в 1946 году

Выходит 12 раз в год

Tom XXXI, № 7

EPEBAH

Нюль, 1978

СОДЕРЖАНИЕ

Экспериментальные

озвисям с. с. вножорическое деяствие гранитационного поля	0.0 1
Авикан Ц. М., Васинюк И. Е. Можаров Ю. П., Напаски А. С., Огинесян Дж. О.	
Использование ИРД в интохимических исследованиях биологических	
объектов	672
Аслонян В. М., Бабаян Ю. С., Саготелян В. В., Погосян Мик. К. Определение	
пуклеотидного состава ДНК УФ-спектрофотометрическим методом	676
Асланян В. М., Геноркян Н. М., Саркисин М. А. Об особенностих обганизации	
трополии-тропомнозинового комплекса	683
Паносян Г. А., Вирдапетян Р. Р., Вардеванян П. О. Плавление комплексов	
ДИК с гомологичными и тетерологичными гистонами	689
Лургарьян С. С., Мартиросов С. М., Петросин Л. С. Поглошение нонов калия	
клетками Streptococcus laecalis и Escherichia coli - · · · ·	697
Амбарцумян Т. Г., Адамян С. Я Оуабани-нечувствительные потоки натрия	707
Казарян Р. Р., Цемин Ю. М., Тирацуян С. Г., Манвелян А. Г. Исследование	- 0 -
хроматина лечени крыс с помощью флуоресцентного апализа	714
Асатуран Р. А. Парамагинтные центры в облучением Л-лейшине-N15	720
Шагинин А. А., Стажболцян х. В. Генерация электродинжущей силы в орнен-	120
тированной фосфолицидной пленки под воздействием гидратации	727
Абиган Г. В. О механизме образования радикалов присоединения в у-облучен-	
ных растиорах перимидиновых оснований	732
Арируни Г. Г., Тер-Миркосян А. С. Исследование зависимости окислительно-	102
восстановительных потенциалов от нараметров воздействующего электро-	
equation and the second and the seco	739
Игян Г. Г. Пространственные отношения электрической активности коры голов-	
пого мозга у детей при посприятии знакомых предметов после словесной	
инструкции	741
Мкртчин С. Л., Арцруни I . I . Влияние электростатического поля на дыхание	
мнтохондрий печени крыс	750
Мхеян Э. Е., Секоли Э. С., Баджинян С. А., Соцкий О. П., Аконов С. Э. Нау-	
чение ваняния ганганозидов на структурную лабильность компонентов	
биомембран методом флуоресцептного анализа	758
Казарян Г. Т., Паносян Г. А., Хачатрян Г. Н. К природе мембранного потен-	
инала клеток высших растения	763
Впрданян К. А., Нор-Аревян И. Г., Семерджян С. П. Изучение радночувстви-	
тельности семян ишенины в зависимости от их влажности а момент облу-	
чения, газовых условий и влажности среды и пострадиационный период	771
dentity resonant training a parameter cheffer a manifestament technote	

ACADEMY OF SCIENCES OF THE ARMENIAN SSR BIOLOGICAL JOURNAL OF ARMENIA

Founded in 1946

12 issues per year

Vol. XXXI, No 7

YEREVAN

July, 1978

CONTENTS

Experimental

Oganessian S. S. The biological effect of gravitational field	
Avaktan Ts. M., Vasstnyak I. E., Mozharov Y. B., Nanassian A. S., nessian J. O. The use of NRD in cytochemical researches of bi	
cal objects	
Aslanian W. M., Babain Y. S., Sagatellan W. W., Pogossian Mik, K.	
termination of nucleotide content in DNA by UV spectrophoton	
method	
Aslantan W. M., Geverkiun N. M., Sarkissian M. A. On the leatur	es of
troponin-tropomyosin complex organization	
Panosyon G. II., Vardapetyan H. R., Vardevanyan P. H. Investigatio	
DNA melting with homologious and heterologious histones	689
Durgarian S. S., Martirosov S. M., Petrosyan L. S. Potassium ion ac	
lation by the cells of Streptococcus Jaecalis and Escherichia coli	
Hambartsumian T. G., Adamian S. Ya Quahain - Insensitive sodium	
Kazarian R. R., Dyomin Yu. M., Tiratsuyan S. G., Manvellan A. G.	
dies of the rat liver chromatin by fluorescent analysis	
Asaturian R. A. Paramagnetic centres in irradiated L-leucin-N15	
Shahinian A. A., Stamboltsian Kh. V. The generation of electromoving	
In the oriented phospholipid films under the influence of hydratic Abaghian (1. V. The mechanism of the formation of addition radical	
-irradiated solutions of pyrimidine bases · · · · · · · · ·	
Artsruny G. G., Ter-Markossian A. S. The investigation of dependen	
oxidative-reductive potentials upon the parameters of electrostation	
treatment	
Chitan G. G. Expansible relations of children's brain electric activity	
ring the perception of familiar subjects after the word instruction	
Mkrtchian S. L., Artsruny G. G., Mkhiturian V. G. The effect of elec-	
tic field on the respiration in rat liver mitochondrions	750
Mkhelan E. E., Sekolan F., S., Badginian S. A., Sotskii O. P., Akopov	
The influence of gangitosides on the structural instability of blor	
rane components by the method of fluorescent analysis	
Kazarian G. T., Panossian G. A., Khachatrian G. N. On the nature of	
membrane potential of higher plant cells	
Vardantun K. A., Nor-Arevian N. G., Semerdjian S. P., Radiosensitivi	
wheat seeds as affected by the moisture at treadiation, gas cond	
and environment moisture during the posturadiation period	
Biological Journal of Armenia, 1978	659